

АЗЭРБАЙЧАН ССР ЕЛМЛЭР АКАДЕМИЈАСЫ
АКАДЕМИЯ НАУК АЗЕРБАЙДЖАНСКОЙ ССР

МЭРҮЗЭЛЭР ДОКЛАДЫ

ТОМ XXIII ЧИЛД

9

АЗЭРБАЙЧАН ССР ЕЛМЛЭР АКАДЕМИЈАСЫ НЭШРИЈАТЫ
ИЗДАТЕЛЬСТВО АКАДЕМИИ НАУК АЗЕРБАЙДЖАНСКОЙ ССР

Бакы—1967—Баку

АЗЭРБАЙЧАН ССР ЕЛМЛЭР АКАДЕМИЈАСЫ
АКАДЕМИЯ НАУК АЗЕРБАЙДЖАНСКОЙ ССР

МЭ'РУЗЭЛЭР ДОКЛАДЫ

ТОМ XXIII ЧИЛД

№ 9

АЗЭРБАЙЧАН ССР ЕЛМЛЭР АКАДЕМИЈАСЫ НЭШРИЈАТЫ
ИЗДАТЕЛЬСТВО АКАДЕМИИ НАУК АЗЕРБАЙДЖАНСКОЙ ССР
БАКУ—1967—БАКУ

В. А. КОЛУШЕВА

ВЕКТОРНЫЙ АНАЛИЗ В n -МЕРНОМ ПРОСТРАНСТВЕ
С ГАУССОВСКОЙ МЕРОЙ И ЕГО БЕСКОНЕЧНОМЕРНОЕ
ОБОБЩЕНИЕ

(Представлено академиком АН Азербайджанской ССР З. И. Халиловым)

1. Следуя [2], назовем r -вектором в n -мерном пространстве R_n выражение $\sum_{i=1}^p a_i (U_{i1}V \dots VU_{ir})$, где p, r —некоторые натуральные числа, a_1, \dots, a_p —константы, $U_{ij} \in \Omega$ при любых $i \leq p, j \leq r$, а операция V линейна по каждому из аргументов и антисимметрична. Любой r -вектор v можно записать в виде: $v = \sum_{(\lambda)} v^\lambda e_\lambda$, где $\lambda = \lambda_1 \dots \lambda_r$ ($\lambda_1, \dots, \lambda_r$ —некоторые натуральные числа), $e_\lambda = e_{\lambda_1} V \dots V e_{\lambda_r}$, $e_i = (0, \dots, 1, 0, \dots)$ (i стоит на i -том месте). Числа v^λ будем называть компонентами r -вектора v . Равными считаются такие r -векторы, у которых равны соответствующие компоненты. Если с каждой точкой x области $E \subset R_n$ сопоставлен некоторый r -вектор, то будем говорить, что в области E определено r -векторное поле. Непрерывным или гладким будем называть такое r -векторное поле; у которого непрерывны или гладки компоненты. Сопряженным к r -вектору v назовем $(n-r)$ -вектор $*v$ с компонентами:

$$(*v)^{\lambda_1 \dots \lambda_{n-r}} = \frac{1}{\sqrt{\pi^{n-r}}} e^{-x_{\lambda_1}^2 - \dots - x_{\lambda_{n-r}}^2} v^{k_1 \dots k_r},$$

где $k_1 \dots k_r, \lambda_1 \dots \lambda_{n-r}$ —некоторая перестановка чисел от 1 до n . Обозначим через d оператор, сопоставляющий r -векторному полю $v(x)$ $(r+1)$ -векторное поле dv , компоненты которого определяются формулой:

$$(dv)^{k_1 \dots k_{r+1}} = \sum_{l=1}^{r+1} (-1)^{l-1} \partial_{k_l} v^{k_1 \dots \hat{k}_l \dots k_{r+1}},$$

где $\partial_{k_l} = \frac{\partial}{\partial x_{k_l}}$ и $k_1 \dots \hat{k}_l \dots k_{r+1} = k_1 \dots k_{l-1} k_{l+1} \dots k_{r+1}$. Через δ обозначим

РЕДАКЦИОННАЯ КОЛЛЕГИЯ: Р. Г. Исмайлова (главный редактор), Ш. А. Азизбеков, В. Р. Волобуев, Д. М. Гусейнов, И. А. Гусейнов, М. А. Дадашзаде (зам. главного редактора), М. А. Далин, Ч. М. Джуварлы, А. И. Караваев, М. А. Кашибай (зам. главного редактора), С. М. Кулиев, М. Ф. Нагиев, М. А. Топчибашев, З. И. Халилов, Г. Г. Зейналов (ответственный секретарь).

Адрес: г. Баку, Коммунистическая, 10. Редакция «Докладов Академии наук Азербайджанской ССР».

п55444

Центральная научная
БИБЛИОТЕКА
Академии наук Киргизской ССР

оператор, сопоставляющий каждому r -вектору v ($r-1$)-вектор δv по формуле: $\delta v = (*^{-1}d^*)v$. Обозначим: $\Delta_1 = \delta d + d\delta$. Через $\tilde{\delta}$, \tilde{d} , $\tilde{\Delta}_1$ будем обозначать операторы, которые переводят r -вектор v в поливекторы, компоненты которых выражаются также, как и δv , $d v$, $\Delta_1 v$ соответственно, но обычные производные заменены обобщенными по Соболеву (см. [1]).

Обозначим через $W_2^{1,r}$ пространство r -векторов, каждая компонента которых принадлежит пространству $W_2^1(R_n)$,

$$\|v\|_{W_2^{1,r}} = \sum_{(\lambda)} \|v^\lambda\|_{W_2^1}.$$

Поставим задачу: найти векторное поле $v(x)$ внутри n -мерного эллипсоида $E_n = \left\{ x \in R_n, \sum_{i=1}^n c_i^2 x_i^2 \leq r^2 \right\}$, удовлетворяющее системе уравнений

$$\tilde{\delta} v = a(x) \quad (1)$$

$$\tilde{d} v = b(x) \quad (2)$$

$$v|_{E_n'} = 0,$$

где E_n' — граница эллипса E_n . Для достаточно гладких полей решение этой задачи имеется в книге де Рама (см. [3]).

Теорема 1. Если $b(x) \in W_2^{1,2}$, $a(x) \in W_2^1$, то для существования и единственности решения задачи (1) — (2) необходимо и достаточно выполнение условия $\tilde{d}b = 0$. Решение определяется формулой:

$$v = \tilde{\delta} \tilde{\Delta}_1^{-1} b + \tilde{d} \tilde{\Delta}_1^{-1} a.$$

2. Пусть Ω -пространство всех вещественных последовательностей $x = (x_1, \dots, x_n, \dots)$ с гауссовой мерой, определяемой для брусов $B_n = \{x \in \Omega \mid a_k < x_k \leq b_k, k=1, \dots, n\}$ по формуле:

$$\omega B_n = \prod_{k=1}^n \frac{1}{V} \int_{a_k}^{b_k} e^{-x_k^2} dx_k.$$

Векторным полем в Ω назовем векторную функцию $v(x) = (v^1(x), \dots, v^n(x), \dots)$. Бивектором в Ω назовем выражение $\sum_{i=1}^2 a_i (U_{ii}, VU_{i2})$ $a_i = \text{const}$, а операция V обладает теми же свойствами, что и в n -мерном пространстве. Бивекторным полем назовем бивекторную функцию в Ω ($U_{ik} = U_{ik}(x)$). Ротором векторного поля v назовем оператор, сопоставляющий полю v бивекторное поле $\text{rot } v$ со следующими компонентами: $(\text{rot } v)^{ij} = \partial_i v^j - \partial_j v^i$. Дивергенцией векторного поля v в Ω , как отмечалось в [4], естественно назвать скалярную функцию:

$$\text{div } v = V \pi \sum_{i=1}^{\infty} e^{x_i^2} \partial_i v^i.$$

Поставим теперь следующую задачу: по известной функции $A(x)$ и бивекторному полю $B(x)$ найти векторное поле $v(x)$, удовлетворяющее на множестве $E = \left\{ x \in \Omega \mid \sum_{i=1}^{\infty} c_i^2 x_i^2 < r^2 \sum_{i=1}^{\infty} c_i^2 < \infty \right\}$ положительной ω -меры системе уравнений:

$$\begin{aligned} \text{div } v &= A \\ \text{rot } v &= B \end{aligned} \quad (3)$$

и обращающееся в нуль на множестве $E' = \left\{ x \in \Omega \mid \sum_{i=1}^{\infty} c_i^2 x_i^2 = r^2 \sum_{i=1}^{\infty} c_i^2 < \infty \right\}$

$$v|_{E'} = 0. \quad (4)$$

Обобщенным решением этой задачи называется векторное поле, которое обращает в тождество систему (3), в которой обычные производные заменены обобщенными.

Обозначим через $\bar{L}_2^{(2)}(\Omega)$ пространство бивекторных полей v , у которых все компоненты $v_{ij}^{ij} \in L_2(\Omega)$ и $\sum_{(ij)} \int [v^{ij}(x)]^2 d\omega < \infty$. Норма в $\bar{L}_2^{(2)}(\Omega)$ определяется равенством:

$$\|v\|_{\bar{L}_2^{(2)}(\Omega)} = \sum_{(ij)} \int (v^{ij})^2 d\omega.$$

Теорема 2. Если $A(x) = \sum_{n=1}^{\infty} A_n(x)$ и $B(x) = \sum_{n=1}^{\infty} B_n(x)$, где $A_n(x) = A_n(x_1, \dots, x_n) \in L_2(\Omega)$ и $B_n(x) = B_n(x_1, \dots, x_n) \in \bar{L}_2^{(2)}(\Omega)$

$$\text{и } \|A_n(x)\|_{L_2(\Omega)} \leq \frac{\kappa_n}{M_n}, \quad \|B_n(x)\|_{\bar{L}_2^{(2)}(\Omega)} \leq \frac{\kappa_n}{M_n},$$

$$\text{где } \kappa_n > 0, \quad \sum_{n=1}^{\infty} \kappa_n < \infty, \quad c = \max \{c_1^{-1}, \dots, c_n^{-1}\},$$

$$M_n = 32 \sqrt{2 \pi n^2 \sqrt{n+1}} (rc)^2 e^{5(rc)^2 \pi n^2},$$

то для существования и единственности обобщенного решения задачи (3) — (4) необходимо и достаточно, чтобы при всех k выполнялось условие $\tilde{d}B_k = 0$.

ЛИТЕРАТУРА

- Соболев С. Л. Некоторые применения функционального анализа в математической физике. Л., изд. ЛГУ, 1960.
- Уитни Х. Геометрическая теория интегрирования. М., ИИЛ, 1960.
- Де Рам Ш. Дифференцируемые многообразия. М., ИИЛ, 1956, гл. у.
- Колушева В. А. Обобщение классических краевых и смешанных задач на бесконечно-мерное пространство с мерой ("ДАН Азерб. ССР", в печати).

Азербайджанский
политехнический институт

Поступило 1. I 1967

Гаус өлчүлүп-өлчүлү фәзада векторлар анализи
вә онун сонсузелчүлү үмумиләшмәсі

ХУЛАСЭ

Мәгаләдә Гаус өлчүсү

$$\omega\{x \in B(R_n)\} = \frac{1}{V\pi^{\frac{n}{2}}} \int_B e^{-\sum_{i=1}^n x_i^2} dx_1 \dots dx_n$$

бүтүн $x = (x_1, \dots, x_n, \dots)$ ардычыллыгларындан ибарәт Ω фәзасында ади вектор анализи илә аналоги олараг дивергенсија вә ротор операторлары нағында мә'лumat верилир.

Дивергенсија оператору үчүн ашағыдақы ифадә алыныр;

$$\operatorname{div} F = \sum_{i=1}^{\infty} e^{x_i^2} \frac{\partial F^i}{\partial x_i}$$

Мәгаләдә

$$\operatorname{div} v = A(x)$$

$$\operatorname{rot} v = B(x)$$

систем тәнликләринин сыйыр сәрхәд шәртли

$$E \left\{ x \in \Omega : \sum_{i=1}^{\infty} c_i^2 x_i^2 \leq r^2, \sum_{i=1}^{\infty} c_i^2 < \infty \right\}$$

"еллисоид" илә әһатә олунмуш областда һәлли ахтарылыр. Мүэjjән $A(x)$ вә бивектор $B(x)$ мејданы синфи үчүн үмуми һәллин варлығы вә йеканәлиji нағында теорема верилир.

Я. Н. НАСИРОВ, А. А. ЗЕЙНАЛОВ, В. А. НАГИЕВ

ИССЛЕДОВАНИЕ ТЕРМОЭЛЕКТРИЧЕСКИХ СВОЙСТВ
НЕКОТОРЫХ ТВЕРДЫХ РАСТВОРОВ

(Представлено академиком АН Азербайджанской ССР Ч. М. Джеварлы)

Настоящая работа посвящена исследованию некоторых твердых растворов в системах $[\text{GeTe}]_{1-x}-[\text{CuAsTe}_2]_x$, $[\text{GeTe}]_{1-y}-[\text{CuSbTe}_2]_y$ и $[\text{GeTe}]_{1-z}-[\text{CuBiTe}_2]_z$, которые также могут быть рассмотрены как квазитройные системы вида $\text{GeTe}-\text{Cu}_2\text{Te}-\text{Sb}_2\text{Te}_3$ и т. д. Исследования производились на растворах состава $x=y=z \leq 0,08$, где x , y , z — молярные доли $\text{A}^I \text{B}^V \text{X}_2^{VI}$ в сплаве. Все образцы были однофазными и однородными.

Зависимости термоэдс, концентрации и подвижности носителей тока и теплопроводности от состава при комнатной температуре обнаруживают некоторые "аномалии". Как показывают предыдущие измерения [1] и настоящие исследования, термоэдс обнаруживают максимум при содержании сплава $\text{CuAsTe}_2 \sim 4$ мол %, а при содержании CuSbTe_2 и $\text{CuBiTe}_2 \sim 6$ мол % (рис. 1).

Зависимость подвижности носителей тока от состава обнаруживает максимум при содержании CuAsTe_2 в сплаве ~ 1 мол %, а при содержании CuSbTe_2 и $\text{CuBiTe}_2 \sim 3$ мол %. (рис. 2).

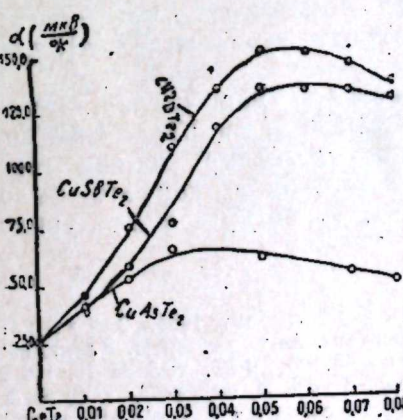


Рис. 1. Зависимость термоэдс от состава.

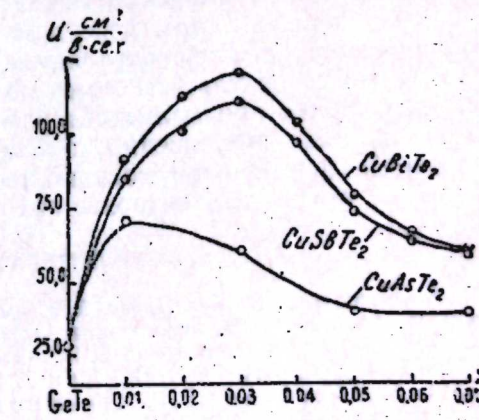


Рис. 2. Зависимость подвижности носителей тока от состава.

В зависимостях электропроводности от состава при комнатной температуре экстремумы, как в случае термоэдс и подвижности, дырки не обнаруживаются. Электропроводность уменьшается с увеличением содержания $A^1 B^V X_2^{VI}$ в сплаве.

В области $0,01 < x < 0,05$ на сплавах системы GeCe—CuAsTe₂ концентрация носителей тока имеет минимум, что в области $0,01 < x < 0,07$ для систем GeTe—CuSbTe₂ и GeTe—CuBiTe₂ не обнаруживается. С увеличением содержания CuSbTe₂ и CuBiTe₂ концентрация дырок уменьшается (рис. 3).

Зависимость общей теплопроводности (измеренной на эксперименте) от состава в области $x=0,01-0,07$ обнаруживает максимум при содержании в сплаве 1 мол% $A^1 B^V X_2^{VI}$ (рис. 4). Зависимость теплопроводности кристаллической решетки от состава не приведена, поскольку электронная доля теплопроводности, вычисленная по закону Видемана—Франца для указанных сплавов, не достоверна ввиду возможности наличия межзонного рассеяния [2], которое не учитывается законом.

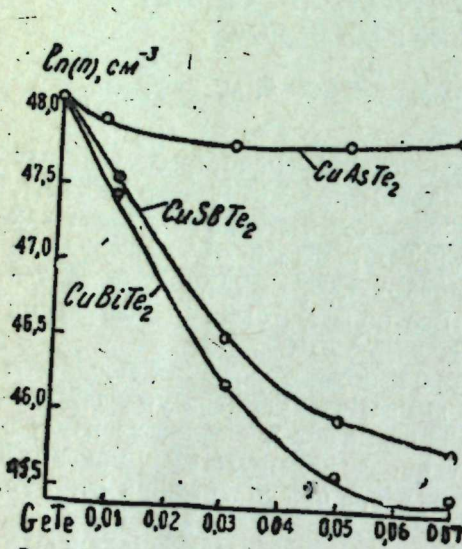


Рис. 3. Зависимость концентрации носителей от состава.

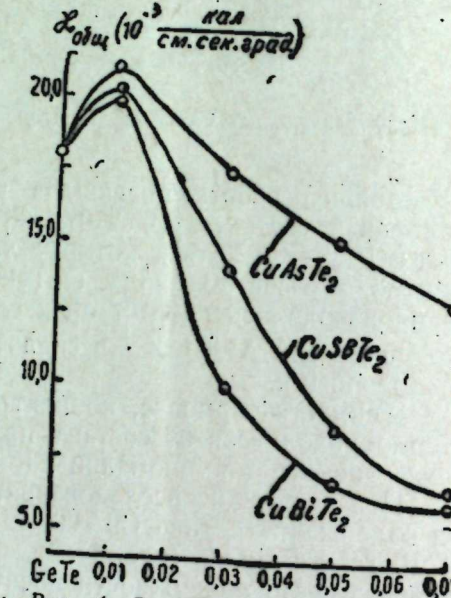


Рис. 4. Зависимость общей теплопроводности от состава.

Температурные зависимости термоэдс показывают, что модель сложной валентной зоны, присущей теллуриду германия [3, 4], для исследованных сплавов сохраняется.

Полученные результаты можно объяснить, на наш взгляд, качественно тем, что при малых содержаниях CuAsTe₂, CuSbTe₂ и CuBiTe₂ имеет место как уменьшение концентрации "дефектов" из-под германия в GeTe, так и образование твердых растворов, как это было наблюдено при малых содержаниях Cu(As, Sb, Bi)Te₂ в теллуриде олова [5].

ЛИТЕРАТУРА

- Антонов В. Б. Канд. дисс. АГУ им. С. М. Кирова, Баку, 1965.
- Кайданов В. И. Автореф. канд. дисс. Ленинградский политехн. ин-т им. М. И. Калинина, 1966.
- Коломоец Н. В., Лев Е. Я., Сысоева Л. М. ФТТ, т. 5, № 10, 1963, 872–876.
- Коломоец Н. В., Лев Е. Я., Сысоева Л. М. ФТТ, т. 6, № 3, 06–713.
- Абдуллаев Г. Б., Насиров Я. Н., Османов Т. Г. ДАН Азерб. ССР, 1966, т. XXII, № 4, 26–28.

Институт физики

Поступило 1. III 1967

Ж. Н. Насиров, А. Э. Зеиналов, В. Э. Нагиев

GeTe—Cu(As, Sb, Bi) Te₂ бәрк мәһлүлларының термоелектрик хассасынин тәддиги

ХУЛАСЭ

Бұтун нұмұнәләрдә термо-ЕhГ, електриккечірмә, hол-ЕhГ вә истиликечірмә әмсалынын тәркибдән асылылығы өзрәнилмишdir.

Өлчүләр [GeTe]_{1-x}—[Cu(As, Sb, Bi)Te₂] системләриндә тәркиби $x=0,01 \div 0,07$ олан бирфазалы вә бирчинсли нұмұнәләр үзәринде апарылмышдыр. Өлчүлмүш параметрләрин тәркибдән асылылыгларынын тәддиги көстәрир ки, һәм иштәрдең һәм көмеги менен олар "баш берилеш" түтулмасы вә һәм дә бәрк мәһлүлүн әмәлә, кәлмәсі һади сәсі баш берир.

ЕhГ-нин истиликдән асылылығының һәм иштәрдең мәһлүлларда да GeTe хас олар мүрәккәб золаг гурулушунун галдығыны көстәрир.

ФИЗИКА

Г. Б. АБДУЛЛАЕВ, К. П. МАМЕДОВ, А. И. ОДОБЕСКУ, З. Д. НУРИЕВА

О ВЛИЯНИИ ЭЛЕКТРОСТАТИЧЕСКОГО ПОЛЯ
НА КРИСТАЛЛИЗАЦИЮ АМОРФНОГО СЕЛЕНА

Широкое применение селена в различных областях современной промышленности связано с его соответствующими физическими свойствами, резко меняющимися в зависимости от реальной структуры. Если в области полупроводниковых приборов основная масса рабочего селена должна иметь структуру гексагональной модификации, то в области электрографии предпочтительно аморфное состояние селена. Такое разнообразие требований, предъявляемых к селену, увеличивает интерес к исследованию процесса кристаллизации—процесса перехода из аморфного состояния в поликристаллический гексагональный селен—при различных условиях и определению степени кристаллизации полученного образца.

Наряду с практическим интересом обстоятельное исследование кинетики кристаллизации селена может быть полезным для выяснения механизма и создания теории кристаллизации. Процесс кристаллизации подвержен влияниюм различных внешних и внутренних (структурных) факторов. Общее решение вопроса может быть на основе изучения влияния различных факторов на этот процесс.

Целью данной работы является исследование влияния электростатического поля на кинетику термической кристаллизации. Предположение такого влияния исходит из рабочей гипотезы механизма кристаллизации, частично обсуждаемой в работах [1, 2, 3]. Действительно, если получение гексагональной модификации сопровождается разрывом длинных и хаотически ориентированных цепей аморфного селена на более короткие "молекулы", подвижность которых значительно больше, то в силу электрически ненасыщенных концов не исключена возможность их активности в электростатическом поле. Если указанные цепочки обладают электрическим дипольным моментом, то электростатическое поле может увеличить их подвижность в процессе упаковки в гексагональную решетку. И, наоборот, экспериментально обнаруженное влияние статического поля на кинетику кристаллизации может служить доказательством наличия дипольного момента у структурных элементов—молекул, из которых образуется гексагональный селен.

Эксперимент. Кинетика и степень кристаллизации исследованы рентгendifрактометрическим методом, подробно приведенным в работе [4].

Исследованы образцы слоя аморфного селена, нанесенного на алюминиевую подкладку. Толщина слоя селена порядка 80—100 μ . Все исследованные образцы взяты из одной партии селена, следовательно, предварительное их состояние идентично. Кинетика процесса изучалась при одинаковых прочих условиях (длине волны и интенсивности первичного рентгеновского излучения и тепловом режиме), но с приложением электростатического поля и без него.

Для создания теплового и электростатического поля на образце-держателе гониометра рентгendifрактометра собрана специальная система. Система для создания теплового поля описана в [5]. Температурный режим образца контролируется дифференциальной термопарой с точностью $\pm 1^\circ\text{C}$.

Электростатическое поле создается в конденсаторе, одной из обкладок которого является подкладка под аморфным селеном. Вторая обкладка—металлическая фольга, имеющая соответствующий разрез для хода рентгеновских лучей; она отстоит от поверхности аморфного селена на 1—2 мм . Таким образом, с помощью сухих батарей типа БАС-Г-80-У-2,1 удается создать поле желаемой напряженности. Исследования проводились в области 100—3800 в/см .

Изотермы кристаллизации аморфного селена записывались на ЭПП-09 рентгendifрактометра в виде временного изменения интенсивности характерной рентгеновской интерференции. В данном случае записи проводились при неподвижном счетчике гониометра, установленного в угловое положение $2\theta=29^\circ 20'$, где возникает наиболее интенсивная интерференция гексагонального селена 1011.

Всего было исследовано 69 образцов. Из них 31 образец без электростатического поля и 38 образцов в электростатическом поле разной напряженности и разного направления¹.

Результаты исследования, проделанного в поле с напряженностью порядка 3800 в/см и при трех температурах (150 , 170 и 190°C), приведены в таблице. Для сопоставления показаны результаты, полученные при тех же температурных режимах, но без поля. В таблице приведены значения предельной интенсивности I (1011) (амп/сек) и время, необходимое для предельной кристаллизации при данных условиях.

Температура, ($^\circ\text{C}$)	Предельная интенсивность амп/сек	Время предельной кристаллизации, сек	
150	36	87	Без поля
	103	70	В поле
170	59	76	Без поля
	126	50	В поле
190	95	60	Без поля
	146	50	В поле

Приведенные в таблице результаты являются усредненными по трем измерениям при каждом режиме, отклонения между которыми незначительны. Как следует из таблицы электростатическое поле ускоряет процесс кристаллизации аморфного селена и увеличивает при этом степень предельной кристаллизации. Это выясняется из сопоставления изотерм кристаллизации, полученных при одной температуре в поле без него. Для сопоставления на рис. 1 (a, b) приведены две такие изотермы, полученные при 150°C (на рис. 1a изотерма, полу-

¹ Направление поля менялось переполюсовкой конденсатора.

ченная без поля, а на 1—в поле порядка 3800 в/см). По оси абсцисс обеих кривых отложено время, а по оси ординат—интенсивность (10¹¹).

Полученные экспериментальные результаты, таким образом, достаточно хорошо согласуются с обсуждающимся в литературе механизмом процесса кристаллизации и указывают на наличие дипольного момента у цепочек—молекул селена, упаковка которых образует гексагональный сelen. На основе того, что наряду с энергией теплового поля в процессе кристаллизации (упаковок цепочек) участвует также электростатическое поле, процесс кристаллизации ускоряется. Это обстоятельство может повлиять также на эффективную энергию активации кристаллизации. Как показано

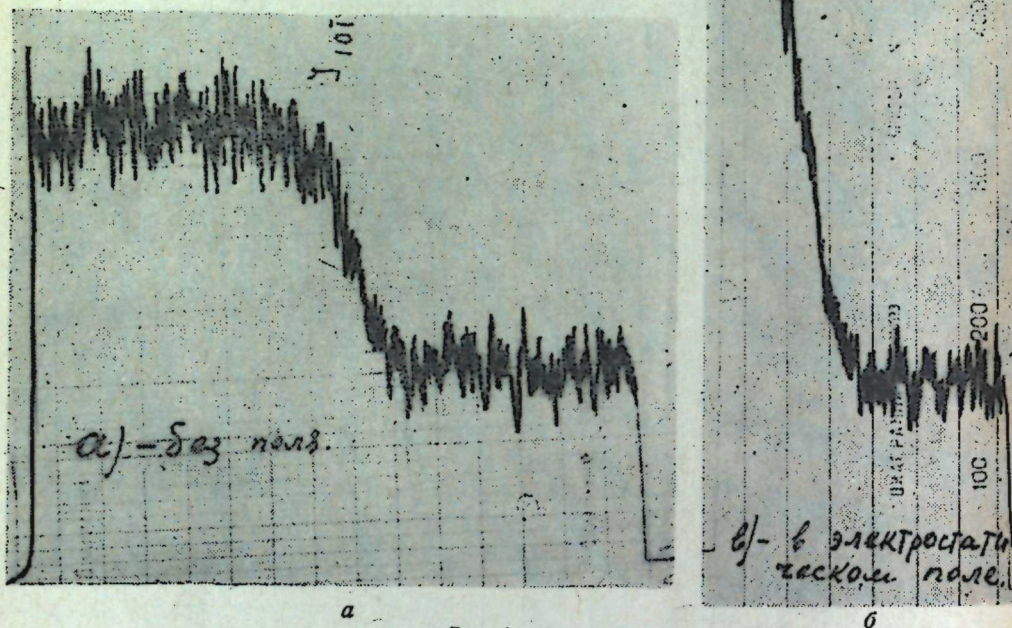


Рис. 1.

в [3], эффективную энергию активации кристаллизации можно определить из наклона прямой $\ln \frac{dI}{dt} = \ln A - \frac{E}{RT}$, построенной на основе изотерм, полученных при различных температурах.

На рис. 2 приведены две прямые, выражающие зависимость $\lg \frac{dI(10\bar{1}1)}{dt}$ от $\frac{1}{T}$. Прямая I получена на основе изотерм, полученных без электростатического поля. Прямая II построена по наклонам изотерм, полученных в электростатическом поле при тех же температурах. Из наклона соответствующих прямых можно рассчитать эффективную энергию активации при соответствующих услови-

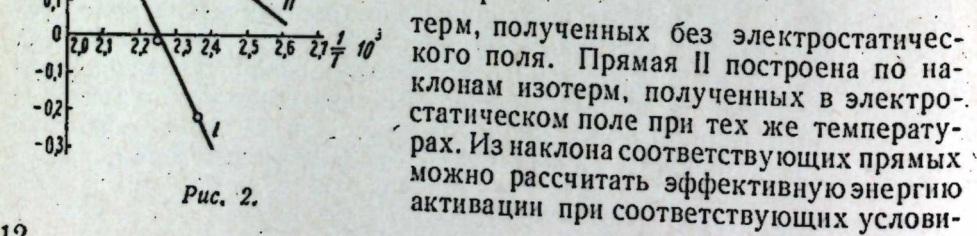


Рис. 2.

ях. Расчет показывает, что величина E для исследованных образцов селена без поля порядка 9,8 ккал/моль, в то время, как в поле энергия активации порядка 4 ккал/моль. Следовательно, электростатическое поле существенно уменьшает эффективную энергию активации.

Наряду с приведенными получены предварительные данные по кинетике кристаллизации селена из расплавленного состояния, где влияние электростатического поля оказалось более заметным. При этом следует отметить факт изменения соотношения интенсивностей интерференции 1010 и 1011. Это может быть результатом образования текстуры [5] при соответствующих условиях кристаллизации в электростатическом поле.

Выводы

1. Рентгенодифрактометрическое исследование кинетики кристаллизации аморфного селена в электростатическом поле показывает, что: а) поле, являясь ориентирующим фактором, ускоряет процесс и увеличивает степень предельной кристаллизации при данном температурном режиме; б) при кристаллизации в поле эффективная энергия активации кристаллизации существенно уменьшается.

2. Влияние поля оказывается более существенным при кристаллизации селена из расплавленного состояния, при котором возможно создание текстуры.

ЛИТЕРАТУРА

1. Абдуллаев Г. Б., Алиев М. И. ДАН СССР*, 114, 5, 1957. 2. Nijland L. Philips. Res. Rep., 9, 4, 259, 1954. 3. Мамедов К. П., Нуриева З. Д. Кристаллография*, 9, 2, 1964. 4. Мамедов К. П., Нуриева З. Д. Изв. АН Азерб. ССР*, серия физ.-мат. и техн. наук, 2, 47, 1962. 5. Жданов Г. С., Шарвин Ю. В. ЖФХ, 19, 3, 1945.

Институт физики

Поступило 29. IV 1967

б. Б. Абдуллаев, К. П. Мамедов, А. И. Одобеску, З. Д. Нуриева

Електростатик сәнәнин аморф селенин кристаллашмасына тәсирі

ХУЛАСӘ

Рентгенодифрактометрик үсулла електростатик сәнәнин ($100 \div 3800$ в/см) аморф селенин кристаллашма просесинә тәсіри 150, 170, 190°C температурларда тәдгіг едилмишdir.

Кристаллашманын активләшмә енержиси тәжін олунмуш вә көстәрмешdir, ки, сәнә олмадығы һаңда бу енержи 9,8 ккал/моль, електрик сәнәсіндә исә 4 ккал/моль тәртібдәdir.

Беләліклә, күман етмәк олар ки, електростатик сәнә истигамәтләндіричи фактор олуб, сабит температурда кристаллашма просесини сүр'этләндірир вә там кристаллашма дәрәчәсини артырыр.

ФИЗИЧЕСКАЯ ХИМИЯ

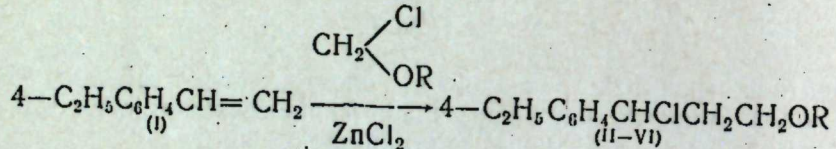
Р. Г. ИСМАЙЛОВ, ШАМХАЛ МАМЕДОВ д. н. хыдыров,
А. Н. ГЕВОРКЯН, В. М. КУТОВ

**СИНТЕЗ АЛКИЛ-, γ -ХЛОР- γ -(*n*-ЭТИЛФЕНИЛ) ПРОПИЛОВЫХ
ЭФИРОВ**

Ранее было показано, что простые γ -хлорэфиры жирного, алициклического и ароматического ряда обладают важной биологической активностью в качестве инсектицида, гербицида и акарицида [1—10]. Эти γ -галоидэфиры легко получаются алcoxсиметилгалоидированием олефиновых углеводородов α -галоидэфирами в присутствии безводного хлористого цинка в качестве катализатора [11—15].

С целью выявления влияния алкильного радикала на инсектицидную активность представляли интерес синтез и исследование биологической активности простых γ -хлорэфиров ароматического ряда путем алcoxсиметилхлорирования 4-этилстирола α -хлоралкилэфирами, которые, по литературным данным, остались неисследованными.

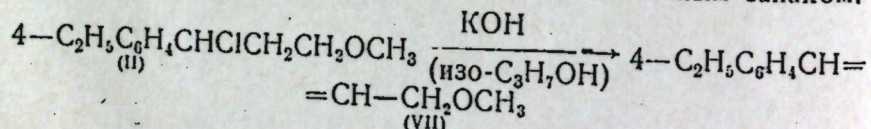
Как показали наши опыты, α -хлоралкилэфиры в условиях реакции алcoxсиметилхлорирования [11, 12] гладко вступают в реакцию с 4-этилстиролом (I) и дают γ -хлорэфиры ароматического ряда (II—VI) с хорошими выходами (60—70%) по схеме:



R=CH₃(II), C₂H₅(III), n-C₃H₇(IV), изо-C₃H₇(V), изо-C₄H₉(VI).

4-этилстирол (I), являющийся исходным сырьем для синтеза γ -хлорэфиров (II—VI), нами был синтезирован с 80%-ным выходом по методике [16], ранее описанной в литературе.

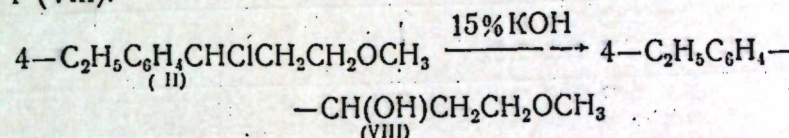
Ранее было показано, что атом галоида в ароматических γ -хлорэфирах отличается значительной активностью [12, 14]. Поэтому мы исследовали также некоторые химические превращения γ -хлорэфира (II). При действии спиртовой щелочи на γ -хлорэфир (II) происходит отщепление элементов хлористого водорода и получается метиловый эфир 4-этилкоричного спирта (VII) с нежным цветочным запахом:



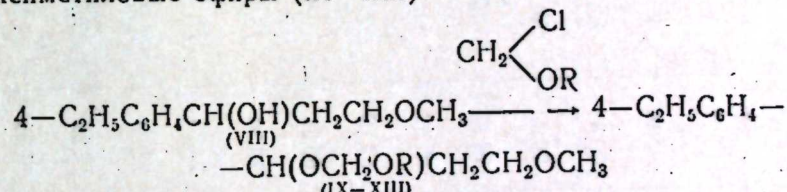
В ИК-спектре (VII) соединения интенсивная полоса с частотой 968 cm^{-1} указывает на наличие C=C трансзамещенной двойной связи.

Соответствующая полоса валентных колебаний $\text{C}=\text{C}$ равна 1675 cm^{-1} , т. е. имеет обычное значение для несопряженных трансзамещенных двойных связей. В ИК-спектре (VII) соединения, кроме наличия C=C трансзамещенной двойной связи, присутствует дополнительная полоса с частотой 810 cm^{-1} , что свидетельствует о наличии паразамещения в бензольном кольце.

Гидролизом γ -хлорэфира (II) 15%-ного водного раствора KOH с 60%-ным выходом был получен 3-метокси-1-(4-этилфенил)пропанол-1 (VIII):

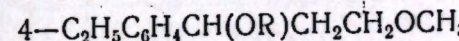


Карбинол (VIII) оказался удобным исходным сырьем для синтеза ряда его производных. Так, например, действием α -хлорметилалкиловых эфиров на карбинол (VIII) в условиях „щелочного“ метода синтеза простых эфиров [17] с хорошими выходами были синтезированы алcoxсиметиловые эфиры (IX—XIII).



R=CH₃(IX), C₂H₅(X), n-C₃H₇(XI), изо-C₃H₇(XII), изо-C₄H₉(XIII).

В условиях реакции Манниха нагреванием карбинола (VIII) с параформом и диэтиламином получается диэтиламинометиловый эфир 3-метокси-1-(4-этилфенил)пропанола-1 (XIV). Действием бромистого аллила на карбинол (VIII) в присутствии NaOH при нагревании был получен аллиловый эфир 3-метокси-1-(4-этилфенил)пропанола-1 (XV):



R=CH₂N(C₂H₅)₂(XIV), CH₂CH=CH₂(XV).

Все эфиры (II—XV) синтезированы впервые, константы их приведены в таблице.

ЭКСПЕРИМЕНТАЛЬНАЯ ЧАСТЬ

Синтез метил- γ -хлор- γ -(*n*-этилфенил)пропилового эфира (II). К смеси 80,5 г α -хлорметилового эфира, 150 мл безводного ZnCl₂ по эфира и 1,61 г (2% по весу α -хлорэфира) безводного ZnCl₂ по каплям добавляют 132 г 4-этилстирола (т. кип. 60—61° при 5 м.м., d_4^{20} 1,5375, d_4^{20} 0,8930) [18], растворенного в 100 мл эфира при 15—20°. Перемешивание продолжают 6 часов при той же температуре. Затем содержимое колбы разлагается водой. Эфирную вытяжку последовательно промывают 5%-ным водным раствором NaOH и водой (по 2 раза).

Свойства полученных соединений

№ сод.	Выход, %	Т. кип. (P в мм)	η^{20}	n_D^{20}	Найдено, %			МРД			Вычислено, %			Брутто-формула	Вычислено, %
					С	Н	Cl	С	Н	Cl	С	Н	Cl		
II	70	101—103(1)	1,0494	1,5150	61,07	60,81	—	67,98	7,89	17,00	C ₁₂ H ₁₁ OCl	67,76	8,00	16,71	
III	68	112—114(2)	1,0312	1,5095	65,64	65,45	—	67,90	8,11	16,92	C ₁₃ H ₁₀ OCl	68,86	8,38	15,66	
IV	64	123—125(1)	1,0112	1,5028	70,30	70,10	—	69,05	8,46	15,42	C ₁₄ O ₂ Cl	69,85	8,73	14,77	
V	65	117—119(1)	1,0088	1,4990	69,99	70,10	—	70,02	8,91	14,55	C ₁₄ H ₁₁ OCl	69,85	8,73	14,77	
VI	63	127—129(1)	0,9932	1,4970	74,97	74,75	—	70,14	8,89	14,46	C ₁₄ H ₁₁ OCl	69,85	8,73	14,77	
VII	65	91—92(2)	0,9565	1,5266	56,49	56,61	—	69,98	8,85	14,61	C ₁₅ H ₂₂ OCl	70,73	9,03	13,95	
VIII	60	117—119(1)	1,0120	1,5140	57,72	57,51	—	71,00	9,16	13,72	C ₁₂ H ₁₀ O	81,82	9,09	—	
IX	71	115—117(1)	0,9959	1,4910	69,21	—	69,23	70,95	8,95	13,79	—	—	—	—	
X	68	122—124(1)	0,9884	1,4868	73,30	73,28	—	74,45	9,39	—	C ₁₂ H ₁₀ O ₂	74,22	9,28	—	
XI	65	129—131(1)	0,9812	1,4850	77,75	77,94	—	74,38	9,22	—	C ₁₄ H ₂₂ O ₃	70,59	9,24	—	
XII	73	125—127(1)	0,9740	1,4825	77,90	77,94	—	70,75	9,36	—	C ₁₅ H ₂₁ O ₃	71,42	9,54	—	
XIII	66	133—135(1)	0,9677	1,4802	82,23	82,59	—	72,28	9,92	—	C ₁₆ H ₂₀ O ₃	72,18	9,77	—	
XIV	59	141—143(3)	0,9526	1,4877	84,35	84,56	—	73,00	10,11	—	C ₁₇ O ₂₅ O ₃	72,86	10,00	—	
XV	63	146—147(6)	0,9598	1,4985	71,21	71,53	—	72,92	10,07	—	N ₄ O ₂₉ NO ₂	73,12	10,39	N5,02	
										—	C ₁₅ H ₂₂ O ₂	76,92	9,40	—	

После сушки и отгонки растворителя вакуумной разгонкой (с добавкой 0,5 г гидрохинона) выделено 149 г (70%) γ -хлорэфира (II) (таблица).

В аналогичных условиях были получены еще 4 новых γ -хлорэфиров (III—VI), константы которых приведены в таблице.

Синтез метилового эфира 4-этокоричного спирта (VII). К смеси 200 мл свежеперегнанного изопропилового спирта и 28 г порошкообразного KOH прибавляется 42,5 г γ -хлорэфира (II). Смесь нагревается (80—90°) 15 часов при постоянном перемешивании. Затем спирт был отогнан и к остатку добавлено воды до полного растворения осадка. Продукты реакции извлекались эфиrom. После промывки, сушки и отгонки растворителя двухкратной разгонкой (второй раз над KOH) выделено 23 г (65%) метилового эфира 4-этокоричного спирта (VII) (таблица).

Гидролиз метил- γ -хлор- γ -(*p*-этоксифенил) пропилового эфира (II). Смесь 970 мл 15%-ного водного раствора KOH и 212,5 г γ -хлорэфира (II) нагревают (100°) 45 часов при постоянном перемешивании. Продукт реакции извлекают эфиrom. После сушки и отгонки растворителя разгонкой выделено 116,5 г (60%) 3-метокси-1-(4-этоксифенил)пропанола-1 (VIII) (таблица).

Метоксиметиловый эфир 3-метокси-1-(4-этоксифенил)пропанола-1 (IX). К смеси 24 г свежеперегнанного диметиланилина, 19,4 г карбинола (VIII) и 75 мл безводного эфира прибавляют 12 г *a*-хлордиметилового эфира, растворенного в 50 мл эфира при 20°С. Перемешивание продолжают 6 часов при нагревании (35—40°). Содержимое колбы разлагается водой, эфирный экстракт последовательно промывают 5% H₂SO₄, 5%-ным водным раствором Na₂CO₃ и водой. После сушки и отгонки растворителя разгонкой получено 17 г (71%) метоксиметилового эфира 3-метокси-1-(4-этоксифенил)пропанола-1 (IX) (таблица).

В аналогичных условиях было получено еще 4 новых алcoxиметиловых эфира (X—XIII), константы которых приведены в таблице.

Диэтиламинометиловый эфир 3-метокси-1-(4-этоксифенил)пропанола-1 (XIV). Смесь 100 мл безводного бензола, 22 г диэтиламина, 5 г параформа и 19,4 г карбинола (VIII) нагревают (80°) в течение 25 часов при постоянном перемешивании. После промывки, сушки и отгонки растворителя выделено 16 г (59%) аминоэфира (XIV) (таблица).

Алиловый эфир 3-метокси-1-(4-этоксифенил)пропанола-1 (XV). Смесь 9,7 г карбинола (VIII), 100 мл бензола, 5,6 г порошкообразного KOH и 12 г бромистого аллила нагревают (80—85°) 14 часов при постоянном перемешивании. Затем в колбу добавляют воды до полного растворения осадка и продукт реакции извлекают бензolem. После промывки, сушки и отгонки растворителя разгонкой выделено 7,5 г (63%) аллилового эфира (XV) (таблица).

Выводы

- Изучена реакция алcoxиметилхлорирования 4-этокоричного спирта *a*-хлоралкилэфирами в присутствии ZnCl₂.
- Синтезировано и исследовано 5 новых γ -хлорэфиров ароматического ряда.
- Изучены некоторые химические превращения метил- γ -хлор- γ -(*p*-этоксифенил)пропилового эфира (II) и 3-метокси-1-(4-этоксифенил)пропанола-1 (VIII), в результате чего было синтезировано 9 ранее не описанных эфиров.

п 55444

ЛИТЕРАТУРА

1. Мамедов Шамхал, Алиева Х. М., Осипов О. Б., Мамедова А. Р. Авт. свид. № 111627 от 7. IX 1957 г. 2. Мамедов Шамхал, Осипов О. Б., Гришина Е. Н. и др. Авт. свид. № 131588, 1959; „Бюлл. изобр.“, № 17, 1960. 3. Мамедов Шамхал, Хыдыров Д. Н., Агаев А. С., Осипов О. Б., Гришина Е. Н. Авт. свид. № 132911, 1959; „Бюлл. изобр.“, № 20, 1960. 4. Мамедов Шамхал, Агаев А. С., Хыдыров Д. Н., Осипов О. Б., Пишиамазов А. Г. Авт. свид. № 13.589, 1959; „Бюлл. изобр.“, № 17, 1. 60. 5. Мамедов Шамхал, Осипов О. Б., Исаилова И. Т. и др. Авт. свид. № 141865, 1. 60; „Бюлл. изобр.“, № 20, 1961. 6. Мамедов Шамхал, Низкер И. Л., Гришина Е. Н. Авт. свид. № 136602, 1960; „Бюлл. изобр.“, № 5, 1961. 7. Мамедов Шамхал, Низкер И. Л., Осипов О. Б. Авт. свид. № 121314 от 1. IX 1958. 8. Мамедов Шамхал, Мамедов А. Р., Алиева А. А., Осипов О. Б. Авт. свид. № 128117, 1959; „Бюлл. изобр.“, № 9, 1960. 9. Мамедов Шамхал, Осипов О. Б., Зейналова В. М. Авт. свид. № 128683, 1959; „Бюлл. изобр.“, № 10, 1960. 10. Мамедов Шамхал, Аванесян М. А., Ганиев М. Т. и др. Авт. свид. № 1. 6010, 1960; „Бюлл. изобр.“, № 4, 1961. 11. Мамедов Шамхал. ЖОХ, 27, 1499, 1957. 12. Мамедов Шамхал, Хыдыров Д. Н. ЖОХ, 31, 3905, 1961. 13. Мамедов Шамхал, Хыдыров Д. Н. ЖОХ, 23, 457, 1963. 14. Мамедов Шамхал, Хыдыров Д. Н., Рустамов В. Р. ЖОХ, 3, 295, 1967. 15. Мамедов Шамхал, Низкер И. Л. ЖОХ, 32, 808, 1. 62. 16. Монгу Д. Т., Реполи, М., Нивег В. Ф. J. Am. Chem. Soc., 68, 1105, 1946. 17. Мамедов Шамхал. „Изв. АзФАН“, № 4 145, 1942; № 3.20, 1943; № 8, 18, 1943; № 5, 24, 1946; см. „Простые эфиры гликолов“, Изд. АН Азерб. ССР, Баку, 1. 61; „Простые галоидэфиры и их биологическая активность“. Азернешр. Еаку, 1966. 18. Рябов В. Д., Вайсер В. Л. „ДАН СССР“, 118, 964, 1958.

Институт нефтехимических процессов

Поступило 28. VII 1967

Р. Н. Исмаилов, Шамхал Мэммэтов, Д. Н. Хыдыров, А. Н. Кеворкян,
В. М. Кутов

Алкил- γ -хлор- γ -(п-етилфенил) пропил эфирләринин синтези

ХУЛАСЭ

Әдәбијатда апарылмыш тәдгигатлар нәтижесинде [1—10] алифатик, тициклик вә ароматик сыраның бәсид γ -хлорефирләринин юксәк кефий-жәти биологи актив мәддә олмасы кәшф едилмишdir.

Мәгаләдә бензол һәлгәснинде олан алкил радикалының ароматик сыра γ -хлорефирләринин биологи активлигинә тә'сирини мүәјжән етмәк үчүн α -хлорметилалкил ефирләринин сусуз $JnCl_2$, катализаторунун иштирақы илә n -етилстирола бирләшмәси нәтижесинде ароматик сыраның бәсид алкил- γ -хлор- γ -(п-етилфенил) пропил ефирләринин 5 јени нұма-жәндесинин 60—70% чыхымла алымасының реаксија шәрәити өйткәнмишdir.

Енни заманда алымыш γ -хлорефирләрин бир сыра кимјәви чөврил-мә реаксијалары тәдгиг едилмиш, гурулушлары исә спектрал вә ким-јәви анализ յолу илә исbat олунмушdur.

АЗЭРБАЙЧАН ССР ЕЛМЛӘР АКАДЕМИЈАСЫНЫН МӘРУЗӘЛӘРИ

ДОКЛАДЫ АКАДЕМИИ НАУК АЗЕРБАЙДЖАНСКОЙ ССР

ТОМ XXIII

№ 9

1967

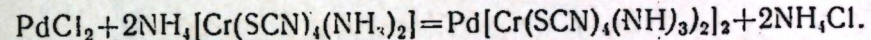
АНАЛИТИЧЕСКАЯ ХИМИЯ

И. Л. БАГБАНЛЫ, Б. З. РЗАЕВ

АМПЕРОМЕТРИЧЕСКОЕ ТИТРОВАНИЕ ПАЛЛАДИЯ СОЛЬЮ РЕЙНЕКЕ

(Представлено академиком АН Азербайджанской ССР М. Ф. Нагиевым)

Амперометрический метод определения палладия основывается на реакции осаждения его солью Рейнеке:



Опыты проводили на аппарате ПВ. Величины тока измерялись гальванометром. Индикаторным электродом служила платиновая проволочка длиной 6 мм и толщиной в 1 мм, впаянная в стеклянную трубку с внутренним диаметром 6 мм, вращающийся со скоростью 800 об. в мин. Электродом сравнения служил насыщенный каломельный электрод. Титрование проводили на фоне 0,5 М соляной кислоты при потенциале +0,90 в. Характер изменения тока соответствует титрованию по возрастающей волне (рис. 1).

Титр рабочего раствора соли Рейнеке установлен осаждением точного объема его избыточным раствором хлористого палладия и разделением найденного количества палладия на взятый объем соли Рейнеке.

Серия опытов проведена на разных фонах HCl , H_2SO_4 , HNO_3 , KCl , взятых в различных концентрациях. Кривые титрования палладия на этих фонах сходны между собой. Однако в среде соляной и серной кислот чувствительность несколько выше, чем на остальных. Кривые титрования показаны на рис. 2.

Серий опытов установлены определяемый предел концентрации палладия амперометрическим титрованием солью Рейнеке. Результаты опытов приведены в табл. 1.

Далее изучено влияние катионов, не осаждающихся солью Рейнеке, на точность определения палладия. Результаты опытов даны в табл. 2.

Амперометрическим титрованием палладия преимущественно можно пользоваться в присутствии катионов, образующих рейнекеатные осадки, произведения растворимости которых больше, чем рейнекеата палладия. Данные табл. 3 показывают возможность титрования палладия в присутствии сравнительно низкого содержания катионов, образующих осадок с солью Рейнеке.

Таблица 2

Высокое содержание мешающих элементов Au^{3+} , Sb^{3+} , Sn^{2+} , Cu^{2+} , Bi^{3+} устраняется маскированием пирофосфатом натрия, Cu^{2+} и Bi^{3+} , а также цитратом аммония, Pt^{4+} уксусной кислотой. Результаты этих серий опытов приведены в табл. 4.

Таким образом, маскируя мешающие катионы соответствующими реагентами, можно определить палладий при их совместном присутствии.

Пропись: в стакан емкостью 50 мл, содержащий 13,52—0,05 мг палладия в виде хлорида палладия, приливают 2—3 мл концентриро-

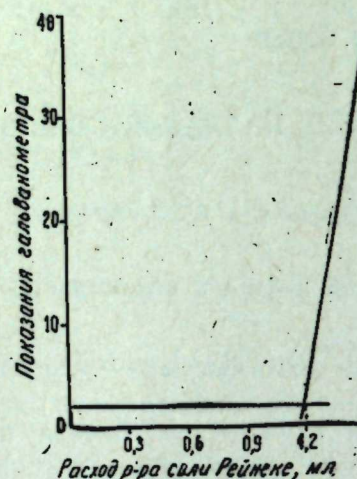
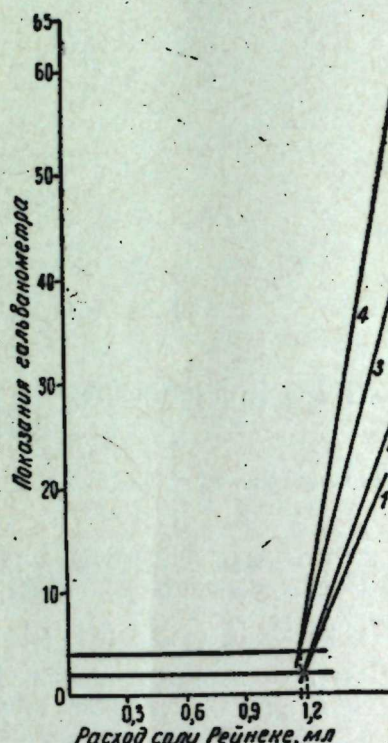


Рис. 1.

Рис. 2 1—фон 0,5 М KCl; 2—фон 0,5 М HNO_3 ; 3—фон 1,0 М H_2SO_4 ; 4—фон 1,0 М HCl

ванной HCl и доводят до объема 20 мл дистиллированной водой. Ставят стакан с раствором на столик прибора, погружают в раствор платиновый вращающийся электрод и соединяют раствор электролита

Таблица 1

Взятое кол-во палладия, мг	Расход р-ра соли Рейнеке, мл		Найденное кол-во палладия		Относительная ошибка, %
	вычислено	израсходовано	мг	%	
13,52	4,2	4,26	13,71	101,43	+1,43
13,52	4,2	4,26	13,71	101,43	-1,43
9,66	3,0	3,04	9,79	101,33	+1,33
9,66	3,0	3,04	9,79	101,33	+1,33
3,86	1,2	1,20	3,86	100,00	0,00
3,86	1,2	1,20	3,86	100,00	0,00
0,97	0,30	0,31	0,99	103,30	+3,30
0,97	0,30	0,31	0,99	103,30	+3,30
0,19	0,60	0,61	0,20	101,66	-1,66
0,19	0,60	0,61	0,20	101,66	+1,66
0,10	0,30	0,31	0,10	103,33	+3,33
0,10	0,30	0,31	0,10	103,33	+3,33
0,05	0,15	0,16	0,051	106,60	+6,60
0,05	0,15	0,16	0,051	106,60	+6,60

Взятое кол-во палладия, мг	Отношение палладия к смеси катионов	Расход раствора соли Рейнеке, мл		Найденное кол-во палладия, %	Относительная ошибка, %
		вычислено	израсходовано		
2,90	1:50	1,32	1,33	100,80	+0,80
			1,33	100,80	+0,80
			1,33	100,80	+0,80
	1:80		1,34	101,50	+1,50
			1,33	100,80	+0,80
			1,34	101,50	+1,50

Примечание: в испытуемом р-ре присутствовали катионы: Ca^{2+} , Sr^{2+} , Ba^{2+} , Mg^{2+} , Co^{2+} , Ni^{2+} , Fe^{2+} , Fe^{3+} , Cr^{3+} , Sn^{2+} , Mn^{2+} , Se^{4+} , Te^{4+} .

Таблица 3

Соотношение палладия к катионам	Взятое кол-во палладия, мг	Расход р-ра соли Рейнеке, мл		Найденное кол-во палладия, %
		вычислено	израсходовано	
1:1				100,00
1:2				101,50
1:3				103,00
1:4				100,00
1:1				100,80
1:3				101,50
1:4,5				100,00
1:1				100,80
1:3				101,50
1:4				100,00
1:1				101,50
1:2				102,30
1:3				100,00
1:1				101,50
1:2				103,00
1:3				100,00
1:1				101,50
1:2				102,30
1:3				100,00
1:1				101,50
1:2				103,00
1:3				100,00
1:1				101,50
1:2				102,30
1:3				100,00
1:1				101,50
1:3				100,80
1:5				102,30

Таблица 4

Соотношение палладия к катионам	Взятое кол-во палладия, мг	Расход р-ра соли Рейнеке, мл		Найденное кол-во палладия, %
		вычислено	израсходовано	
1:4				100,00
1:9				100,60
1:13				101,10
1:6				100,00
1:17				100,60
1:38				100,60
1:5				100,60
1:15				101,10
1:32				100,00
1:6				101,10
1:16				101,60
1:25				100,00
1:6				101,10
1:16				101,60
1:25				100,00
1:5				101,10
1:10				101,10
1:15				101,10

ным ключом с каломельным электродом. Переводят переключатель полярографа в положение „анодная“, устанавливают внешнее напряжение +0,90 в. Переключают рукоятку чувствительности гальванометра на положение 1 : 1000, устанавливают „зайчик“ гальванометра на нулевое деление шкалы. Включают мотор штатива и титруют палладий раствором соли Рейнеке, прибавляя по каплям из микробюretки. В эквивалентной точке „зайчик“ гальванометра отклоняется. После этого прибавляют 3 раза по 0,1 мл раствора и отмечают показания „зайчика“ и общий прибавленный объем раствора. Затем строят кривую титрования. Содержание палладия в растворе находят графически.

Выводы

1. Разработан амперометрический метод определения палладия титрованием солью Рейнеке при потенциале +0,90 в. на фоне HNO_3 , H_2SO_4 , KCl , HCl .
2. Маскируя катионы, осаждающиеся солью Рейнеке, можно определить палладий при совместном их присутствии.

ЛИТЕРАТУРА

1. Мацумадаг А. К., Чакрабарти М. М. *Analyt. chim. acta*, 1959, 20, № 4, 386—389. 2. Уварова К. А., Усатенко Ю. И. „Научн. тр. Днепропетровск. хим. техн.“, 1961, вып. 12, ч. 2, 177—184. 3. Усатенко И., Супрунович В. И. „Изв. АН Латв. ССР“, серия хим., 1963, № 1, 25—28. 4. Ивонина О. М. ЖАХ, 1964, т. XIX, вып. 5, стр. 644. 5. Барадин М. Б., Малекян Н. Д. Уч. зап. Кишиневского ун-та, 1957, 27, 87—91. 6. Барадин М. Б., Баландина Н. С. и Тодорова Г. И. ЖАХ, 1949, т. XIX, вып. 10. 7. Соигина О. А., Пашенко А. И., Маслова П. И. „Зав. лаб.“, 1965, № 6. 8. Багбаплы И. Л., Алексеев А. Н., Наджафова К. Н. „Азерб. хим. ж.“, 1963, № 1. 9. Соигина О. А. Амперометрическое титрование в анализе минерального сырья. Госгеолтехиздат, М., 1957.

Институт неорг. и физической химии

Поступило 4. V 1967

И. Л. Багбаплы, Б. З. Раев

Палладиумун Рейнеке дузу илә амперометрик методла тә'јини

ХУЛАСЭ

Палладиумун Рейнеке дузу илә хлорид туршусу мүһитиндә +0,90 в. потенциалда титрләнмәси шәраити өјрәнилмишdir. Рейнеке дузу мәһи-лүлүнүн палладиума көрә титри—онун мүәյҗән һәммими артыг мигдар палладиум хлоридлә чәкдирмәклә тә'јин едилмишdir. Титрләмә KCl , HCl , H_2SO_4 , HNO_3 фонундан истифадә едиләрәк апарыла биләр.

Мүәйҗән едилмишdir ки, 0,05—13,52 мг палладиум гәнаэтләндирчи иәтичәләрлә тә'јин олунур.

Реактивлә чөкмәйән катионлар палладиумун тә'јининде хүсуси чәтилик төрәтмір; палладиумун катионлара иисбәти (намысынын бирлигдә) 1 : 50 вә 1 : 80 олдугда белә палладиум гәнаэтләндирчи иәтичәләрлә тә'јин едилir.

Реактивлә чөкән катионлар арасында һәллолма һасили палладиум реинекеатдан чох олан катионларын аз мигдары палладиумун титрләнмәсүнә мәне олмур. Мәне олан катионларын концентрасијасы чох олдугда кизләтмә методундан истифадә едилмишdir. Натриум пирофосфатла Al^{3+} , Sb^{3+} , Sn^{2+} , аммониум стиратла Cu^{2+} , Bi^{3+} вә асетат туршусу илә Pt^{4+} кизләдилмишdir.

НЕОРГАНИЧЕСКАЯ ХИМИЯ

Н. А. ЭЮБОВА, Л. Г. БЕРГ, П. Ф. РЗА-ЗАДЕ

ТЕРМИЧЕСКОЕ РАЗЛОЖЕНИЕ БОРАТОВ

(Представлено академиком АН Азербайджанской ССР А. М. Кулиевым)

Кривые нагревания и дегидратация природных и синтезированных боратов изучались рядом исследователей [1—6]. Однако данные разных авторов по термическим эффектам одного и того же бората имеют значительные отличия.

Расшифровка структур боратовых минералов [7—13] показывает, что вода является важным звеном в кристаллической решетке. Она может находиться как в виде гидроксильных групп, так и в виде молекул. Связи гидроксильных групп, входящих в состав боратов анионов, прочнее, чем связи молекул воды с катионами, около которых они в основном ориентированы. Это обусловливает разницу в температурах разрушения связей при дегидратации боратов. Отсюда детальное исследование обезвоживания боратов может явиться важным фактором для установления переходов одних гидратов в другие.

Объектом наших исследований были синтезированные в лабораторных условиях бораты кальция: иньонит $\text{Ca}[\text{B}_3\text{O}_3(\text{OH})_5] \cdot 4\text{H}_2\text{O}$, девятиводный дикальций триборат $\text{Ca}[\text{B}_3\text{O}_3(\text{OH})_5] \cdot 2\text{H}_2\text{O}$, колеманит $\text{Ca}[\text{B}_3\text{O}_4(\text{OH})_5] \cdot 2\text{H}_2\text{O}$, моноборат кальция $\text{Ca}[\text{B}(\text{OH})_4]_2 \cdot 2\text{H}_2\text{O}$, тетрагидрат монобората кальция $\text{Ca}[\text{B}(\text{OH})_4]_2$ триборат кальция $\text{Ca}[\text{B}_3\text{O}_3(\text{OH})_5] \cdot 2\text{H}_2\text{O}^*$, пандермит $\text{Ca}[\text{B}_5\text{O}_8(\text{OH})_5] \cdot 2\text{H}_2\text{O}$, бораты магния: индерит $\text{Mg}[\text{B}_3\text{O}_3(\text{OH})_5] \cdot 5\text{H}_2\text{O}$, дикальций магния $\text{Mg}[\text{B}_4\text{O}_4(\text{OH})_6] \cdot 6\text{H}_2\text{O}$, триборат магния $\text{Mg}[\text{B}_3\text{O}_3(\text{OH})_5] \cdot 3,5\text{H}_2\text{O}^*$, ашарит (природный) $2\text{MgO} \cdot \text{B}_2\text{O}_3 \cdot \text{H}_2\text{O}^*$ и двойные бораты: боронатрокальцит $\text{NaCa}[\text{B}_5\text{O}_8(\text{OH})_5] \cdot 5\text{H}_2\text{O}$, гидроборат $\text{CaMg}[\text{B}_3\text{O}_4(\text{OH})_5] \cdot 2\text{H}_2\text{O}$.

В данной статье приводится характеристика процесса дегидратации для следующих боратов кальция:

- 1) иньонита [2] $2\text{CaO} \cdot 3\text{B}_2\text{O}_3 \cdot 13\text{H}_2\text{O} = \text{Ca}[\text{B}_3\text{O}_3(\text{OH})_5] \cdot 4\text{H}_2\text{O}$ [9],
- 2) девятиводного дикальция трибората [14] $2\text{CaO} \cdot 3\text{B}_2\text{O}_3 \cdot 9\text{H}_2\text{O} = \text{Ca}[\text{B}_3\text{O}_3(\text{OH})_5] \cdot 2\text{H}_2\text{O}$ [10] и
- 3) колеманита $2\text{CaO} \cdot 3\text{B}_2\text{O}_3 \cdot 5\text{H}_2\text{O} = [2] = \text{Ca}[\text{B}_3\text{O}_4(\text{OH})_5] \cdot 2\text{H}_2\text{O}$ [8].

Процесс дегидратации изучался методом дифференциально-термического анализа, в сочетании с газоволюметрией, разработанной Л. Г. Бергом [15]. Для полной расшифровки природы каждого термического эффекта нагревание бората прекращалось до и после эффекта, после чего образцы извлекались из тигля и подвергались рентгенографическому и кристаллооптическому анализу.

* Структура этого бората пока не раскрыта.

Результаты наших исследований сведены в табл. 1, а термогазо-
вolumограммы приведены на рис. 1 (А—В). Межплоскостные рассто-
яния для исходных и промежуточных гидратов сведены в табл. 2, а
оптические данные промежуточных гидратов — в табл. 3.

Таблица 1

Ступенчатая потеря воды в боратах кальция в процессе дегидратации

Наименование боратов	I потеря		II потеря		III потеря				
	Т-ра дес. гидр., °С	Молей воды	От всей воды, %	Т-ра дес. гидр., °С	Молей воды	От всей воды, %	Т-ра дес. гидр., °С	Молей воды	От всей воды, %
Иньонит	120	11	85	200	2	15	—	—	—
Девятиводный дикальций триборат	100	1	11,11	135	8	88,88	—	—	—
Колеманит	180	1	20	320	1,5	30	380	1,5	30

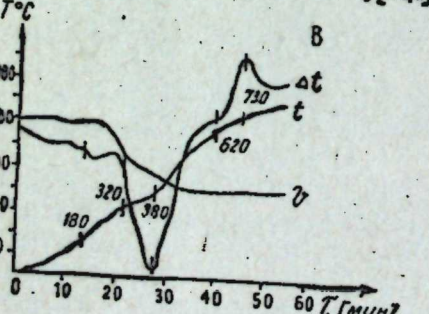
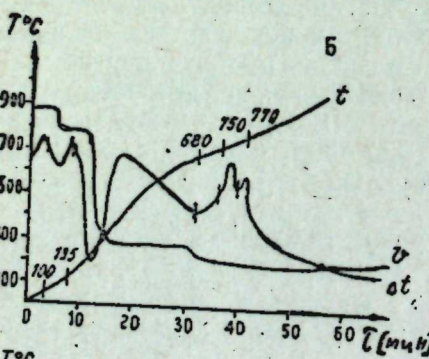
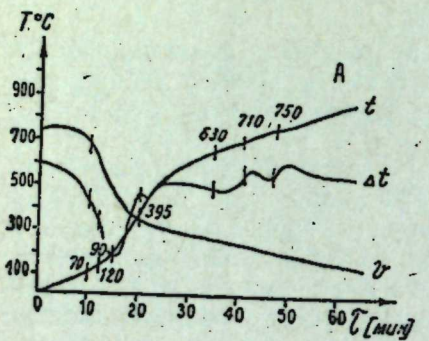


Рис. 1. А — ильоит; Б — девятиводный дикальций триборат; В — колеманит.

Таблица 2

Межплоскостные расстояния для исходных и промежуточных гидратов боратов кальция

Окончание таблицы 2

Колеманит $\text{Ca}[\text{B}_3\text{O}_4(\text{OH})_3]\text{H}_2\text{O}$				Девятиводный дикальций триборат			
исходный		$\text{Ca}[\text{B}_3\text{O}_4(\text{OH})_3]$		исходный		укрупнение кристаллов	
<i>I</i>	<i>d</i>	<i>I</i>	<i>d</i>	<i>I</i>	<i>d</i>	<i>I</i>	<i>d</i>
5	4,45	8	6,33	7	2,13		
3	3,20	6	4,92	7	2,10		
2	3,09	3	4,08	7	2,05	750—800° (после 2-го экзотерм. эффекта)	
1	2,89	4	3,68	6	1,98	10	7,21
1	2,26	4	3,51	6	1,90	8	6,01
5	2,20	4	3,28	5	1,79	6	5,08
10	2,02	8	3,15	3	1,73	4	4,71
		5	2,78			3	4,50
8	1,90	10	2,52	680—750° (после 1-го экзотерм. эффекта)	3	3,81	
7	1,83	5	2,14		8	3,35	
6	1,66	7	2,05		9	2,98	
		4	1,95	10	7,2	10	2,44
6	1,59	4	1,88	8	6,01	9	2,04
5	1,54	3	1,83	6	5,08	4	1,74
				4	4,71	4	1,66
3	1,50	620—730° (после экзотерм. эффекта)	3	4,50	2	1,54	
1	1,41		3	3,81	1	1,48	
180° $\text{Ca}[\text{B}_3\text{O}_4(\text{OH})_3]$							
	180		8	3,35			
2	3,48	10	6,64	9	2,98		
2	3,39	8	5,35	10	2,44		
		10	4,89				
1	3,04	5	5,53	9	2,04		
1	2,96	5	4,29	4	1,74		
4	2,76	5	3,84	4	1,66		
5	2,42	3	3,50	2	1,54		
8	2,33	2	3,18	1	1,48		
2	2,11	2	3,05				
1	1,98	1	2,92				
8	380°	1	2,76				
8	5,55	5	2,41				
10	3,35	5	2,37				
10	3,29	5	2,25				
10	2,84	3	2,13				
8	2,53	3	1,81				
7	2,33	3	1,70				
	2,31	3	1,54				
		3	1,38				
		3	1,24				

Таблица 3

Показатели преломления промежуточных гидратов для боратов кальция

Наименование боратов, формулы	Температура дегидратации, °C	Состав промежуточного гидрата	Показатели преломления	
			<i>N_g</i>	<i>N_p</i>
Иньонит	120	$\text{Ca}[\text{B}_3\text{O}_3(\text{OH})_5]$	1,594	1,586
$\text{Ca}[\text{B}_3\text{O}_3(\text{OH})_5] \cdot 4\text{H}_2\text{O}$				
Колеманит	180	$\text{Ca}[\text{B}_3\text{O}_4(\text{OH})_3]_2$	1,630	1,594
$\text{Ca}[\text{B}_3\text{O}_4(\text{OH})_3] \cdot \text{H}_2\text{O}$	380	$\text{Ca}[\text{B}_3\text{O}_4(\text{OH})_3]$	1,646	1,606

дотермического эффекта (395°) отличается от рентгенограммы, снятой при 120°. Кривая охлаждения показывает необратимость этого эффекта. Рентгенограмма после эффекта (630°) также отличается от рентгенограммы, снятой при 395° (табл. 2).

На основании имеющегося экспериментального материала можно считать, что эндотермические эффекты при 395 и 630° связаны с изменением кристаллической решетки бората.

Рентгенограммы после первого (750°) и второго (780°) экзотермических эффектов совпадают (табл. 2), исходя из чего можно утверждать, что первый экзотермический эффект (710°), видимо, связан с образованием нового безводного соединения или с перегруппировкой в полионе, а второй—с укрупнением кристаллов.

Девятиводный дикальций триборат. На термогазоволюмограмме полученного нами бората обнаружены два эндотермических эффекта (рис. 1,Б) при 100, 135° и два экзотермических—при 750 и 770°. Как видно из табл. 1, девятиводный дикальций триборат теряет воду в две ступени, что выражается на термограмме в виде двух глубоких эндотермических эффектов. Снятие кривых нагревания при различных заданных давлениях подтвердило, что эндотермические эффекты при 100 и 135° связаны с потерей воды. Причем после потери одной молекулы воды при первом эндотермическом эффекте (100°) в твердой фазе остается аморфный гидрат. Обезвоживание гидрата происходит при втором эндотермическом эффекте (135°). Отсюда видно, что аморфизация девятиводного дикальция трибората произошла раньше, чем удалилась вся вода. Полное обезвоживание бората в пределах 135—150° указывает на кристаллизационный характер воды. Борат находится в аморфном состоянии до 680°. Затем, в результате экзотермического эффекта при 750°, происходит переход из аморфного состояния в кристаллическое. Рентгенограммы после первого и второго экзотермических эффектов совпадают. Следовательно, второй экзотермический эффект (770—800°) связан с укрупнением кристаллов.

Колеманит. На термогазоволюмограмме колеманита (рис. 1,Б) обнаруживаются два эндотермических эффекта при 180 и 320—380° и экзотермический эффект при 620—730°. Оба эндотермических эффекта связаны с потерей воды, что подтверждено также снятием кривых нагревания при различных заданных давлениях. Причем после первого эффекта при 180° теряется одна молекула воды и кристаллическая решетка изменяется; рентгенограммы исходного гидрата и при 180° не совпадают (табл. 2).

Потеря основной массы воды в колеманите идет при 320—380°C. (3 моля); а последняя молекула воды удаляется постепенно при более высокой температуре. Обезвоживание бората при более высокой температуре указывает на конституционный характер воды. Отсюда можно полагать, что в колеманите кристаллогидратная вода сочетается с конституционной.

После эффекта 320—380° образуется гидрат состава: $\text{Ca}[\text{B}_3\text{O}_4(\text{OH})_3] \cdot \text{N}_g = 1,646$; $\text{N}_p = 1,606$. Экзотермический эффект при 620—730° связан с переходом бората из аморфного состояния в кристаллическое.

Таким образом, для изученных 3 боратов кальция, имеющих одинаковый химический состав, но отличающихся количеством молей воды, мы получили, что из высшего гидрата не получаются низшие. Причем из иньонита никак не может получиться колеманит, ибо согласно структурным данным [6,7] полион иньонита $[\text{B}_3\text{O}_3(\text{OH})_5]^{2-}$ отличается от полиона колеманита $[\text{B}_3\text{O}_4(\text{OH})_3]^{2-}$. Однако хотя иньонит, девятиводный

дикальций триборат и мейергофферит имеют одинаковые полионы $[B_3O_3(OH)_5]^{12-}$, нами эти переходы не получены.

Тот факт, что при потере первых молей воды кристаллическая решетка не нарушается и борат переходит в другую кристаллическую решетку, указывает на то, что эта вода кристаллогидратная. Затем известно, что при потере кристаллогидратной воды вещество переходит в аморфное состояние. Данное явление и наблюдается в изученных нами боратах кальция. Потеря воды при высокой температуре и тот факт, что аморфизация боратов происходит раньше, чем удаляется вся вода, указывает на конституционный характер воды.

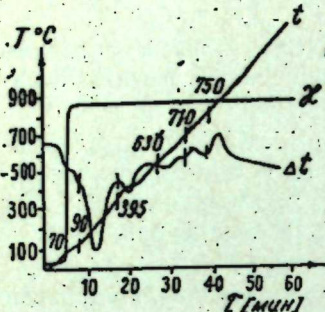


Рис. 2.

Выводы

1. Установлено, что потеря воды в изученных боратах идет в две ступени.

2. Получены промежуточные гидраты: для иньонита $Ca[B_3O_3(OH)_5] \times 4H_2O$; ($90-120^\circ$) $Ca[B_3O_3(OH)_5]$; для колеманита $Ca[B_3O_4(OH)_3]H_2O$ (180°) $\rightarrow Ca[B_3O_4(OH)_3]_2 \rightarrow Ca[B_3O_4(OH)_3]$.

3. Установлено, что в изученных боратах кристаллогидратная вода сочетается с конституционной.

4. Вторые экзотермические эффекты в иньоните и девятиводном дикальции триборате связаны с укрупнением кристаллов.

ЛИТЕРАТУРА

1. Куриakov Н. С., Николаев А. В., Челищева А. Г. „ДАН СССР“, 16, 89, 1937.
2. Николаев А. В. Физико-химическое изучение природных боратов. Изд-во АН СССР, М.—Л., 1947.
3. Федотов К. М. Водные бораты. Труды Ин-та геологических наук АН СССР, вып. 120, № 35, серия петрографич., 1949.
4. Сиргянов С. А. Soc. tosc. sci. natur. LXV 11, 284, 1950.
5. Фридман Н. Г., Круглякова П. П. Труды Казанского филиала АН СССР, серия хим. наук, 3, 1956.
6. Каражанов Н. А., Габджанов З. Г. ЖХХ, 11, 6, 1966.
7. Zschägasen W. H. Acta crystallographica 5, 60, 1952; 7, 305, 1954, 16, 395, 1953.
8. Christ C. Z. Amer. Min., 45, 334, 1930.
9. Clark J. R. Acta crystallographica, 12, 162, 1959.
10. Clark J. R. Christ C. L. Acta crystallographica, 11, 761, 1958.
11. Руманова Н. М., Аширов А. Кристаллография, 8, 4, 517, 828, 1953.
12. Кравченко В. Б. Ж. стр. химии, 6, 1, 1965.
13. Абдулаев Г., Мамедов Х. С. Азерб. хим. ж., 5, 1965.
14. Рязаде П. Ф., Гайиф К. Л. Азерб. хим. ж. № 6, 1964.
15. Clark J. R. Christ C. L. Zs. Krosbal, 112, 323, 1959.
16. Берг Л. Г. Скоростной количественный фазовый анализ. Изд-во АН СССР, М., 1952.
17. Берг Л. Г. Введение в термографию.

Институт неорг. и физической химии

Поступило 10. III 1967

Н. А. Еюбова, Л. Г. Берг, П. Ф. Рязадэ

Боратларда термик парчаланма
ХУЛАСЭ

Боратларда $Ca[B_3O_3(OH)_5] \cdot 4H_2O$; $Ca[B_3O_3(OH)_5] \cdot 2H_2O$; $Ca[B_3O_4(OH)_3] \cdot H_2O$ термография, газоволумография, рентгенография вэ кристаллооптика үсуллары илә деидратасија ёјрәнилмишdir. Деидратасија заманы $Ca[B_3O_3(OH)_5]$, $Ca[B_3O_4(OH)_3]$ јени фазалар мушанидә едилмишdir.

Биринчи дәфә оларag бә'зи термик эффектләрин хасијәтләри тә'жин олумышдур.

Г. А. БАБАЛЯН, В. П. МИТРОФАНОВ, А. А. САРКИСОВ

ОТМЫВ ПЛЕНКИ НЕФТИ С ПОВЕРХНОСТИ КАРБОНАТНЫХ ПОРОД НЕФТЯНЫХ РАЙОНОВ БАШКИРИИ

(Представлено академиком АН Азербайджанской ССР Ш. Ф. Мехтиевым)

Карбонатный комплекс пород, с которым в Башкирии связаны многочисленные месторождения нефти, широко развит в пределах платформенной части, рифогенной полосы Предуральского прогиба и передовых складок Урала [1, 2].

В настоящее время карбонатным коллекторам уделяется большое внимание, с одной стороны, детально изучаются их литолого-петрографические особенности, а с другой—вопросы, связанные с интенсификацией добычи нефти и увеличением коэффициента нефтеотдачи.

Особенно острая проблема извлечения остаточной нефти (объем ее составляет 60–70% от первоначальных запасов) стоит для рифовой полосы западного борта Предуральского прогиба. Здесь имеются и материально-техническая база и ряд отработанных нефтяных рифовых массивов, поэтому решение проблемы извлечения остаточной нефти из рифовых массивов, безусловно, послужило бы дальнейшему подъему нефтяной промышленности этого района.

В данной статье делается попытка осветить один из вопросов этой проблемы—отрыв пленки нефти с поверхности карбонатных пород, существенно сказывающейся на нефтеотдаче коллектора.

Опыты проводились по методике профессора Г. А. Бабаляна [3]. В качестве углеводородной жидкости использовалась нефть из угленосной свиты Арланского месторождения с вязкостью 26,36 сп. уд. весом 0,88 г/см³ и содержанием асфальтенов до 2,9%.

Отмыв нефти с поверхности неэстрогированных пластинок производился 0,05%-ным водным раствором ПАВ ОП-10.

Для испытания были взяты различные доломиты, известняки, отличающиеся характером органических остатков, интенсивностью проявления вторичных процессов, содержанием глинистого материала, типом коллектора и объемом парового пространства.

Всего было исследовано 22 образца, из них 8 образцов из среднекаменноугольных отложений платформенной фации (Арлан, скв. 885–5 образцов; Илишево, скв. 54–1 образец; Ново-Хазино, скв. 4708–2 образца) и 14 образцов из пермских сакмароартинских отложений рифовых фаций западного борта Предуральского прогиба (Грачи, скв. 616).

Данные исследования этих образцов приведены на рисунке, из которого видно, что количество отмытой нефти с поверхности карбонатных пород изменяется в широких пределах—от 0 до 93%.

Микроскопическое изучение исследованных образцов позволило расшифровать особенности отмыва пленки нефти с поверхности карбонатных пород и установить тесную связь с литолого-структурными особенностями пород и их коллекторскими свойствами и выделить 4 группы, характеризующиеся различными значениями отмыва пленок и определенными особенностями пород.

Группа I (образцы 1, 2, 3, 4 и 5, отмыв пленки нефти составляет более 75%). Сюда относятся только известняки, среди которых выделяются два типа—биоморфные разности рифовой фации и хемогенные микрзернистые с различным количеством глинистого материала.

Пористость в биоморфных известняках развита незначительно, объем ее превышает 1%. Размер пор в среднем—0,3 мм, поры замкнутые, форма их овальная, стеки ровные.

Группа II (образцы 6, 7, 8, 9, 10, 11, 12, отмыв пленки нефти составляет 25—75%). Генетически относится к первичным известнякам, образовавшимся в результате неполного выполнения кальцитом межограниченного пространства.

Характерной особенностью этой группы пород является довольно высокая пористость, более интенсивное развитие вторичных новообразований и разнообразный литологический состав.

Группа III (образцы 13, 14, 15 и 16, отмыв пленки нефти составляет менее 25%). Состоит из известняков и доломитов. Пористость в известняках развита сильно, объем порового пространства составляет 20—25%. Форма пор разнообразная, поры обычно открытые, размер их колеблется в пределах 0,06—3 мм.

Доломиты аналогично известнякам обладают большой пористостью. Объем пор достигает 25%. Форма пор разнообразна, в большинстве случаев открытая, размер их колеблется в пределах 0,02—2 мм.

Таким образом, характерной особенностью этой группы пород можно считать развитие разнообразных вторичных процессов (таких, как перекристаллизация, доломитизация, ангидритизация, выщелачивание и т. д.) высокую пористость и большую сообщаемость пор.

Группа IV (отмыв пленки не наблюдается). Здесь среди карбонатных пород выделяются известняки и доломиты. Пористость в известняках изменяется от 0,1 до 0,4 мм, объем порового пространства составляет 10—15%.

Доломиты в основном равномерно-тонкозернистые (размер зерен 0,08 мм). Пористость у доломитов межзерновая, открытая, размер пор в среднем—0,4 мм, объем порового пространства порядка 10%.

Среди пористых доломитов встречаются плотные разности, но в них наблюдается сильная трещиноватость и присутствует глинистый материал в количестве 2%.

Раскрытие трещин достигает 0,2 мм, вдоль них развиты многочисленные полости выщелачивания сечением до 0,2 мм.

Для пород этой группы характерно, что известняки детритовые, т. е. полифрагментарные, очень неоднородны, а доломиты иногда сильно трещиноваты. Кроме того, в обоих случаях значительно развиты вторичные новообразования и пористость.

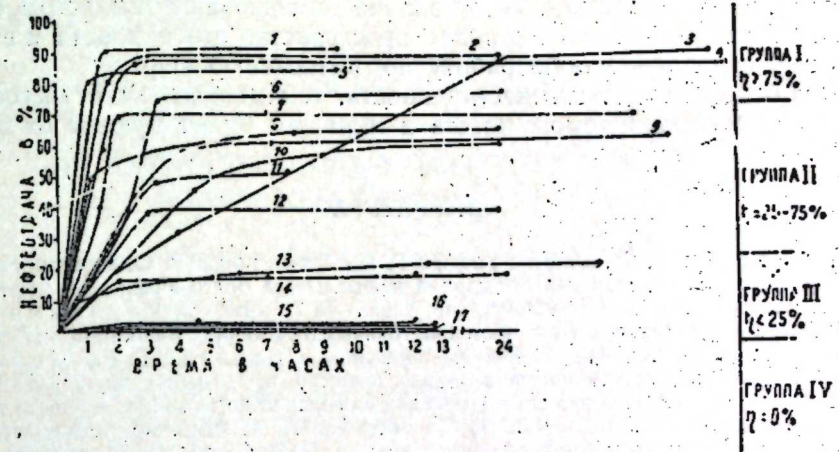
Из проведенных исследований следует, что стягивание, разрыв и отделение пленки нефти с поверхности карбонатных пород наступает через 5—10 минут, а основное количество нефти отмывается в пределах 2—3 часов.

В количественном отношении отмыв пленки нефти может изменяться в широких пределах, и у некоторых разностей карбонатных пород достигает 98%.

На отмыв нефти с поверхности карбонатных пород существенным образом влияют литолого-структурные особенности пород, что согласуется с исследованием [4].

В известняках отмыв происходит значительно сильнее, чем в доломитах и особенно в крупнофрагментарных разностях.

Уменьшение зернистости пород снижает отмыв пленки, а присутствие глинистого материала способствует усилению адсорбирующих свойств породы и снижает отмыв нефти с ее поверхности.



1—Грачи, скв. 616, обр. 9; 2—Грачи, скв. 616, обр. 431; 3—Ново-Хазино, скв. 4708, обр. 20; 4—Грачи, скв. 616, обр. 99/18; 5—Грачи, скв. 616, обр. 22; 6—Арлан, скв. 885, обр. 3; 7—Грачи, скв. 616, обр. 15; 8—Грачи, скв. 616, обр. 11; 9—Арлан, скв. 885, обр. 5; 10—Илишево, скв. 54, обр. 10; 11—Арлан, скв. 885, обр. 11; 12—Грачи, скв. 616, обр. 31; 13—Ново-Хазино, скв. 4708, обр. 3; 14—Грачи, скв. 616, обр. 5; 15—Грачи, скв. 616, обр. 9; 16—Грачи, скв. 616, обр. 1; 17—Грачи, скв. 616, обр. 46/14.

Особенно нужно отметить влияние пористости и трещиноватости на отмыв нефти с поверхности пород. Чем больше объем порового пространства, чем интенсивнее трещиноватость и чем лучше сообщаемость пор, тем хуже протекает отмыв пленки нефти. Очевидно, сущность этой зависимости заключается в том, что если поверхность, смачиваемая нефтью, пористая, то при соприкосновении с водой нефть вдавливается в поровое пространство и вытесняет газ. Отмыв нефти при этом незначителен.

Этот случай соответствует по своей характеристике условиям заводнения в трещиноватых коллекторах, работающих на режиме растворенного газа.

Возможно, при значительном истощении таких коллекторов и содержании в поровом пространстве газа при закачке воды последняя будет вдавливать нефть в поры и прорываться к эксплуатационным скважинам, не производя существенной работы по вытеснению нефти.

Этим, возможно, и объясняются имеющие место неудачи по применению заводнения в рифовых массивах. Чтобы свести этот эффект до минимума, необходимо заводнение производить в начальной стадии разработки, когда в пласте давление выше давления насыщения.

Породы I группы, очевидно, соответствуют больше залежам кинзебулатовского типа. Здесь пористость низкая и поэтому вдавливание нефти водой отсутствует, она хорошо отмывается водой.

Величина отмыва определяется в этом случае в основном характеристикой нефти и прочностью прилипания ее к поверхности породы. Она зависит главным образом от смачиваемости твердой поверхности водой и нефтью. При низкой смачиваемости водой отмыв будет незначительным и для того, чтобы получить высокую нефтеотдачу, здесь, очевидно, необходимо применять ПАВ, улучшающие нефтеотмывающие свойства воды, закачиваемой в пласт.

Аналогичные эффекты вдавливания, по-видимому, будут наблюдаться и в неоднородных пластах терригенных отложений, если заводнение осуществляется при режиме растворенного газа.

Здесь вода продвигается по более проницаемым пластам и, соприкасаясь с менее проницаемым, но сильно дегазированным пластом, будет также вдавливать нефть в поровое пространство этого пласта и вытеснять газ, совершая малую работу по вытеснению нефти.

Чем больше будет газонасыщенность, тем меньше будет вытеснено нефти из малопроницаемого пласта и меньшим будет эффект от заводнения.

ЛИТЕРАТУРА

1. Мирчук М. Ф., Теодорович Г. И., Хачатрян Р. О. К вопросу о закономерностях размещения месторождений нефти и газа Волго-Уральской нефтегазоносной области. „Изв. АН СССР”, сер. геол., № 7, 1966.
2. Надежкин А. Д. Особенности нефтегазоносности каменноугольных отложений Башкирии. „Геология нефти и газа”, № 2, 1962.
3. Хатмуллин Ф. Г., Бабалин Г. А., Кравченко И. И. О влиянии поверхностно-активных веществ на отмывку пленочной нефти. Тр. 11 Всесоюзного совещания по применению поверхностно-активных веществ в нефтяной промышленности. М., 1963.
4. Саркисов А. А. Влияние температуры на отмыв нефти с поверхности карбонатных пород. „ДАН Азерб. ССР”, т. XXII, № 6, 1966.

Институт проблем глубинных нефтегазовых месторождений

Поступило 17. II 1967

Г. А. Бабалян, В. П. Митрофанов, А. А. Саркисов

Башгырдыстан нефт раёнларынын карбонатлы сұхурларынын сәттіндән нефт тәбәгәсінин жујулмасы һағында илк мәлumatlar

Мәгаләдә Башгырдыстаның мұхтәлиф нефт раёнларынан карбонатлы сұхурларын сәттіндән көтүрүлмүш нефт тәбәгәсінин су иле жујулмасындан данышылыр.

Апарылан тәдгигат нәтижесіндә һәмин сәттіләрдән нефтиң жујулмасы механизми айданлаштырылыштыр. Мә’лүм олмушшур ки, нефтиң жујулмасы сұхурун литологи структурundan вә коллеидорлог хұсуси-жәтіндән асылыдыр. Тәдгигат көстәрир ки, карбонатлы сұхурлары 4 неве бөлмәк олар вә һәр нөвүн нефтвермә әмсалы фәргләнир.

СТРАТИГРАФИЯ

Б. Г. ВЕКИЛОВ, Р. А. ГАДЖИЕВ

ОБ АНТРОПОГЕНОВЫХ ТЕРРАСАХ ЗАПАДНОГО ПОБЕРЕЖЬЯ КАСПИЙСКОГО МОРЯ

(Представлено академиком АН Азербайджанской ССР К. А. Ализаде)

Почему в бассейнах Каспия и Черного моря морские террасы развиты на различных гипсометрических отметках, как связать их с великими оледенениями и циклами геологического развития Евразийского континента—все эти и связанные с ними другие вопросы остаются пока проблематичными.

Установлено, что на западном побережье Каспия на гипсометрических отметках 220—240 м прослеживается терраса с *Didacna rufis* Nal., а нижнебакинские образационные площадки наблюдаются значительно выше, на отметках 250—400 м.

Верхнебакинская терраса особенно хорошо выражена в рельефе южнее станции Ялама. Терраса эта слагает денудационную ступень береговых склонов и образует неширокую, уцелевшую от последующего размыва хазарским морем полосу. Терраса охарактеризована фаунистически в районе Сиазани, где в его отложениях встречены раковины *Didacna rufis* Nal.

Наиболее положение отложений нижнебакинского возраста известно в Куринской, Терско-Кумской и Туркменской депрессиях.

Здесь они, по данным бурения, известны на глубинах 100—300 м. Следовательно, амплитуда деформированности этих отложений в бассейне Каспия составляет около 600—700 м.

На террасах с отметкой 200—210 м местами встречена фауна урунджикского—мингечаурского возраста, *D. eulachia* (Boog.) Fed., переходного от верхнебакинского к нижнеказарскому.

По имеющимся данным, в нижнечетвертичное время существовала связь между Каспийским и Черноморским бассейнами, о чем явно свидетельствует состав конхилиофауны одновозрастных отложений этих областей.

Террасы, развитые в интервале гипсометрических отметок 80—190 м, согласно найденной фауне, отнесены к нижнеказарскому—гюргянскому времени. Эти террасы хорошо выражены в рельефе и в большинстве случаев определяются присутствием в их отложениях *Didacna subpyramidata* Grav., *D. nativikini* Wass., *D. paleofrigonoides* Fed., *D. vulgaris* Andrus., *D. pallasi* Grav. и др.

Нижнеказарские береговые линии, по данным Федорова (1961), а также одного из авторов этой статьи (1957), дислоцированы намного меньше. На западном побережье Каспия — в Азербайджане и соседних областях — береговые линии этих террас прослеживаются на высотах 85—125, 150—190 м и лишь в западной части Апшеронского полуострова и в районе высоких морских террас они подняты до уровня 200 м и более. Наиболее положение этих отложений в депрессиях — до минус 100—200 м.

Верхнеказарские береговые линии на Кавказском побережье Каспия достигают гипсометрических отметок плюс 45—50, а местами 60—70 м. В северном Прикаспии они встречаются на уровне минус 10—15 м. В их отложениях встречаются: *Lidacna surachanica* Andrus., *L. pativini* Wass., *D. delenda* Bog. и др.

Раннехвальинские террасы в Каспийской области отмечаются на абсолютных высотах 15—50 м, прослеживаясь повсеместно на этом гипсометрическом уровне. Для них характерны: *L. parallella* Bog., *D. praetrigonoides* Nal. et Anis., *L. praetrigonoides* var. *cristata* Bog., *L. protracta* Eichw., *Dreissena polymorpha* (Pall.) и др. формы.

Верхнеказарские террасы развиты на отметках от минус 2—3 до минус 16—17 м. В их отложениях изобилуют *L. trigonoides* (Pall.), *D. praetrigonoides* Nal. et Anis.

Береговые линии новокаспийских террас прослеживаются на отметках минус 21—22 м, минус 26 м.

Новокаспийские террасы охарактеризованы следующим комплексом фауны: *Cardium edule* Linne, *L. trigonoides* (Pall.), *L. pyramidata* (Grimm), *Mytilaster lineatus* (Gmel.) и др.

Мангышлакской регрессией, достигнувшей отметки минус 40 м, прекратилась возникшая в начале голоцене кратковременная связь Каспийского и Черноморского бассейнов.

Корреляция черноморских и каспийских террас, кроме нижнечетвертичных, оказывается весьма затрудненной. Причина этих неувязок состоит в дифференциации тектонических движений северо-восточного и юго-западного склонов Б. Кавказа, связанных с процессами формирования Каспийской впадины. Но вместе с тем терраса с *Cardium edule* L. прослеживается на тех же отметках, что на Каспии и в Черноморском бассейне.

На Русской платформе отчетливые следы, как известно, оставили 3 оледенения: окское, возраст которого около 450 000 лет, московское — 150 000—200 000 лет и, валдайское, начавшееся около 90 000 лет и закончившееся 14—15 тысяч лет тому назад.

Чередование ледниковых и межледниковых эпох, очевидно, обусловило чередование морских регрессий и трансгрессий. Ведь Каспий даже в наши дни на 70—80% питается водами р. Волги, а в межледниковые эпохи Палеоволга несла в Каспий несравненно большее количество воды, составлявшее почти всю приходную часть баланса этого моря.

Можно предположить, что бакинская трансгрессия моря соответствовала послеокской межледниковой эпохе. Следующая за ней хазарская трансгрессия соответствовала московско-валдайской межледниковой эпохе, а последняя, хвальинская, возникла вследствие таяния льдов валдайского оледенения.

Несомненно, каждая трансгрессия антропогенного Каспия, будучи связана то с частичным отступлением льдов, то с частичным их наступлением, имела несколько фаз. Разработанная нашими геологами и геоморфологами схема развития бакинских, хазарских и хвальинских

террас, возможно, позволит в дальнейшем увязать различные фазы оледенений с высотным положением антропогенных террас. Но такое сопоставление естественно придется проводить с учетом дислокированности террас и береговых линий.

Установлено, что новокаспийские морские отложения не встречены выше 9 м над современным уровнем Каспия. Согласно Л. Н. Гумилеву (1966), новокаспийская терраса, как и затопленные береговые линии (до 6-метровой глубины), являются образованиями исторического времени. Причину столь резких колебаний уровня В. Н. Абросов объясняет изменением путей циклонов, вследствие усиления (либо ослабления) затропического барометрического максимума. В результате пути циклонов, приносящих влагу, то проходили над Северным Кавказом, то смещались к берегам Скандинавии и в зависимости от пути циклонов, то поднимался уровень Каспия и усыхало Аральское море, то поднимался уровень Аралии, в то время как Каспий испытывал резкое падение уровня. Факт таких резких понижений уровня доказывают исследования затопленных стен и молов Дербентской крепости.

Однако существует и другая точка зрения, высказанная Г. Линдбергом (1965): «Некогда низменные участки побережий всех континентов надолго затапливались морем и, наоборот, морские мелководья некогда были сушей». «...Если это явление наблюдалось одновременно и на всех континентах, значит его можно назвать „всемирным потопом“. С этой точкой зрения многие геологии не согласны. Однако некоторые факты указывают, что в геологической истории Земли были не только местные потопы, но и захватывавшие одновременно все континенты. Резервом воды, необходимой для таких грандиозных потопов были огромные массы льда, сконцентрированные на полюсах земли. Таяние этих льдов могло привести к повышению уровня океана на несколько десятков метров, что и могло вызвать великий потоп. Разумеется, речь идет не о затоплении всей суши континентов, а только об одновременности этого явления на всех пониженных пространствах суши. Одним из доказательств такого взгляда служат „одинаковые по высоте и возрасту террасы, известные на побережьях всех континентов и многих островов“, — пишет Г. Линдберг. Высоты антропогенных Каспийских террас, поднятых мощными горообразовательными процессами Б. Кавказа, и высоты затопленных террас как на дне Каспия, так и на Средиземноморье связаны с тектоническими движениями и не входят в этот счет, поскольку уровень океана мог повыситься не более, чем на 70—100 м над современным. Во всяком случае равновысотность одновозрастных террас является прямым доказательством синхронных колебаний уровня мирового океана».

В этом кроется также причина изменчивого в четвертичном периоде стока рек Русской платформы, определяющего высотные положения антропогенных Каспийских террас в период их образования.

Согласно Е. В. Шаркову (1961), на территории Азербайджанского побережья выделяется 5 геоморфологических районов: Кусаро-Дивичинский, Прикаспийско-Приапшеронский, Джейран-Кечмесский, район Бакинского архипелага и Нижне-Курийский.

Кусаро-Дивичинский район выделен по тектоническим соображениям, как район, принадлежащий синклиниорию того же наименования. В. В. Шарков отмечает, что западная часть рассматриваемого района лежит в области поднятия, тогда как восточная испытывает интенсивное погружение и нарастание мощности четвертичных отложений (до 400—600 м). В устье р. Самур этот автор отмечает интенсивное погружение, некомпенсированное ссадконакоплением. Этим обуславливается быстрое нарастание глубин моря, перемещение береговой линии в

сторону суши и формирование берегового абразионного уступа. Интенсивность погружения такова, что даже при общем падении уровня Каспия за последние 30 лет на 2 м и сейчас в этом районе наблюдается размываемый уступ. О том же говорят и ограниченные размеры дельты р. Самура, несмотря на большой объем ее ежегодного твердого стока.

Прикаспийско-Приапшеронский район выделен В. В. Шарковым, как приуроченный к юго-восточному погружению сводовой части мегантиклинория Б. Кавказа. Это—область относительных тектонических поднятий и дифференцированно унаследованного роста отдельных брахиантеклинальных структур. С другой стороны, это—область и отрицательной седиментации, так как имеются (подводные) обнажения древних третичных, меловых пород. Темп тектонического роста местных складок превышает интенсивность морской абразии.

Но террасы являются результатом не только тектонических процессов, но и гидрологического режима впадающих в море рек. Речные террасы в большинстве своем аккумулятивные, а Каспийские—эрэзионно-аккумулятивные. Террасы Каспия, замкнутого водоема, питаемого реками, связаны с режимом этих водных артерий, т. е. с их палеогеографией. Несомненно, что режим Палеоволги в хвалынское, хазарское, а тем более в бакинское время резко отличался от современного.

В предлагаемой статье авторы пытались рассмотреть антропогенную историю формирования Каспийских террас в свете современных взглядов.

ЛИТЕРАТУРА

1. Векилов Б. Г. Четвертичные отложения Прикаспийской зоны Северо-Восточного Азербайджана. ДАН Азерб. ССР, № 2, т. 13, 1957.
2. Гумилев Л. Н. Открытие Хазарии. Изд-во "Наука", М., 1966.
3. Думитрашко Н. В., Антонов Б. А. Геоморфологическая карта Азербайджанской ССР, 1956.
4. Линдберг Г. Великие потопы. "Наука и жизнь", № 8, 1965.
5. Шарков В. В. Геологическое строение и история развития рельефа подводного склона западного берега Каспийского моря от г. Махачкалы до устья р. Куры. Л., 1961.
6. Федоров П. В. Четвертичные террасы Каспийского и Черного морей и их возможная корреляция с террасами Средиземного моря. Тр. Ин-та геологии АН Эстонской ССР, с. VIII (Морские берега), 1961.

Институт геологии

Поступило 24. V 1967

Б. К. Векилов, Р. А. Ыачыев

Хәзәр дәнизинин гәрб сәнилиниң антропоцен терраслары һагында

ХҮЛӘС

Мәгаләдә бә'зи җени мәсәләләр һәлл олунмушдур. Бурада террасларын әмәлә кәлмәси, онларын Гара дәнис илә Хәзәр дәнизи сәниләриндә мухтәлиф һипсометрик сәвијәдә олмасы Бөյүк бузлаг дөврү илә әлагәси, һәмчинин Іевразија континентиндә кедән қеоложи инкишафы көстәрилмишdir. Мәгаләдә Бақы, Хәзәр, Хвалын вә мұасир чөкүнгүләрни һипсометрик һүндүрлүкләри һагында җени мәлumat верилмәклә бәрабәр, онларын рус платформасында олан бузлаг дөврләри илә олан әлагәси айын шәрһ едилмишdir. Бундан башга, һәр мәртәбәје хас олан фауна көстәрилмишdir.

ГЕОЛОГИЯ НЕФТИ

Б. Г. ВЕКИЛОВ, Д. М. ДАНИЛЕВСКАЯ

К ИСТОРИИ РАЗВИТИЯ НИЖНЕКУРИНСКОЙ НЕФТЕГАЗОНОСНОЙ ОБЛАСТИ В АНТРОПОГЕНЕ

(Представлено академиком АН Азербайджанской ССР Ш. Ф. Мехтиевым)

Земля прошла в своем развитии долгий и сложный путь. Возраст ее по приблизительному подсчету составляет более 6 млрд. лет. На протяжении всего этого времени морфология земной поверхности многократно менялась—на месте огромных океанических впадин вырастали горные хребты и, наоборот, громадные горные сооружения, постепенно разрушаясь, превращались в равнины, а затем в глубокие прогибы. Эти изменения связаны в основном с движениями земной коры, которые происходят по различным причинам и называются, как известно, тектоническими. Тектонические движения имеют свою историю, начиная со времени образования планеты до сегодняшних дней.

В развитии Земли существует определенная этапность. Каждый этап соответствует во времени определенному периоду. Самый последний, молодой этап в развитии Земли, исчисляемый со времени появления человека и в течение которого поверхность ее приобрела современный вид, назван антропогенным, или четвертичным.

В настоящей статье мы рассматриваем развитие одного из наиболее перспективных районов Восточного Азербайджана—Нижнекуринской нефтегазоносной области в антропогеновый период. В последние годы здесь обнаружен ряд складчатых структур, к которым приурочены промышленного значения нефтяные и газовые месторождения. Одни из них уже находятся в разработке, в некоторых же доказано наличие промышленной нефтегазоносности и требуется уточнение контуров распространения залежей и подсчет их запасов, а другие характеризуются многочисленными признаками нефтеносности и нуждаются в подробном изучении. Выявление новых залежей нефти и газа требует решения целого ряда прикладных вопросов, в том числе восстановления истории геологического развития области.

С учетом изложенного, а также принимая во внимание, что антропогеновый комплекс плащеобразно покрывает здесь нефтегазоносные отложения плиоценового возраста, играя тем самым положительную роль в сохранении в них нефтяных и газовых залежей, рассмотрим историю развития Нижнекуринской нефтегазоносной области именно в антропогеновый период.

Нижнекуринская область представляет собой юго-восточную часть огромного Куринского прогиба, ограниченного с севера и юга горными системами Большого и Малого Кавказа. Монотонная равнина рассматриваемой области осложнена двумя цепочками складчатых возвышенностей, протягивающихся с северо-запада на юго-восток и называемых антиклинальными зонами.

В северо-восточной части района располагаются хорошо выраженные в рельефе невысокие хребты Каламадын, Малый Харами, Мишовдаг и относительно погруженные, представленные на поверхности небольшими грядками более древних пород, складки Калмас, Хыдырлы, Бяндован. В юго-западной части площади в виде невысокого горного хребта возвышается Кюровдагская складка и в виде невысокой гряды—антиклиналь Бабазанан. Карабаглинская структура является погребенной под мощную толщу четвертичных осадков. Складки Хиллы и Нефтечала, расположенные в этой же части района, выражены на поверхности лишь грязевулканическими сопками. Отделяются указанные зоны друг от друга прогибом, называемым Каргалинской синклиналью.

В начале антропогенного периода географическая и тектоническая обстановка района несколько отличалась от современной. Для восстановления истории развития исследуемой области в антропогенный период мы воспользовались результатами исследований мощности и характера пород и перерывов в накоплении осадков.

В течение антропогена Нижнекуринская область прошла четыре стадии развития. Бакинское, Хазарское, Хвалынское и Новокаспийское моря последовательно, с определенным интервалом затапливали эту область. Наступление моря создавало своеобразные условия для развития соответствующих бассейнов и накопления в них осадочных толщ.

Так, к началу антропогенного времени Нижнекуринская область была покрыта водами Бакинского моря. Северо-восточная береговая линия его прослеживалась по юго-западному погружению Алятско-Ленгебизской гряды, представлявшей уже в то время обширную сушу, и имела извилистый характер. Это объясняется наличием береговых участков, вдававшихся в морской бассейн. Один такой участок в северо-западной части исследуемой области прослеживался, начиная у горы Ахтарма через хребет Большой Харами, там он соединялся с хребтами Малый Харами, Мишовдаг, образуя узкий полуостров, выступающий из-под вод Бакинского моря. Заканчивался он в пределах нефтеносной площади Калмас. С юго-востока в районе Хыдырлы навстречу указанному полуострову выступала другая сушина, отделенная от первой узким проливом.

В юго-западной части территории над поверхностью Бакинского моря возвышались отдельные острова, расположенные почти на одной линии, центральная часть хребтов Кюровдаг, Бабазанан и ныне погруженные, не выделяющиеся в рельефе антиклинальные структуры Дуздаг и Нефтечала. О наличии указанных выше островов мы судим по отсутствию в их строении осадков Бакинского моря. О глубине морского бассейна говорят мощности осадков. Так, наиболее глубоким был бассейн на территории Каргалинской синклинали, где мощность бакинских отложений достигает 200 м и более.

В сторону указанных областей суши мощность осадков постепенно сокращается, и в центральных частях намечающихся поднятий они отсутствуют вовсе. В зависимости от глубин моря меняется и характер осадков. На относительно глубоких участках бассейна от-

лагались тонкоотмученные и наиболее легкие, в основном глинистые осадки с редкими прослойками мелкозернистого песка. На сравнительно мелких участках моря отложения заметно грубеют, что происходит за счет близости области суши—источника сноса и питания бассейна.

К концу бакинского времени Нижнекуринская область, находящаяся ниже уровня моря, испытала кратковременный подъем, в результате чего значительные площади были освобождены из-под моря и подвержены размыву. Об этом свидетельствуют грубобломочные отложения—крупнозернистый песок и мелкий галечник—на месте размыва и кроме того то, что последующий, более молодой комплекс отложений ложится на ранее образованные бакинские слои под определенным углом.

После указанного подъема—положительного тектонического движения—рассматриваемая область испытывает движение отрицательное, приведшее к новому прогибанию земной поверхности на данной площади. Это повлекло за собой новую трансгрессию моря. Наступает второй этап в развитии области—Хазарский. Хазарское море залило почти такую же огромную территорию, как и Бакинское. В это время вырисовываются в основном известные нам очертания прогибов и осущенных участков, что и в бакинский век. Однако за счет продолжающегося воздымания происходит значительное расширение ранее заложенных поднятий: Каламадын, Малый Харами, Мишовдаг, Калмас, Хыдырлы, Кюровдаг, Бабазанан и др. Темп поднятий осущенных участков, являющихся областью размыва и источником питания хазарского бассейна, по сравнению с бакинским временем значительно возрос. Это явилось одной из причин накопления в хазарском бассейне отложений значительной мощности. О больших размерах погружения дна бассейна свидетельствует 700-метровая осадочная толща Хазарского моря (центральная часть Каргалинского прогиба).

Песчано-глинистый характер этих осадков свидетельствует о мелководных условиях их накопления. Таким образом, тектоническое погружение дна Хазарского моря постоянно компенсировалось накоплением осадочного материала. По неравномерному распределению хазарских отложений следует полагать, что глубина хазарского бассейна при общем своем погружении не всюду была одинаковой. Она увеличивается с северо-запада на юго-восток и на юго-запад. Наряду с погружающимися участками в хазарском бассейне существовали смежные с ними районы, испытывавшие обратное движение. Это указанные выше острова и полуострова, выделившиеся впоследствии в самостоятельные антиклинальные зоны. Мощность осадков хазарского моря в пределах указанных зон незначительная, а в центральных частях складок Малый Харами, Мишовдаг, Кюровдаг, Бабазанан и других хазарских отложений вовсе отсутствуют.

Изменение мощностей и условий залегания хазарских отложений, связанных с условиями формирования осадков хазарского бассейна, привело к изменению характера отложений. В целом песчано-глинистые отложения Хазарского моря в сторону регионального погружения, претерпевая увеличение мощности, обогащаются глинистым материалом.

Имеются некоторые сведения и о климатических условиях этого времени. В районе сел. Сиазань в хазарских отложениях были обнаружены обильные остатки широколиственной флоры—это отпечатки листьев древесных пород, близких к современным: тополя, березы,

каштанового дуба, платана, винограда, клена, кизила и других, которые живут и развиваются во влажных теплых климатических условиях и в лесах, произрастающих на низкой и средней горной полосе.

Остатки обнаруженной в хазарских отложениях Восточного Азербайджана флоры свидетельствуют об умеренном и даже теплом климате, существовавшем в этой области в хазарское время.

Хвалынский этап развития характеризуется прежде всего резким сокращением области седиментации за счет общего подъема рассматриваемой территории в конце хазарского и начале хвалынского времени. Это привело к резкому сужению и более четкому разграничению зон аккумуляции. Максимальная глубина хвалынского бассейна достигала здесь 130 и более метров.

К концу хвалынского времени практически завершается формирование большинства складок Нижнекурийской области, и они, выделяясь в самостоятельные структурные единицы, принимают современный облик. Происходит окончательное осушение основной территории области от вод Хвалынского моря, и исследуемый район превращается в аккумулятивную равнину, над которой возвышаются небольшие горные хребты на месте антиклинальных зон Каламадын—Бяндован и Кюровдаг—Нефтечала. Эти хребты продолжают разрушаться под воздействием различных геологических процессов и пить продуктами разрушения более пониженные участки.

Современный (Новокаспийский) этап геологического развития Нижнекурийской области незначительно отличается от позднехвалынского, являясь его непосредственным продолжением. В области происходят несущественные изменения в перераспределении участков поднятий и аккумуляций.

Такова вкратце история геологического развития этой перспективной нефтегазоносной области только в антропогене.

ЛИТЕРАТУРА

1. Векилов Б. Г. О составе, общем характере и основных этапах развития четвертичной морской конхилофауны Восточного Азербайджана. 2. Пашалы Н. В. Литология и условия образования четвертичных отложений Восточного Азербайджана. Изд-в. АН Азерб ССР, 1964. 3. Хайн В. Е., Шарданов А. Н. Геологическая история и строение Курийской впадины. Изд-во АН Азерб. ССР, 1952.

Институт геологии

Поступило 12. V 1967

Б. К. Векилов, Д. М. Данилевская

Ашағы Күрјаны нефтли-газлы вилајетинин антропоцен дөврүндә қеоложи инишиф тарихинә даир

ХУЛАСЭ

Јер күрәсі өз инишиф тарихинде узун вә мүрәккәб јол кечмишdir. Онуң инишифында бир нечә мәрһәлә ажрылыр ки, булардан да ән чаваны антропокендир.

Мәгәләдә Шәрги Азәрбајчаның ән перспективли рајонунун—Ашағы Күрјаны нефтли-газлы вилајетин антропоцен дөврүндә кечирдији қеоложи инишиф тарихи гысача олараг нәзәрдән кечирилir. Бу дөврдә тәдгиг олунан вилајет дөрд инишиф мәрһәләси кечмишdir. Бакы, Хәзәр, Хвалын вә Іени Каспи дәнізләринин сују ардычыл олараг бу әразини басмышдыр. Буныла әлагәдар олараг мұвағиг һөвзәләрдә чөкүнтү сұхурларын жығымасына мүәjjән шәрант җараныш-

дыр. Эразинин чөграfiјасы вә тектоникасы дәjiшмишdir. Дөрдүнчү дөвр һөвзәсинин дәринлиji мүхтәлиf олмушdur.

Ән соh эjilmә гәdim Хәзәр дәнизи һөвзәсindәdir вә бунуна әлагәдар олараг соh галын гәdim хәзәр чөкүнтүләри әмәлә кәлмишdir.

Хвалын дөврүнүн сөнунда Ашағы Күрјаны саhесинин гырышыгларынын соhу формалашыб гуртартмыш вә мұасир симасыны алмышдыр.

Ашағы Күрјаны әразиси бу мүддәтдә тамамилә дәниздәn азад олараг гуруjур вә аккумулaтив дүзәнлиjә чеврилир вә бурада Кәламәдин—Бэндован вә Гыровдаг, Нефчала антиклиналлары зоналарынын жеринде кичик сыра дағлар учалыр.

ГЕОЛОГИЯ НЕФТИ

3. Г. ЗЕЙНАЛОВА

**О МЕХАНИЗМЕ ФОРМИРОВАНИЯ ЗАЛЕЖЕЙ НЕФТИ
В ПОДКИРМАИНСКОЙ, КИРМАИНСКОЙ И НАДКИРМАИНСКОЙ
ПЕСЧАНОЙ СВИТАХ ПРОДУКТИВНОЙ ТОЛЩИ
БИНАГАДИНСКОГО МЕСТОРОЖДЕНИЯ**

(Представлено академиком АН Азербайджанской ССР А. Д. Султановым)

Бинагадинское нефтяное месторождение расположено в северо-западной части Апшеронского полуострова, где продуктивная толща и подстилающие ее отложения обнажены на значительной площади. Это обстоятельство дает возможность установить пути и виды миграции нефти и составить представление о механизме формирования их залежей в этом районе.

Наличие грязевых вулканов позволяет судить и о глубине залегания источников нефтегазонасыщения продуктивной толщи.

По данным Ш. Ф. Мехтиева и В. А. Горина, изучение истории развития Южно-Каспийской впадины позволило установить ряд факторов, закономерное сочетание которых во времени и пространстве дает возможность выделить два основных этапа ее формирования: мезозойский и послетретичный. Каждый из этих этапов во времени (структурные этажи по разрезу отложений) четко отличается некоторым своеобразием в проявлении грязевого вулканизма, разрывной дислокации и приразломной складчатости.

Особенностью древнего этапа дислокации является юго-запад-северо-восточное направление разломов бортовой части впадины и соответственное расположение связанных с ними грязевых вулканов.

Второй этап развития Южно-Каспийской впадины приходится на период интенсивного воздымания субширотно вытянутой юго-восточной части погружения Главного Кавказского хребта. Этот период в полуострова и аналогичное направление разрывов—сдвигов третичного структурного этажа. Пересечение этих разрывов с мезозойскими определяет положение уже не корней, а самих жерлов мощных грязевых вулканов на земной поверхности.

Направление разломов этих этапов разрывной дислокации отчетливо фиксируется на земной поверхности по современным или ископаемым выходам нефти или кировым натекам, образующим полосы

двух направлений: Хурдалан-Бинагадинского (юго-запад-северо-восточного) и широтного (существенно Бинагадинского).

На первом участке выходы нефти на поверхность связаны: 1) с ныне действующим грязевым вулканом Боздаг; 2) с ископаемым вулканом у г. Сулутепе и 3) с грязевым вулканом Зигильпир. Особен-но отчетливо выступает эта связь с грязевым вулканом на участке, расположенному вблизи северо-восточного склона грязевого вулкана Зигильпир в виде естественно отпрепарированных нефтеулка-нических некков.

В бинагадинской полосе нефтегазопроявлений выходы нефти в виде кирового покрова отмечаются к югу от грязевого вулкана Кейре-ки и к востоку от Кичикдага. Здесь, как и вблизи грязевого вулкана Зигильпир, имеются многочисленные следы вертикальной миграции нефти в виде ископаемых нефтяных даек.

Некки вблизи грязевого вулкана Зигильпир пропитаны окислен-ной нефтью и только из некоторых грифонов слабо сочится сравни-тельно легкая нефть с пузырьками газа. Из отобранных образцов песка и брекчий некков были выделены нефть и битумы и определен компонентный состав битума (асфальтены, смолы бензольные, смолы спирто-бензольные масла).

Результаты анализа позволяют судить об изменении компонентно-го состава битума в зависимости от стратиграфического положения пластов и устьев некков вблизи грязевого вулкана Зигильпир.

Нефть породы эоценена была выделена из образца, выброшенного при недавнем извержении грязевым вулканом Боздаг Гекмалинский.

Основная закономерность проявляется в определенной направлен-ности изменения в битумах содержания спирто-бензольных смол в зависимости от условий их залегания в пластах, кировых покровах, некках или дайках.

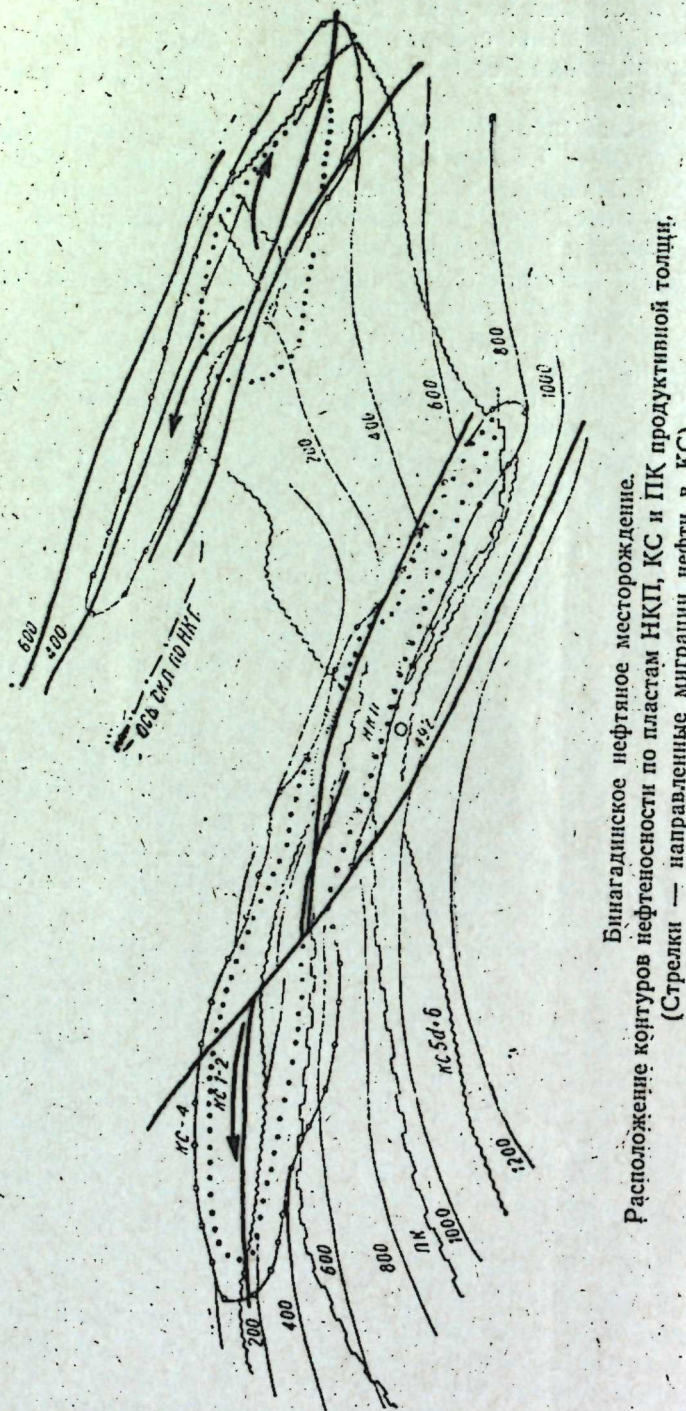
Показателем этой закономерности в упомянутых трех видах ус-ловий залегания битума может служить отношение (в компонентном составе) бензольных смол к спирто-бензольным. Это отношение в исследуемом районе составляет 0,2–0,7 в пластах-коллекторах (древ-некаспийские террасы, кирмакинская свита плиоценена, миоцен); 0,9–1,1 для современных кировых покровов вблизи некков (или грифо-нов) и 1,3–1,9 для некков ископаемых.

Для нефти из выброса грязевого вулкана Боздаг это отношение составляет 1,3.

Близость соотношения отмеченных параметров компонентного сос-тава битумов выбросов грязевого вулкана Боздаг (эоцен) и некков говорит о прямой генетической связи последних с грязевым (газо-нефтяным) вулканом. Компонентный состав битума из породы грязевого вулкана Боздаг близок к компонентному составу некков кирмакинской свиты (Зигильпир).

Увеличение содержания спирто-бензольных смол находится в пря-мой зависимости от окислительного процесса в нефти. Чем ранее попадает нефть в коллектор, тем в ней впоследствии при прочих равных условиях будет больше спирто-бензольных смол.

Это положение находится в полном соответствии с различием в условиях залегания нефти в некках и в насыщенных нефтью через дежерла этих же некков, но в более раннюю активную стадию их дея-тельности пластах-коллекторах. Нефть пластов подвергалась большей степени метаморфизации (окислению), чем более молодая нефть нек-ков, поскольку некки только в настоящий геологический период вошли в категорию ископаемых, а окислительный процесс нефти в



пластах начался с первого же момента после ее миграции в них из некков.

С направлением разрывов сплошности пластов на северном и южном крыльях бинагадинской складки и линиями выклинивания под-кирмакинской свиты (ПК) и низов кирмакинской (КС) тесно связано и залегание нефти в недрах этого месторождения.

Залежь в ПК и отчасти в КС 5+6 вытянута в виде полосы, пересекающей складку с юго-запада на северо-восток в соответствии с линиями выклинивания этих пластов. В пластах КС-4, КС-2 и в НКП (на южном крыле месторождения) нефтяные залежи расположены в приразрывных зонах, образуя полосы, параллельные разрывам (рисунок).

Если учесть данные по распределению нефти по удельным весам в каждом из упомянутых выше пластов, то можно сделать вывод о путях, видах и фазах миграции нефти в рассматриваемом нами месторождении.

В подкирмакинской свите (ПК) нефтяная залежь Бинагадинского месторождения занимает большую площадь южного крыла складки и сравнительно небольшую на северном крыле. Удельный вес нефти 0,900—0,940 (северное крыло).

В свите КС (верхи) нефтяные залежи тянутся вдоль разрывов пластов на северном и южном крыльях складки. Удельный вес нефти на южном крыле меняется в пределах 0,901—0,930, на северном — в пределах 0,917—1,930. В целом удельный вес нефти здесь меньше, чем в ПК.

В НКП небольшая залежь расположена вдоль разрыва южного крыла с удельным весом нефти 0,907—0,927. Таким образом, в разрезе отложений Бинагадинской складки удельный вес нефти уменьшается снизу вверх от 0,940 (в ПК) до 0,907 (в НКП).

Как было отмечено выше, данные по анализам битумов и нефти в пластах и некках дали основание считать, что некки вдоль разрывов являются путями миграции нефти снизу вверх и насыщения пластов, через которые они проходят. Те пласты, в которые при вертикальной миграции нефть мигрировала ранее, всегда будут впоследствии иметь нефть большего удельного веса из-за последующего окисления.

Так как при вертикальной миграции снизу вверх по разрывам (нарушениям) стратиграфически нижние пласти в Бинагадах (например, ПК) были насыщены раньше, чем верхние (КС или НКП), то, следовательно, и нефть в них в настоящее время должна отличаться большим удельным весом. Данные по изменению удельного веса нефти в разрезе Бинагадинской складки как раз и свидетельствуют о ее насыщении путем миграции по разрывам снизу вверх.

Таким образом, на примере изучения условий проявления нефти на земной поверхности и ее залегания в недрах нам удалось установить механизм формирования ее залежей в нижнем отделе продуктивной толщи Бинагадинской складки.

ЛИТЕРАТУРА

- Мехтиев Ш. Ф., Горин В. А. Грязевой вулкан Кирмаку и миграция нефти. Ученые записки АГУ, № 4, 1962.
- Зейналова З. Г., Горин В. А. О некоторых особенностях отложения грубообломочного материала в низах балаханской свиты. Изв. АН Азерб. ССР, № 5, 1962.
- Горин В. А., Джабарлы Ф. Г. Этапы развития разрывных нарушений и фазы формирования залежей нефти и газа Ашеронского полуострова. Ученые записки АГУ, № 5, 1963.

Поступило 4. VI 1966

Институт геологии

ХҮЛАСЭ

Бинәгәди нефт ятагының айры-айры лајларында нефтиң хұсуси чәкисинин дәжишмәсінің көстәрән мәлumatларға әсасен кәсилиш үзәм миграцияның чыхышы, нөвү вә фазалары нағында ашағыдақы итеп-чәләри чыхармаг олар:

Бинэгэди нефт јатағынын КА лај дәстәсіндә нефт јатағы бир гәдәр кичик олуб шимал ғанада нисбәтән чәнуб ғанадда бөյүк саһениң әнатә едир. Нефтиң хұсуси қәқиси исә 0,900—0,940 арасында дәжишир (шимал ғанад).

Кирмеки лај дәстәсінин Жұхары һиссесіндә нефті жатағы шимал вә өткөн ганадарда лајларын тектоник сымса истиғаметіндә узаныр. Қәнүб ганадда нефтиң хұсуси чәкесі 0,901—0,930, шимал ганадда исә 0,917—0,930 һәддиндә дәйшиш.

Кирмәки лај дәстәсіндә нефтин хұсуси чәкиси КА лај дәстәсінә нисбәтән аздыр. Кирмәкиңстү гумлу (КҮГ) лај дәстәсіндә бөյүк ол-маан нефт жатағы чәнуб ганадын позғунлуг истигамәтіндә јерләшир вә нефтин хұсуси чәкиси 0,907—0,927 һәддиндә дәжишир. Беләликлә төјд етмәк лазымдыр ки, Бинәгәди гырышығының сұхурларында кә-силиш бојунча нефтин хұсуси чәкиси ашағыдан јухарыла доғру аза-лыр (0,940-дан 0,907-јә ғәдәр КҮГ).

Жұхарыда геид етдијимиз кими, лај вә пекләрдә нефт вә битумларының анализ мә'лumatлары вә пекләрин позгунлуг бојуңча жајылмасы нефтиң ашағыдан жұхарыла жүргесінде отырып, жаңа

Шагули миграция заманы әввәл нефт миграция едән лајларда нефт оксидләшмә просесинә мә'рүз галыр вә хүсуси чәкисинин јүк-сәлмәсинә (ағыр) сәбәб одур.

Белә ки, позиуилуг бојунча ашағыдаң јухарыја шагули миграсија заманы Бинәгәди Јатағында (КА) стратиграфик ашағыда Јатым саланлаjlар јухарыја (К вә КҮГ) нисбәтән нефтлә әvvәл дөјүлүр вә билаваситә ўксәк хүсуси чәкили нефтә малик олмасы илә о бириләриндән сечилир.

Бинәгеди гырышының кәсилишиндә нефтин ҳұсуси чәкисинин дәжишилмәсінің көстәрән мә’лumatлар онун шағулы миграция жолу илә ашағыдан йүхарыға позғуидеги истиғамәтиндә індерекет етмәсінің айдын көстәрир.

ГЕОХИМИЯ

Ф. Г. ДАДАШЕВ, М. А. МАМЕДОВ

ГЕОХИМИЧЕСКАЯ ХАРАКТЕРИСТИКА УГЛЕВОДОРОДНЫХ ГАЗОВ МЕСТОРОЖДЕНИЙ КАРАДАГ

(Представлено академиком АН Азербайджанской ССР А. А. Якубовым)

В разрезе продуктивной толщи месторождения Карадаг известны небольшие газовые залежи (I, II, III горизонты), малодебитные скопления нефти с газовыми шапками (IV, V, VI горизонты) и газоконденсатные залежи (VII, VIII горизонты, ПК-свита) со значительными запасами газа. Притоки нефти и газоконденсата были получены из подстилающих продуктивную толщу пород диатомовой свиты.

Для характеристики углеводородных газов основных залежей Карадага в нашем распоряжении имелось 49 проб газа, отобранных из фонтанических скважин. Анализы этих проб произведены в газовых лабораториях АзНИИНП, Института геологии АН Азербайджанской ССР, ВНИИЯГГа и ВНИИ газа. Из перечисленных проб 15 заимствованы из отчетов АзНИИНП, а остальные отобраны авторами.

Таблица 1

Годы отбора и анализа проб	Горизонты и свиты	Число анализов	CH_4	$\Sigma\text{ТУ}$	CO_2	N_2
1957—1958	V	2	95,11	1,10	1,40	Не определен
1957—1966	VII	34	93,20	5,62	0,63	0,52
1965—1966	VIII	8	92,04	6,56	1,01	0,52
1965—1966	ПК	4	94,32	4,26	0,88	0,40
1965—1966	Диатом (микроцен)	1	94,30	4,44	0,80	0,40

Как следует из табл. 1, среднее процентное содержание компонентов газа различных горизонтов примерно одинаково. Несколько заметно отличаются газы V горизонта, в составе которых наблюдается некоторое увеличение содержания метана и значительное уменьшение процента суммы тяжелых углеводородов. Увеличение содержания тяжелых углеводородов в газах залежей VII, VIII горизонтов, ПК-свиты и диатомовых слоев, по-видимому, объясняется наличием большого количества конденсата, наиболее легкие части которого при соответствующем давлении переходят в газ.

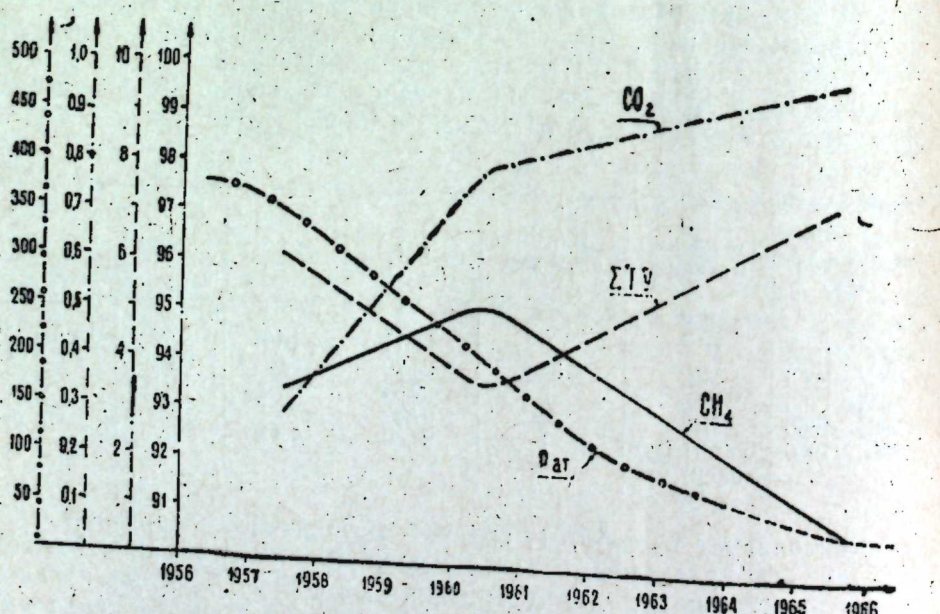
Наличие большого количества анализов газа по скважинам, эксплуатирующим VII горизонт в течение 1957—1966 гг., позволило проследить изменение состава газа по мере эксплуатации залежи (табл. 2).

Таблица 2

Годы отбора и анализа пробы	Горизонты и свиты	Число анализов	CH ₄	ΣТУ	CO ₂	N ₂
1957—1958	VII	13	93,44	6,21	0,28	Не опред.
1960—1961	VII	12	95,12	3,79	0,78	.
1965—1966	VII	9	91,28	7,22	0,97	0,52

Обычно в нефтяной залежи по мере постепенного уменьшения давления, происходит выделение из газированной нефти тяжелых углеводородов. Благодаря этому явлению, по мере эксплуатации в составе попутного газа происходит увеличение содержания гомологов метана. Иная картина наблюдается в залежи VII горизонта Карадагского месторождения, что, по-видимому, связано с ретроградными явлениями и характерно для газоконденсатных залежей.

В целом по залежи VII горизонта, как следует из приведенных графиков (рисунок) и табл. 2, в процессе разработки с 1957 до 1960—1961 гг. в составе газа наблюдается увеличение содержания метана и уменьшение процента суммы тяжелых углеводородов. По мере дальнейшей эксплуатации содержание метана падает и растет количество его гомологов. Содержание углекислого газа во времени непрерывно растет, причем в начальный период эксплуатации более интенсивно, чем в последующий.



Отмеченные выше изменения состава газа в различных частях залежи происходят неодинаково. Это следует из построенных для различных интервалов времени карт изменения содержания метана, суммы тяжелых углеводородов и углекислого газа.

На картах, построенных по пробам газов, отобранным в 1957—1958 гг., выделяются две продольные по отношению к залежи зоны различного содержания метана и суммы тяжелых углеводородов, так, газ из повышенной части залежи по содержанию метана характеризуется повышенным его количеством (93,46—94,38%), а процент метана в газе из скважин, расположенных южнее, уменьшается до 92,75—93,43%.

На карте, построенной для суммы тяжелых углеводородов, отмечается иная картина: меньшее процентное содержание суммы тяжелых углеводородов (5,23—5,44%) наблюдается в присводовой части залежи; в погруженных же частях происходит увеличение процентного содержания суммы тяжелых углеводородов (6,08—6,83%).

По данным 1960—1961 гг. наблюдается следующее: повышенное содержание метана (95,15—96,92%) отмечается в погруженной части залежи, а меньшее процентное содержание метана (93,90—94,93%) приурочивается к газам повышенной части залежи.

В распределении процента суммы тяжелых углеводородов наблюдается обратное: максимальное содержание суммы тяжелых углеводородов—4,04—4,60%—отмечается в повышенной части залежи, а пониженное—2,28—3,55%—в погруженной.

Распределение содержания компонентов газа на картах, построенных по пробам, отобранным в 1965—1966 гг., сходно с таковым, отмеченным в начальном этапе разработки залежи. Вместе с тем цифровые значения содержания компонентов характеризуются иными величинами. Здесь повышенное содержание метана—93,40—94,60%—приурочиваются к газам из присводовой части залежей, а пониженное—89,40—91,00%—из погруженных. Содержание суммы тяжелых углеводородов в газах из присводовой части залежи характеризуется пониженным количеством, изменяющимся в пределах 3,92—5,86%, а из погруженной части—повышенным—7,26—9,58%.

Сопоставляя изменение состава природных газов, отмечаем неодинаковый его характер в северной, присводовой части залежи и южной, находящейся в контакте с нефтяной оторочкой (табл. 3).

Таблица 3

Период разработки	Среднее содержание, %					
	Северная зона			Южная зона		
	CH ₄	ΣТУ	CO ₂	CH ₄	ΣТУ	CO ₂
1957—1958	93,76	5,33	0,32	93,19	6,38	0,15
1960—1961	94,51	4,24	0,33	95,85	3,16	0,91
1965—1966	93,87	4,94	0,76	89,99	8,39	1,22

Приведенное среднее процентное содержание газовых компонентов в различные периоды разработки указанных зон показывает, что наиболее значительные изменения состава газа отмечаются в южной зоне. Так, содержание метана в газах северной зоны различных периодов изменяется на 0,72% и 0,64%, а южной—на 2,66% и 5,86%. По сумме тяжелых углеводородов эти величины равны 1,09% и 0,70% для газов северной зоны и 3,22% и 5,23%—для южной.

Как следует из изложенного, изменения состава газа залежи VII горизонта месторождения Карадаг характеризуются рядом особенностей, связанных с его геологическим строением и особенно с состоянием флюидов и их изменением в процессе разработки газоконденсатной

залежи с нефтяной оторочкой. Углеводородные газы в изучаемой залежи находятся в свободном состоянии, растворены в нефти, конденсате, пластовых водах и образуют с конденсатом единую газовую фазу. Наряду с этим изучение химического состава конденсата показывает, что значительная его часть представлена бутанами и пентанами. Соотношение количеств компонентов природного газа в различных фазах этой сложной смеси обусловливает наблюдаемые изменения.

В целом по залежи по мере падения давления из однофазной газовой смеси происходит выпадение конденсата, вместе с которым из газовой смеси выделяются гомологи метана, в связи с чем процент метана растет. Изучение рекомбинированных проб показало, что "при понижении давления до 200 атм происходит обратная или ретроградная конденсация, вследствие чего количество насыщенной газом жидкой фазы растет, а затем, при дальнейшем понижении давления, оно падает в силу нормального испарения жидких углеводородов газоконденсатной смеси [1, стр. 16]. В связи с этим снижение давления в залежи ниже 200 атм сопровождается увеличением в составе газа тяжелых углеводородов и уменьшением содержания метана. Вполне возможно, что отмеченный на графиках перегиб кривых содержания метана и его гомологов при большем количестве непрерывных во времени анализов окажется несколько смещенным вправо, т. е. произойдет при более низких давлениях.

В описанном процессе изменения состава газа в основном были учтены соотношения между газом и конденсатом, в то время как изучаемая залежь имеет значительную оторочку нефти с большим количеством растворенного газа, равным примерно 2 млрд. м³. Вполне понятно, что и этот газ участвует в изменениях, происходящих в залежи по мере ее разработки. Это подтверждается наблюденными различиями в изменении состава газа северной и южной зон. Указанное влияние особенно заметно в завершающий период разработки залежи (1965—1966 гг.), когда в составе газов южной зоны значительно уменьшается содержание метана и возрастает процент тяжелых углеводородов, причем большая часть последних, по-видимому, связана с процессом дегазации нефтяной оторочки. Последовательное изменение содержания углекислого газа по мере падения пластового давления связано с дегазацией не только нефти, но и вод, известных как в пределах, так и за контуром нефтегазоносности.

Изложенное выше указывает на сложность изменений состава газообразных углеводородов в контакте с газоконденсатом, нефтью и водой, происходящих в пластовых условиях. Закономерности этих изменений должны быть использованы при рассмотрении вопроса миграции углеводородов и формирования их залежей. Подобный подход позволит более уверенно раскрывать закономерности распределения в разрезе и по площади [нефтегазоносной области углеводородов различного состава.

ЛИТЕРАТУРА

- Григорьян Х. А. Исследование поведения газоконденсатных и газонефтяных смесей при высоких давлениях. АНХ, № 5, 1956.
- Дадашев Ф. Г. Углеводородные газы третичных отложений Восточного Азербайджана. Баку, 1965.
- Дурмизиян А. Г. Вопросы геологии, разведки и разработки газоконденсатного месторождения Карадаг. Азернефтешр,

Институт геологии

Поступило 11. IV 1967

Ф. Җ. Дадашов, Э. М. Маммадов

Гарадаг јатағынын карбоидрокен газларынын кеокимјеви хүсусијјети

ХУЛАСЭ

Гарадаг газоконденсат јатағынын истисмар һоризонтлары вә дәс тәләри (V, VII, VIII, Миоцен) газларынын тәркибиндә карбоидрокен газларынын вә карбон газының һәм кәсилиш боју вә һәм дә саһә үзрә дәјишмәси ганунауғунлуглары айынлашдырылышыр. Бундан әlavә, јатағын карбоидрокен газларыны тәдгиг едәрәк мүәյҗәнләшдирилмишdir ки, 1957—1966-чы илләрдә VII һоризонт газынын карбоидрокен вә карбон газы тәркиби тәзілгін ашағы дүшмәси илә әлагәдар олараг мүәйҗән ганунауғунлугла дәјишир. Белә ки, 1957—1961-чи илләрин истисмар әрәфесиндә газын метан тәркиби чохалмагла онун үмуми ағыр карбоидрокен тәркиби азалышыр. 1961-чи илдән сонракы истисмар дөврүндә исә газын метан тәркиби ганунауғунлугла азалмаға башламышыр. VII һоризонт газларында карбон газы истисмар дөврүндә фасиләсиз олараг чохалмышыр. Бу артымын истисмар дөврүнүн әввәлиндә даға јұксәк олмасы мүшәнидә едилемишdir. Бундан әlavә, истисмар дөврүнүн VII һоризонт газларында метанын вә үмуми ағыр карбоидрокенләрни мигдарынын дәјишмәсіндән асылы олараг ики саһә айрылышыр. Белә ки, 1957—1958-чи илләрдә газын тәркибиндәкі метанын јұксәк фази јатағын тағ саһәсінә үлғун кәлирдисә, 1960—1961-чи илләрдә метанын јұксәк фази јатағын ганад саһәсінә дүшмүшдүр. Бу нал, эксинә олараг, үмуми карбоидрокенләрдә 1957—1958-чи илләрдә јатағын ганад саһәсіндә, 1960—1961-чи илләрдә исә јатағын тағ һиссәсіндә мүшәнидә олунмушдур.

ГЕОЛОГИЯ

Э. Т. БАЙРАМАЛИБЕЙЛИ

К КЛАССИФИКАЦИИ СКРЫТЫХ ЭНДОГЕННЫХ РУДНЫХ МЕСТОРОЖДЕНИЙ АЗЕРБАЙДЖАНА

(Представлено академиком АН Азербайджанской ССР Ш. А. Азизбековым)

Существующие классификации и терминология скрытых рудных месторождений не отражают в полной мере фактическую геологическую картину этих месторождений. Сложность предположенной классификации и терминологии объясняется желанием авторов обобщить в этих определениях геолого-структурные, генетические, тектоно-магматические условия, а также отобразить глубину формирования этих месторождений. Все это приводит к многочисленным терминам, как-то: „скрытые“, „слепые“, „перекрытые“, „невскрытые“, „погребенные“, „скрыто-погребенные“. Классификация скрытых месторождений, предложенная В. И. Смирновым [10] и др. [12], сведена нами в табл. 1.

В. В. Аристов [4], приводя критические замечания к существующей классификации скрытых месторождений, предлагает свою классификацию с выделением двух главных их типов: 1) „погребенные“ и 2) „слепые“. К „погребенным“ месторождениям он относит „...такие месторождения, которые формировались на поверхности земли (в океане) или были выведены на нее в процессе эрозии, а затем были погребены под толщами более молодых отложений различного происхождения“ [4, стр. 91]. „Слепыми“ автор именует те месторождения, „которые формировались в изолированных от поверхности условиях на некоторой глубине и никогда на ней не обнажались, т. е. полностью сохранялись“. Выделение этих двух главных типов скрытых месторождений обусловлено широкой их распространностью, выработанной самой практикой поисковых, разведочных и эксплуатационных работ.

Исходя из этого мы приводим классификацию скрытых эндогенных месторождений Азербайджана с освещением некоторых металлогенических особенностей, закономерностей их размещения и формирования. Геологическое развитие Малого Кавказа отличается рядом особенностей, в значительной степени обусловленных наложением альпийской геосинклиналии на герцинскую структуру. Периодичность речными поднятиями способствовала формированию линейно-глыбовой

Таблица 1

Классификация скрытых месторождений твердых полезных ископаемых

По В. И. Смирнову		По итогам совещания—членов Совета экономической взаимопомощи (СЭВ)																
Перекрытые* месторождения	Невскрытые* месторождения	Скрытые* месторождения	Погребенные* месторождения	Скрыто-погре- бен.* месторождения														
Месторожде- ния, рудные тела которых вме- сте с вмещаю- щими их поро- дами перекры- ты толщей более молодых отложений	Месторожде- ния эндогенные, рудные тела ко- торых еще не обнажались на поверхности со- временного эро- зионного среза	Месторожде- ния эндогенные, полностью заклю- ченные в толще вмещающих пород, не обнаженных эрозионным сре- зом. К этой груп- пе относятся ме- сторождения, зале- гающие: а) в фундаменте; б) в покрове и фунд. одновре- менно	Месторожде- ния, обнажав- шиеся более древним эрози- онным срезом. К этой груп- пе относятся ме- сторождения, зале- гающие:	Месторожде- ния; расположенные ни- же древней эрози- онной поверхности в тех случаях, ког- да последняя пе- рекрыта более мо- лодыми, геологич- ическими образова- ниями														
В зависимости от глубины залегания																		
<table border="1" style="width: 100%; border-collapse: collapse;"> <tr> <td style="width: 33%;">1. Неглубоко скрытые (от первых метров до десяти метров от поверх.)</td> <td style="width: 33%;">1. Мелко погребенные (от первых метров до десятков метров от поверх.)</td> <td style="width: 33%;">1. Неглубоко скрытые:</td> </tr> <tr> <td>2. Глубоко скрытые (сотни метров и более)</td> <td>2. Глубоко скрытые (сотни метров и более)</td> <tr> <td>и более)</td> <td>и более)</td> <td>а) мелко погреб.; б) глубоко погреб.</td> </tr> <tr> <td>2) Глубоко скрытые (сотни метров и более)</td> <td>2) Глубоко скрытые (сотни метров и более)</td> <td>2) Глубоко скрытые:</td> </tr> <tr> <td></td> <td></td> <td>а) мелко погреб.; б) глубоко погреб.</td> </tr> </tr></table>					1. Неглубоко скрытые (от первых метров до десяти метров от поверх.)	1. Мелко погребенные (от первых метров до десятков метров от поверх.)	1. Неглубоко скрытые:	2. Глубоко скрытые (сотни метров и более)	2. Глубоко скрытые (сотни метров и более)	и более)	и более)	а) мелко погреб.; б) глубоко погреб.	2) Глубоко скрытые (сотни метров и более)	2) Глубоко скрытые (сотни метров и более)	2) Глубоко скрытые:			а) мелко погреб.; б) глубоко погреб.
1. Неглубоко скрытые (от первых метров до десяти метров от поверх.)	1. Мелко погребенные (от первых метров до десятков метров от поверх.)	1. Неглубоко скрытые:																
2. Глубоко скрытые (сотни метров и более)	2. Глубоко скрытые (сотни метров и более)	и более)	и более)	а) мелко погреб.; б) глубоко погреб.	2) Глубоко скрытые (сотни метров и более)	2) Глубоко скрытые (сотни метров и более)	2) Глубоко скрытые:			а) мелко погреб.; б) глубоко погреб.								
и более)	и более)	а) мелко погреб.; б) глубоко погреб.																
2) Глубоко скрытые (сотни метров и более)	2) Глубоко скрытые (сотни метров и более)	2) Глубоко скрытые:																
		а) мелко погреб.; б) глубоко погреб.																

складчатости с кулисобразным расположением основных структурных единиц, вытянутых в северо-западном (общекавказском) направлении. Особенно отчетливо эта периодичность устанавливается в интенсивном эфузивном и интрузивном магматизме, контролируемом разломами глубокого заложения [6]. Эндогенные рудные месторождения в пределах Азербайджанской части Малого Кавказа связаны геосинклинальными, орогенными и посторогенными стадиями альпийской металлогенетической эпохи.

Колчеданная рудная формация доскладчатой стадии раннеальпийской (киммерийской) металлогенической эпохи в пределах Малого Кавказа (Азербайджан) генетически связана и гидротермальным и гидротермально-метасоматическим процессом и размещается в пунктах благоприятных дорудных тектонических сочетаний, приурочиваясь к толще кварцевых плагиопорфиров верхнебайосского возраста. Для верхнебайосской кварцплагиопорфировой толщи характерно широкое распространение субвуликанической и интрузивной фации. Пространственная приуроченность плагиогранитовых интрузивов к верхнебайосской формации кварцевых плагиопорфиров, идентичность петрографического и химического составов подчеркивают их генетическую связь (Р. Н. Абдулаев, 1961). Благоприятные геолого-структурные факторы дебатских интрузивов и субвуликанических образований кварцплагиопорфиров с вмещающими их верхнебайосскими эфузивами обусловливают концентрацию колчеданных, колчеданно-

полиметаллических руд (Кедабек, Ново-Гореловка, Чирагидзор-Тоганалы), а также нерудных полезных ископаемых—каолино-огнеупорных глин, барита, вторичных кварцитов. Автором настоящей статьи еще в 1954 г. в базальных конгломератах верхнебайосских кварциллюпопиритов Чирагидзорского рудного поля были обнаружены гальки и валуны вторичных кварцитов и серного колчедана, подчеркивающие добатский (верхнебайосский) возраст колчеданного оруденения и основного процесса каолинизации, в условиях рассматриваемого региона. Соскладчатая стадия рассматриваемой металлогенической эпохи сыграла основную роль в формировании и локализации остальных (неколчеданных) рудных месторождений в пределах мощных вулканогенных и осадочно-вулканогенных толщ батского и верхнеюрского возраста Малого Кавказа, генетически связанных с постмагматической деятельностью неокомских гранитоидных интрузивов. К таким типам месторождений относятся железо-скарновые и кобальтовые (Дашкесан), гематитовые (Алабашлы), полиметаллические (Мехмана) и др.

Медно-пирротиновый пояс южного склона Большого Кавказа в пределах Азербайджана приобретает промышленную ценность в связи с открытием месторождения колчеданной, колчеданно-полиметаллической формации руд (Белоканский рудный район). Указанные руды генетически связаны с добатскими пластовыми интрузиями и дайками диабазов, габбро-диабазов и относятся к соскладчатой стадии киммерийской металлогенической эпохи. Трансгрессиями и активным вулканизмом соскладчатых стадий альпийской металлогенической эпохи связаны магнетитовые туфопесчаники туфогенно-осадочного генетического подтипа батского и сantonского возрастов, соответственно размещенные пластообразными залежами в пределах северо-восточного и юго-восточного склонов Малого Кавказа [7]. С соскладчатой стадией альпийской металлогенической эпохи, соответствующей верхнему мелу—палеогену, генетически связаны хромитовая (Севано-Акеринская зона), молибденовая (Далидагский рудный район) и железорудная (Ново-Ивановка) формации.

Обобщение исторических данных по рудным месторождениям Азербайджана подчеркивает, что все месторождения выявлены благодаря эрозионному срезу и выходам минерализованных ореолов их во вмещающих породах на дневную поверхность. В дореволюционном Азербайджане в зависимости от конъюнктурного требования к металлам их месторождения вовлекались в эксплуатацию горными предпринимателями (Кедабекское медное—1849 г., Чирагидзорское серно-колчеданное—1900 г., Дашкесанско кобальтовое—1870—1904 гг.). В последние 10—15 лет благодаря более усовершенствованным комплексным геолого-геофизическим методам и разведочной технике, отдельные рудопроявления переведены в разряд месторождений (Мехманинское свинцовое, Парагачайское молибденовое, Гюмушлугское свинцовое, Тоганалинское серно-колчеданное, а также установлены перспективы рудных районов (Дашкесанский и Белоканский).

Из вышеприведенной классификации (табл. 2) основных скрытых месторождений Азербайджана следует, что "слепые" и "погребенные" месторождения Дашкесанского, Белоканского, Кедабекского рудных районов, Чирагидзорского и Мехманинского рудных полей сохраняются полностью в первичном залегании в рудовмещающих породах, отражая первичные рудогенетические структуры.

Вопрос абсолютной отработанности собственно Кедабекского, Дашкесанского кобальтового месторождений и ограниченности запасов

руд Битти-Булахского, Ново-Гореловского, Мехманинского и Парагачайского месторождений, несмотря на неоднократно проведенные геолого-поисковые и детальные разведочные работы, остается еще не решенным. Геолого-структурные и генетические особенности рассматриваемых месторождений Азербайджана, в пределах которых установлен ряд скрытых промышленных рудных тел пластиобразного, штокового, жильного, морфологических типов, подчеркивают большие потенциальные и практические возможности в обнаружении новых морфологических, аналогичных известным рудным телам как в зоне самих месторождений, так и за контурами его в рудовмещающей толще.

И поэтому палеогеографический, литолого-фаунистический, геолого-структурный анализ предопределяют возможность выявления прогнозных площадей со "слепыми" или "погребенными" месторождениями. Так, в пределах Дашкесанского синклиниория, благодаря глубокому эрозионному срезу, в одноименном рудном районе выявлены "погребенные" месторождения, а "слепые" их типы еще не установлены. Аналогичные явления устанавливаются в пределах Шамхорского и Гейгельского антиклиниориев, где известны лишь "слепые" колчеданные месторождения, а "погребенные" их разности еще не установлены. В целях выявления указанных типов скрытых месторождений требуется постановка планомерных комплексных геолого-структурных, геохимических, геофизических глубинных методов поисков в пределах прогнозированных площадей с рудовмещающими их толщами. Поэтому первоочередными задачами геологической службы Азербайджана необходимо считать последовательное планирование комплексных геолого-геофизических работ в пределах месторождений и рудопроявлений в целях выявления "слепых", "погребенных" промышленных рудных концентраций.

ЛИТЕРАТУРА

1. Абдуллаев Р. Н., Азизбеков Ш. А., Кащакай М. А., Керимов Г. И., Мустафабейли М. А. Металлогенез Азербайджана. Изд. АН Азерб. ССР, 1962.
2. Абдуллаев Р. Н. Мезозойский вулканизм северо-восточной части Малого Кавказа. Изд. АН Азерб. ССР, 1963.
3. Азизбеков Ш. А. Геология Нах. АССР. Госгеолтехиздат, 1961.
4. Аристов В. В. Основные типы скрытых месторождений твердых полезных ископаемых и применяемая методика их поисков. "Геология и разведка", № 4, 1964.
5. Аристов В. В. Вопросы теоретического обоснования поисков скрытых постмагматических месторождений. "Геология и разведка", № 6 и № 7, 1964.
6. Байрамалибейли Э. Т. К вопросу о металлогении глубинных разломов Малого Кавказа (в пределах Азербайджанской ССР). Труды КИМС, вып. V (7), 1964.
7. Байрамалибейли Э. Т., Эфендиев Б. Н. О новом пункте магнетитовых туфопесчаников в пределах юго-восточного склона Малого Кавказа (в пещерах). 8. Кащакай М. А. Магматические процессы Азербайджана и некоторые черты его металлогении. Труды I Всесоюз. петрогр. совещ. М., Изд-во АН СССР, 1955.
9. Керимов Г. И. Петрология и рудоносность Кедабекского рудного узла. Изд-во АН Азерб. ССР, 1961.
10. Смирнов В. И. Проблемы поисков рудных месторождений. Сулейманов С. М. Основные черты геологического строения и металлогенеза северо-восточной части Малого Кавказа. Ученые записки АГУ, № 4, 1957.
11. Хрушев Н. А. Итоги совещания по вопросу поисков скрытых полезных ископаемых стран-членов Совета экономической взаимопомощи. "Сов. геология", № 6, 1961.
12. Эфендиев Г. Х. Гидротермальный рудный комплекс северо-восточной части Малого Кавказа. Изд-во АН Азерб. ССР, 1957.

Поступило 21. V 1966

Институт геологии

ХҮЛАСЭ

Кизли ендокен јатагларынын мә'лум олан бир нечә тәснифат вә терминолокијалары бүтүнлүклә һәмин јатагларын һәгиги, кеоложи гурулушу нағызыда дүрүст мә'лумат вермір. Айры-ајры мүәллифләр тәрәфиндән тәклиф едилмиш кизли филиż јатагларынын тәснифаты вә терминолокијасынын мүрәккәбلىji һәмин јатағын кеоложи гурулушунун мұхтәлифији вә еләчә дә јатагларын јер сәттинин мұхтәлиф дәринликләрдә әмәлә кәлмәси сәбәбләрини айынлашдырмагла изаһ олуңур ки, бүтүн бунлар тәчүрүбәдә чәтилликлә гәбул едилмиш бир нечә артыг кеоложи терминиләрini (мәсәлән кизли, өртүлмүш, ачылмамыш, көмүлмүш, кизли көмүлмүш вә с.) әмәлә кәлмәсинә кәтириб чыхарыр.

Б. В. Аристов кизли ендокен јатагларынын јатым шәрәитини нәзәрә алараң јүхарыда көстәрдијимиз тәснифатлара тәнгиди һанаشاраг өзүнүн нисбәтән тәкмилләшдирилмиш тәснифатыны һаратмышдыр. О, океанларда јер габығы үзәриндә әмәлә кәлән вә сонралар мұхталиф мәнишәли нисбәтән чөкүнгүләрлә өртүлмүш ендокен јатагларыны „көмүлмүш“, јер сәти илә неч вахт әлагәси олмајан вә нисбәтән јерин дәрін гатларында әмәлә кәлән јатагларын һамысыны „кизли“ ендокен јатаглары адландырыштыр.

Мүэллиф В. В. Аристовун көстәрдији терминолокијаны вә тәснифаты эсас тутараг Азәрбајчандың ендокен филиз жатагларының јерләшмәси ганунауғунлугларыны вә перспективијини, металокенетик хүсусијәтләрини тәсвир етмәклә кизли ендокен жатагларының тәснифатыны вермишдир.

АГРОКИМЈА

Ч. И. ЗҮЛФҮГАРЛЫ, Ч. М. ҚУСЕЙНОВ, А. М. АБДУЛЛАЕВ

НИКЕЛ, МАНГАН ВЭ МИС-НАФТЕНАТЛАРЫНЫН БИОЛОЖИ АКТИВЛИЈИНИН ТӘДГИГИ

Эдэбијјатда [1] олан мэ'луматдан бэллидир ки, Азэрбајчан ССР Елмлэр Академијасынын Торлагшүнаслыг вэ Агрокимја Институтунда тапылан вэ нефт бој маддэси адландырылан стимулјатор нафтен туршуларынын натриум дузундан ибарэтдир.

Мұхтәліф шәралтдә вә айры-ајры биткиләрлә апарылан тәчрүбәләр нәтижәсіндә мә'лум олмуш дур ки, нефт мәншәјі олан бу стимулјатор биткиниң инкишағыны, даһа дөгрису, онун бој атмасыны сүр'әтләндирір вә күчләндирір. Бу бој маддәси чох ваҳт тохумлары онун мүәжділік гатылығда олан мәһілулиңда ислатдығда белә бој атмаға күч-
лу тә'сир едір.

Нефт бој маддэсинин стимулјатор олараг биткинин (буғданын) бој атмасына (бөјүмәсииә) тә'сирини айдынлаштырмаг үчүн ону бәлли олан дикәр стимулјаторларын—нетероауксии вә һиберел туршусунун тә'сири илә мұғајисә етмишләр. Бұ мұғајисә Зедингин тәк-милдәштиридиң Вент усулу илә апарылыштырып.

Тәчүрүбәләр юлафын чүчәрмиш дәнәләрindә ајры-ајры колеоптилләрин (тахылын илк ярпағыны), бүкүмләринә тә'сирини мүәжжән етмәклә апарылыштыр. Мә'лум олмушшур ки, нефт бој маддәсисини дуру мәһилләрү $9,7^{\circ}$ илә 12° һүдудунда бүкүм әмәлә 'кәлмәсисинә сәбәб олдуғу налда, нетероауксиси $6,8^{\circ}$ дән $8,4^{\circ}$ -јә, һиберел түршусу исә 77° -дән $8,0^{\circ}$ -јә гәдәр бүкүм әмәлә кәтире билир.

Беләликлә, мүәյҗән едилмишdir ки, нефт бој маддәси бәлли олан бир сыра дикәр стимулјаторлара иисбәтән хејли күчлү тә'сир едир. Бу нефт бој маддәси исә, дејилдији кими, натриум-нафтенатын дуру мәһдүлүндән избарәтдир.

Биринчи фраксија нафтен туршуларындан [2] алынан никел, мангган вә мис-нафтенатларының да бу чөнөтдөн јохланылмасы, йәни онларын да биологи актив маддә олуб, стимулатор кими тә'сир еда билмәси габилийјетинин мүэлләни едилмәси чох мараглыдыр. Тәчрүбәнин бу ииссәси Азәрбајҹан ССР Елмләр Академијасынын Торпагшүнаслыг вә Агрономија Институтуunda апарылыш вә мараглы иәтичәләр элдә едилмишdir.

Тәрүбә, јухарыда дејилди кими, Зедингии тәкмилләшдирди. Веңт үсүлү илә апарылыш вә синтез едилмиш нафтенатларын мұхтәлиф гатылыгда олан мәһілларының јулаф чүчәртиләриндә айры

ајры колеоптилләри бүкүмләринә тә'сирини јохламагдан ибарәт олмушудур.

Алыныш нәтичәләр ашағыдақы чәдвәлдә верилмишdir.

Чәдвәл

Нафтенатлар	Тәчрүбәләрин тәкrap едилмәснинде алышан нәтичәләр		
	I тәкrap	II тәкrap	ортa несабла
Контрол: су	1,3	1,4	1,4
Никел-нафтенат:			
0,02%	4,5	4,6	4,5
0,002%	3,9	3,3	3,5
0,0002%	3,2	4,0	3,6
Мангани-нафтенат:			
0,02%	2,3	2,8	5,5
0,002%	4,4	4,2	4,3
0,0002%	6,3	6,5	6,4
Мис-нафтенат:			
0,02%	5,0	5,4	5,2
0,002%	5,4	5,2	5,3
0,0002%	3,9	4,0	4,0

Чәдвәлдәки мә'луматдан көрүнүр ки, көтүрүлмүш нафтенат мәһілләрүүнин гатылысынан асылы олараг колеоптилләри бүкүмләри орта несабла 2,5–6,4° һүдүдүнда дәйшишir. Бурада мәһілләрүүн гатылығы мүһүм рол оjnадығы кими, нафтенатын һаңсы металла әмәлә кәлмәснинин ролу да чох бөյүкдүр. Чәдвәлдән көрүнүр ки, ән көзәл биологи активлиji олан мангани-нафтенатдыр. Никел-нафтенатын тә'сири галан ики метал (манган, мис) нафтенатынын тә'сириндән хеjли аздыр. Мис-нафтенат исә аралыг вәзиijэт тәшкىл едир. Демәли, алышан нафтенатлардан биологи активлик е'тибариlә биричи јердә мангани-нафтенат, икинчи јердә исә мис-нафтенат дурур. Бу мәсәлә манган вә мисин микроелемент олараг биткиләрин һәјатында оjnадығы физиология рол нөгтеjи-нәзәриндән чох тәбин вә ганунауjfундур; белә ки, мә'лум олдуғу үзрә, мангани вә мис биткиниң һәјатында давам едән мүһүм физиология просеслердә иштирак едир вә онлары бу чәhәтдән heч бир башга метал әвәз едә билмир.

Беләликлә, апарылан тәдгигат нәтичесиндә мүәjjән едилмишdir ки, синтез едилән мангани вә мис-нафтенатлары биологи активлиjә малик олац маддәләрdir вә бу чәhәтдән бәлли олан бир сыра стимулаторлардан кери галмыр.

ӘДӘБИЙЛАТ

1. Гусейнов Д. М. Сб. нефтяные удобрения и стимуляторы. Изд. АН Азерб. ССР, 1963 г., стр. 5. 2. Абдуллаев А. М., Зульфугарлы Җ. И. Никел вә мис-нафтенатларынын синтези вә хассәләрини тәдгиги. АДУ-нун Елми әсәрләри (кимja елмәри серијасы), 1966, № 2, сәh. 3.

Азәрбајҹан Дәвләт Университети

Алынышдыр 11. IV 1967

Д. И. Зульфугарлы, Д. М. Гусейнов, А. М. Абдуллаев

Изучение биологической активности нафтенатов никеля, марганца и меди

РЕЗЮМЕ

Исследованиями установлено, что нафтенат натрия как нефтяное ростовое вещество является хорошим стимулятором роста растений. С этой точки зрения большой интерес представляет изучение биоло-

гической активности нафтенатов некоторых тяжелых металлов, в частности нафтенатов никеля, марганца и меди.

Проведенные исследования показали, что перечисленные нафтенаты являются биологически активными веществами и как стимуляторы не уступают некоторым известным стимуляторам. Причем в этом отношении первое место занимает нафтенат марганца, а последнее—нафтенат никеля; нафтенат меди занимает промежуточное положение.

СИСТЕМАТИКА РАСТЕНИЙ

Э. Х. ХАЛИЛОВ

О НОВОМ ВИДЕ КЛЕВЕРА (*TRIFOLIUM TOPCZIBASCHOVII* CHAL. SP. NOVA) ИЗ АЗЕРБАЙДЖАНА

(Представлено академиком АН Азербайджанской ССР Г. А. Алиевым)

С целью изучения клеверов Азербайджана мы несколько лет подряд совершили флористические экспедиции в горный Талыш. В 1963 г. в Лерикском районе в ущелье Орандчай нами собран новый вид клевера из секции *Stenostoma* Ciib. et Belli.

Новый вид клевера мы назвали в честь видного азербайджанского ученого академика Мустафабека Топчибашева—*Trifolium topczibaschovii* Chal. sp. nova—клевер Топчибашева.

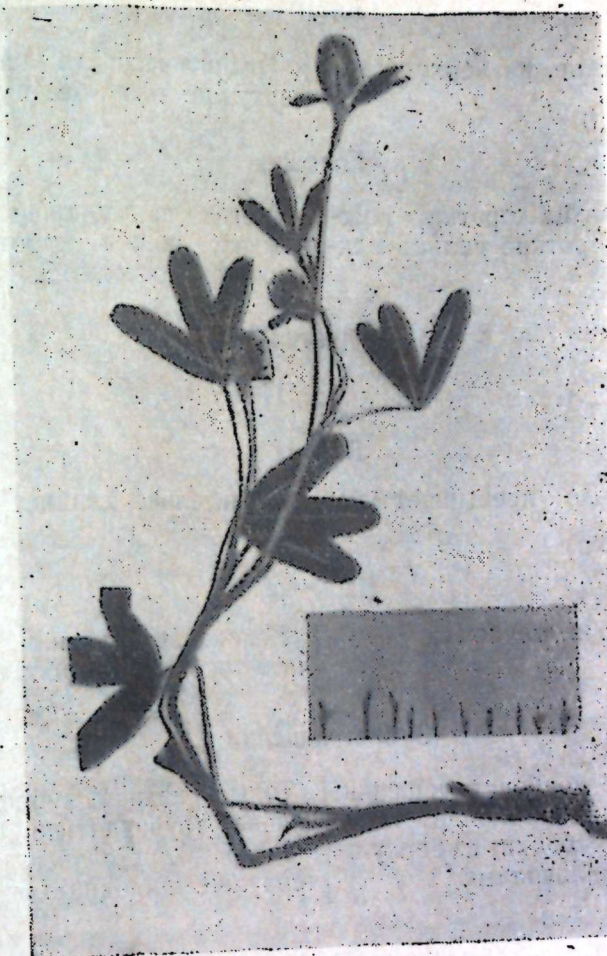
Многолетнее высокое растение. Стебли прямые, длинные оттопыренно-беловолосистые, ветвистые. Прилистники длинные, до 6 см длины. Листочки эллиптические, с обеих сторон отстоящеволосистые, 5,5 см длины, 1,5 см ширины, на верхушке тупые или выемчатые. Головки сидячие или на коротких прижатоволосистых ножках, одиночные, довольно крупные, до 4 см длины, овальные или шаровидно-яйцевидные, густоцветковые. Цветки бледно-желтые, после цветения темно-коричневые, 19 мм длины. Чашечка трубчатая, узкая; трубочка чашечки отстоящеволосистая, ребристая, с 10 жилками; зубцы чашечки длиннее трубочки, нижний—в 2½, верхние в 1½ раза, линейные, на верхушке оттянуто-шиловидные, голые. Венчик 19 мм длины, немного превышает чашечку; флаг узкий, ланцетный, длиннее лодочки и крыльев.

Цветет в июне, плодоносит в июле. Обитает в Талыше, в горных лесах. Отличается от близкого вида *T. caucasicum* Paush. отстоящеволосистым стеблем (не коротко прижатоволосистым); узкой трубочкой чашечки, с длинными зубцами, длинными прилистниками.

Тип: Азерб ССР, Лерикский район, ущелье Орандчай, в светлых лесах; собран Э. Х. Халиловым 26. VI 1963 г. Хранится в гербарии БИН АН Азерб. ССР.

Planta perennis, alta. Caules erecti; patula longe pilosi, ramosi. Stipe longiores, ad 6 cm long. Foliola elliptica, utrinque patente villosa, 5-5 cm long., 1.5 cm lat., apice obtusa vel plus minus emarginata. Capitula sessilia vel breviter pedunculata, pedunculi adpresso villosis, solitaria, sat magna, ovalia, vel globoso-ovata, densitlora circa 4 cm long. Flores sulphurei, post anthesin badii, 19 mm long. Calyx tubulosus, angustus, costatus. Dentes calycinis tubulo longiores, inferor 2½-plo, superiores 1½-plo tubulo longiores, lineares, attenuate subulati, apice

nudi. Corolla 19 mm. long., calyce parvum longior. Vexillum angustum, lanceolatum, alis carinaque longius Fl. VI; fr. VII.



Клевер Топчибашева.

Ab affini *T. caucasicum* species nostra defert caulis patent, pilosis (non adpresso pilosis); calyce tubuloso angusto; dentibus calycinis stipitisque longioribus.

Hab. Talysch Montanus.

Typus. Azerbaidshan, distr. Lerik; fl. Orand—czai, in declinis lapidosis, silvaticis, leg. E. Chalilov, 26. VI 1963. In Herb. Inst. bot. nom. V. L. Komarovii in Baku conservatur.

Сравнительная таблица признаков
T. topczibashovii Chal sp. n. и *T. caucasicum* Tausch.

T. topczibashovii Chal sp. n. | *T. caucasicum* Tausch.

Стебли

Сильно длинноотстоящеволосистые. | Короткие прижато-волосистые.

Прилистники

Сравнительно короткие, до 4 см дл. | Длинные, до 6 см дл.

дүзлары илээ элавэ гидаландырылышдыр. Биткиләрин чичәкләдикләри дөврдә (28 июнда) сәһәр тездән бир груп битки сечилмиш вә бир-фаизли натриум-фосфат, магнезиум, калиум вә калсиум-хлорид, 0,1% ли мангган вә мис-сулфат дүзларының мәһілүллары илэ, юхлама бит-киләри исә ади су илэ чиләдилмишdir. Чиләнмәни икинчи күнүндән башлајараг 2,5, 10, 30, 35 күндән соңра фотосинтезин интенсивлиji өјрәнилмәjә башланышдыр. Фотосинтезин интенсивлиji сәһәр saat 10-дан 13-дәк биткиләрин әсас көвдә јарпагларында (орта јарусда) тә'жин едилмишdir. Фотосинтезин интенсивлиjини өјрәнмәк үчүн бир груп јарпаг сечилмиш, јары һиссәси сәһәр saat 10-да, јары һиссәси исә saat '3-дә көтурулмушdur. Тәчрүбәнин башланғычында вә соңунда сәһәр saat 10-да вә 13-дә нүүмнәләр көтуруләндән соңра јарпагларын саһәси өлчүлмүш, Кох чиңазында фиксә едилмиш, гурдулмуш вә гуру маддәнин топланмасы һесаба алышмышдыр. Сәһәр saat 10-дан 13-э гәләр олан мүлдәтдә бир saatda 1 m^2 јарпаг саһәсindә топланан гуру маддәнин грамла мигдары һесабланышдыр. Тәчрүбәнин башланғычында вә соңунда јарпагларда олан гуру маддә арасындакы фәрг тәчрүбә мүлдәтиндә фотосинтез просес: иәтичәсиндә онларда топланыш гуру маддәнин мигдарыны көстәрир. Һәмин мүлдәтдә тәнәффүс просесиндә сәрф едилән вә јарпаглардан башга органлара ахан ассимиljатларын мигдарыны һесаба алмаг үчүн бит-киләрин бир һиссәси тәчрүбә мүлдәтиндә гаранлыгда сахланылыш вә јарпагларда гуру маддәнин азалмасы тә'жин олунмушdur.

Несабламадан алышан рәгемләр фотосинтез просесинде ярпагларда топланан гуру маддәнин үзәринә элавә олундугдан соңра бу просесдә тәчрүбә мүддәтиндә әмәлә кәлмиш гуру маддәнин мигдары мүәҗҗән едилмишdir.

Фосфор, магнезиум вэ калсиумун фотосинтез просесинэ тэ'сиринин характеристи 1-чи чэдвэлдэ верилмишдир (1-чи чэдвэл).

1-чи чэдвэл

**Фосфор, магнезиум вә калсиумун бадымчан биткиси јарпагларында
фотосинтезин интенсивлијине тә'сири**

Вариантлар	Бир saatда 1 м ² Jарнаг саһесинде топланган гуру маддәнин г-ла мигдары				
	Нүмүнеләрни көтүрүлдүү тарих				
	30. VI	3. VII	10. VII	30. VII	3. VIII
Jохлама	1,51	0,82	1,36	0,70	1,50
NaH ₂ PO ₄	3,93	1,53	2,53	2,73	3,20
MgCl ₂	1,58	1,37	2,35	1,53	1,13
CaCl ₂	1,41	1,59	3,38	4,17	1,92

1-чи чәлдәлдәки рәгәмләрдән көрүнүр ки, биткиләрә фосфор, магнезиум вә калсиум мәһілләрләrin чиләнмәсі Іарпагларда фотосинтез процесинин хејли сүр'әтләнмәсінә вә гуру маддәнни чохалмасына сәбәб олур. Нұмунәләр көтүрүлән бүтүн тарихләрдә тәчрүбә биткиләри йарпагларында фотосинтез процесинде әмәлә қалмиш гуру маддәнни мигдары жохлама биткиләриндән артығырып. Фотосинтез процесинин артмасында ән жүксәк тә'сир фосфор мәһілулу чиләнмиш вариантдан алышнышдыр. Магнезиум-хлорид мәһілулу чиләнмиш вариантда чиләнмән икинчи күнүндән, јә'ни ијунун 30-даи ијулун 30-на кими фо-

тосинтезин интенсивлији јохламаја иисбетәи артмышдыр. Соңрадан тәчрубынин вахты узандыгча чиләнмәни тә'сири азалмышдыр. Бу көстәрик ки, фотосинтези узун мүддәт јүксәк сәвијјәдә сахламаг үчүн биткиләрә магнезиум мәһлүлүүнүн чиләнмәси векетасија дөврүндә бир нечә дәфә тәkrар олуималыдыр.

1-чи чәдвәлдәки рәгәмләр калсиум мәһилулу чиләниш биткиләрдә чиләнмәниң икинчи күнү (30.VII) фотосинтезин интенсивлијинин јохламаја нисбәтән тәдричән азалдығыны көстәрир. Сонракы тарихләрдә исә јохламаја нисбәтән тәдричән артараг максимума чатыр. Тәчрубын эввәлиндә калсиум мәһилулу чиләниш биткиләрдә фотосинтезин интенсивлији бир гәдәр азалса да сонralар оналарын јарпагларында фотосинтезин сүр'ети јохлама биткиләринә нисбәтән хејли артыр.

2-чи чэдвэлдэки рэгэмлэр калиум, манган вэ мисин фотосинтезийн интенсивлийнэ тэ'сирини характеризэ едир (2-чи чэдвэл).

2-чи чэдвэл

Калиум, манган вә мисин бадымчан биткиси јарпагларында фотосинтезин интенсивлијине тә'сири

Вариантлар	Бир саатда 1 м ² жарнага саңғасындеги топланган гуру маддәнин г-ла мигдары				
	Нүмүнәләрдин көтүрүлдүү тарих				
	30. VI	4. VII	11. VII	31. VII	4. VIII
Жохлама	0,88	1,66	1,80	1,20	1,72
KCl	4,93	2,50	2,56	2,08	2,00
MnSO ₄	1,49	5,30	1,18	0,74	0,98
CuSO ₄	1,86	1,68	1,50	0,61	0,83

2-чи чәдвәлдәки рәгемләрдән көрүнүр ки, калиум мәһілуулунун чиләнмәсін ярпагларда фотосинтезин интенсивлијини хејли артыры. Манган вә мис мәһілләрдә чиләниш ярпагларда да фотосинтезин ән чох артмасы чиләнмәнин биринчи күнләринде мұшақидә олунур.

Аларынан таңрубәлә әсасән ашағыдақы нәтичәләрә кәлмәк олар

2. Фосфор, калий в кальциум фотосинтезин интенсивлијини јох-
дама биткүләринә нисбәтән хејли артырыр.

3. Магнезиум, мангант вә мис фотосинтезин интенсивлигини илк вахтлар артыrsa да сонрадан онларын тә'сири азалыр.

ЭДЭБИЙЯТ

1. Абуталыбов М. І., Элијев Д. А., Гасанов Р. А., Таирбеков. Учебные записки Азгос. ун-та. 1959, № 5. 2. Андреева Т. Ф. "Физиол. раст.", т. 6, вып. 6, 1948. 3. Баславскаја С. С., Михајлова Г. Д. и Шведскаја З. М. "Физиол. раст.", т. 6, вып. 2, 1949. 4. Воскресенскаја Н. П. ДАН, т. IX, № 2. 5. Островская Л. К. Физиологическая роль меди и основы применения медных удобрений, Киев, 1961. 6. Магинский К. П. Изд. МСХ СССР, 1957. 7. Михайлова Г. Д. Инст. почв. и земл., 1951. 8. Ничипорович А. А. В кн. "Фотосинтез и вопросы продуктивности растений", 1963. 9. Насиров Ю. С. и Егамбердиев А. Р. Физиол. раст. сельск. хозяйства. Душанбе, 1935. 10. Петинов Н. С. и ШанЛуи. "Физиол. раст.", т. IX, вып. 3, Изд. АН СССР, 1962; Н. Устенко Г. П. "ДАН СССР", т. 32, 1911, № 9. 12. Школьник М. І. Изд. АН СССР, 1963. 13. Bosscha M. C. C. C. R. 1956, 32, 1911. 14. Eyster S., Brown T. C. и Tanner H. A. Plant Physiol. 33, 78, 4120 (1956). 15. Ruben S. J. Amer. Chem. Soc. 65, 279 (1913).

Алынмыштыр 3, IV 1967

Ботаника Институт

Влияние минеральных элементов на интенсивность фотосинтеза у баклажана

РЕЗЮМЕ

В посевах баклажана сорта Длиннофиолетовый нами изучено влияние P, Mg, Ca, Mn, K, Cu на интенсивность фотосинтеза. Растения в фазе цветения опрыскивались 1%-ным раствором фосфата натрия, хлористого магния, калия, кальция и 0,1%-ным раствором сульфата марганца и меди. Через 2—35 дней после опрыскивания за время с 10 ч до 13 ч определялась интенсивность фотосинтеза весовым методом с учетом количества органического вещества, израсходованного для дыхания и оттекавшего из листьев. Проводился учет листьев, закончивших рост и являющихся в это время самыми физиологически активными.

Результаты опытов показывают, что количество органического вещества, синтезированного в течение 1 часа на 1 м² листовой поверхности, в основном составляет 1,2—2,5 г.

В проведенных опытах выявлено весьма положительное действие калия, кальция и особенно фосфора на интенсивность фотосинтеза. Подкармливание растений баклажана магнием, марганцем и медью в начале опыта повышало интенсивность фотосинтеза, а после продолжительного времени действие затухало.

А. И. ДЖАФАРОВ, К. П. АЛЕХИН, Е. Г. ЧЕРНЫШОВ

К МЕТОДИКЕ ОДНОВРЕМЕННОЙ РЕГИСТРАЦИИ
ТЕМПЕРАТУРНЫХ КОЛЕБАНИЙ СТРУКТУРЫ МОЗГА И ЭЭГ

(Представлено Академиком АН Азербайджанской ССР А. И. Караевым)

Как известно, электрическая активность является не единственным показателем деятельности мозга. Температурные изменения, сопровождающие деятельность больших полушарий, играют не последнюю роль в обменных процессах, протекающих в структурах мозга. В последнее время все большее внимание привлекает к себе возможность регистрации и исследования температурного режима больших полушарий (Feltelberg S., H. Lampe, 1935; Gerard R. W., N. M. Serota, 1936; Н. В. Семенов, 1952; Граменицкий, 1952; Д. И. Паролла, 1958; Б. Н. Клоссоевский, Е. Н. Космарская, 1961; В. А. Березовский, 1963; Ю. Н. Орестенко, 1965). Однако до сих пор нет достаточной ясности в представлениях о теплообразовании в тканях мозга. Это обстоятельство послужило причиной поисков метода, который способствовал бы лучшему пониманию роли температурных колебаний в процессе деятельности мозга.

Использование в качестве датчиков температуры медь-константантовых или иных термопар сопряжено само по себе со сложностью осуществления высокой точности регистрации и тем более с одновременной записью электрической активности. Наиболее приемлемым, по нашему мнению, является метод, предложенный Д. И. Пароллой в использовании микротермисторов МТ-54 конструкции В. П. Карманова (Д. И. Паролла, 1958). Этот метод и лег в основу наших регистраций электрической активности и температурного режима, отводимых от одной и той же области мозга.

Для вживления в мозг к термоэлектроду (термистор МТ-54) предварительно прикладывается никромовый биполярный электрод (диаметр проволоки 50 мкм) так, чтобы конец биполярного электрода оказался возле чувствительной головки термистора. Затем оба электрода покрываются слоем лака или другим материалом, обладающим диэлектрическими и нейтральными химическими свойствами.

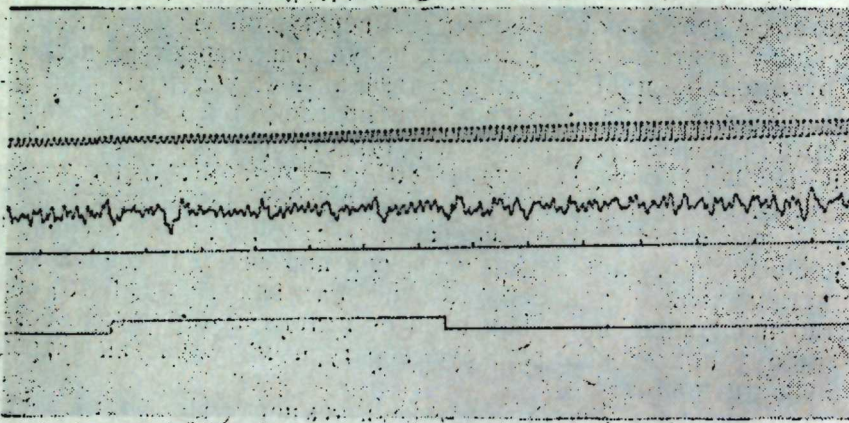
Электроды закрепляются в полистероловой пробке, которая вместе с электродами в наших экспериментах вживлялась на толщину кости черепа. В более тщательной изоляции термистора, на наш взгляд, нет необходимости, ибо побочные околостенные колебания темпера-

туры и температуры внешней среды, связанной с чувствительной головкой термоэлектрода через биполярный электрод, практически не имеют никакого влияния.

Операция по вживлению электродов не сложна и протекает нормально. Из восьми оперированных животных (кроликов) смертных случаев не было обнаружено и не наблюдалось никаких патологических функциональных отклонений, несмотря на относительную толщину вживляемых электродов в подкорковые структуры мозга (около 1 мм).

При вживлении электродов в крюковые структуры мозга в полистироловой пробке нет необходимости, а погружение электродов не связано с разрушением вышележащих образований, что значительно облегчает весь процесс вживления.

Для регистрации температуры нами была заимствована мостовая схема входа усилителя у Д. И. Пароллы, однако замер производился не на шлейфном осциллографе, а на энцефалографе. Это избавляет от кропотливой работы по проявлению светочувствительных пленок, не снижая при этом степень чувствительности всей измерительной системы. На выходе усилителя энцефалографа получаются импульсы, изменения уровня горизонтальной части которых указывает на изменения температуры отводимой области мозга. Параллельно ведется запись электрической активности этой же области (рисунок).



Изменения электрической активности и температурного режима в сенсорной области коры больших полушарий кролика при раздражении прямой кишки в условиях хронического эксперимента.

1—уровень изменения температуры; 2—электрическая активность; 3—отметка времени, 4—отметка раздражения.

Для определения абсолютной величины температурного изменения в период стимуляции рецепторов при заданной чувствительности всей измерительной системы в плечо моста преобразователя включается, последовательно с датчиком, сопротивление величиной в 1 ом. Зная технические данные термистора, при помощи калибровки можно определить величину отклонения температуры, которое произошло с момента стимуляции рецепторов. При необходимости можно увеличить число отводимых областей в зависимости от числа мостов на входы усилителей и числа каналов энцефалографа.

Опыты на кроликах проводились в экранированной камере, а регистрация электрической активности и температуры структуры мозга на восьмиканальном электроэнцефалографе марки „Кайзер“.

Первые же эксперименты выявили наличие колебаний температуры мозга как спонтанные явления, на которое накладываются „вызванные“ при стимуляции тех или иных рецепторов.

Предлагаемая методика позволит более полно судить об изменениях, протекающих в центральной нервной системе.

Сектор физиологии

Поступило 16. IX 1966

Э. И. Чәфәров, К. П. Алејохин, Ј. Г. Чернишов

Бејин төрәмәсиндә температурлар тәрәлдүүнүү,
вэ ЕЕГ-нин тә'јин едилмәси методикасы

ХУЛАСЭ

Микротермистор МТ-54 бејин нахијәсинә бәркидилмәздән әvvәл она әлавә олараг лак тәбәгәси илә биполјар никром электрод бәркидилир. ЕЕГ вэ температурлар тәрәлдүү ejni вахтда бејин төрәмәсинә бирләшдирилмиш көрпү гурулушлу күчләндирли илә әлагәләндирлилмиш электроенцефалографда гејд олунур (Д. И. Паролла, 1958).

Тәклиф олунмуш методика бејин төрәмәсиндә истилијин әмәлә кәлмәси вэ ЕЕГ арасындакы әлагәни даһа айдын изаһ етмәјэ имкан верәчэkdir.

МЕДИЦИНА

Н. А. МУТАЛИБОВ

АНГИОГРАФИЯ СОСУДОВ ЩИТОВИДНОЙ ЖЕЛЕЗЫ ЧЕРЕЗ
ВНУТРЕННЮЮ ГРУДНУЮ АРТЕРИЮ

(Представлено академиком АН Азербайджанской ССР М. А. Топчубашевым).

Для диагностики опухолей щитовидной железы выявление тени ее сосудов представляет большое значение. Однако до сих пор данный метод остается еще не разработанным.

Попытка некоторых зарубежных авторов, в частности Боббио и Беци (Bobbio A. und Bezzi, 1956—1957), Орган и Сзи (Orgal et Szy, 1962—1963), применявших для этой цели пункции общей сонной артерии и зондирование дуги аорты через сосуды конечности, не увенчались успехами.

Причиной трудности ангиографии щитовидной железы является сложность анатомического расположения ее сосудов. Хорошо известно, что щитовидная железа имеет 4 сосуда. Из них два являются верхними щитовидными артериями, которые берут свое начало непосредственно от наружной сонной артерии, и две нижние щитовидные артерии являются разветвлениями щито-шейного ствола.

Введением контрастного вещества в общую сонную артерию можно выявить тень верхней щитовидной артерии только с одной стороны, в то время как тени других артерий щитовидной железы при этом методе остаются невыявленными.

Способ катетеризации дуги аорты через сосуды конечности для ангиографии сосудов щитовидной железы является менее эффективным по той простой причине, что контрастное вещество, введенное в дугу аорты через зонд, благодаря большой скорости кровотока в ней уносится в сторону периферии. При этом небольшое количество контрастного вещества, которое попадает в общие сонные артерии, распространяется по сосудам головного мозга. Однако сосуды щитовидной железы контрастным веществом не заполняются.

Исходя из выше изложенного вытекает необходимость поиска такого метода ангиографии, при помощи которого будет возможным выявить тень всех 4 сосудов щитовидной железы.

Для этой цели самым подходящим является введение контрастной жидкости через правую внутреннюю грудную артерию. Известно, что внутренняя грудная артерия берет свое начало на противоположной стороне от щито-шейного ствола. Поэтому введенное контрастное

вещество через правую внутреннюю грудную артерию непосредственно поступает в нижнюю щитовидную артерию. Помимо этого, при накладывании жгута на верхнюю треть правого плеча введенное контрастное вещество поступает в общие сонные артерии. Если жгут накладывается одновременно на верхнюю треть левого плеча, что при этом выявляется также левая нижняя щитовидная артерия.

Таким образом, введением контрастного вещества через правую внутреннюю грудную артерию при наличии жгута на верхней трети обоих плеч удается обнаружить тень всех 4 сосудов щитовидной железы. (Движение контрастной жидкости в дуге аорты показано на рис. 1).

Техника ангиографии щитовидной железы через правую внутреннюю грудную артерию заключается в следующем: под 0,5%-ным новоканиновым обезболиванием с правой стороны, кожным разрезом на уровне II межреберья на 1,5 см дальше от грудинь обнажается внутренняя грудная артерия, передняя стенка которой вскрывается между двумя лигатурами. В артерию в оральном направлении вво-

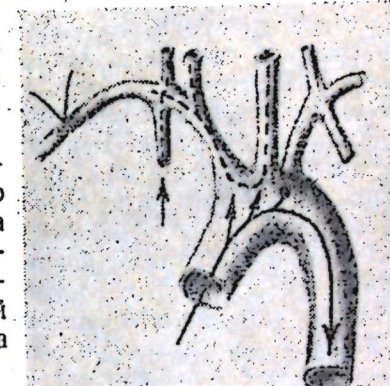


Рис. 1.



Рис. 2.

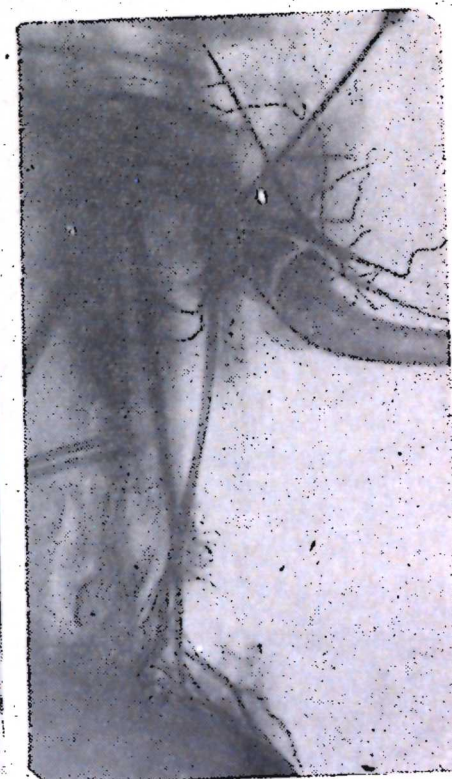


Рис. 3.

дится канюль диаметром 2 м.м. Через канюль при помощи 50-граммового шприца производится инъекция 0,5%-ного новокаина (20 мл), вслед за этим 70%-ный кардиотраст (30 мл). До введения контрастной жидкости на обе верхние конечности накладывается жгут. Рентгенограмма шеи производится в боковой проекции. После этого канюля из артерии удаляется, артерия лигируется, рана грудной клетки зашивается наглухо.

Ниже приводятся некоторые ангиограммы сосудов щитовидной железы, выявленные вышеописанным способом.

На рентгенограмме 2 выявлены верхние и нижние щитовидные артерии. Мимо этого, видна тень дуги аорты, сосудов шеи и головного мозга.

На рентгенограмме З видны верхняя и нижняя щитовидные артерии и тени крупных сосудов шеи.

В заключение следует отметить, что единственным способом, при помощи которого можно выявить тень сосудов щитовидной железы, является введение контрастной жидкости через правую внутреннюю грудную артерию. Однако подобной цели нельзя достигнуть путем введения контрастного вещества через левую внутреннюю грудную артерию в силу того, что при этом введенное контрастное вещество при наличии жгута на уровне верхней трети левого плеча поступает в нисходящую часть дуги аорты и уносится током крови в сторону периферии.

Азербайджанский медицинский институт

Н. А. Мұтәллибов

Галханвары бэзин артеријаларынын дахили көкс гэфэсийн артеријасы илэ апарылан анкиографијасы

ХҮЛАСЭ

Галханвары бәзин артеријаларынин рентгенде шәклиниң алымасынын бөјүк диагностик әһәмијәти вардыр. Лакин бу үсүл һәлә индијә гәдәр лазымы дәрәчәдә өјрәнилмәмишdir. Буну галханвары бәзин дамарларынын мүрәккәб анатомик гурулуша малик олмасы илә изәһ етмәк олар.

Тәклиф едилән үсүл илә галханвары бәзин дамарларының ренткен-дә шәклини алмаг үчүн контраст маддә (ренткен шүаларыны кечирмәјен маддә) дахили көкс гәфәси артеријасына вүрүлүп.

Даҳили көкс гәфәси артеријасы галханвары бәзин артеријасы илә гарыш-гарышыја дајандығы үчүн вұрулан контраст маддә билавасітә галханвары бәзин артеријасына дахил олур вә ренткендә онун шәкли айдан алышып.

ЗАКИР МӘММӘДОВ

СИРАЧЭДДИН ҮРМЭВИ

(Азәрбајҹан ССР ЕА ақадемики Ә. Ә. Әлизадә тәгдим етмишdir)

Сирачәддин Әбүсәна Мәһмүд бин Әбубәкр бин Әһмәд Үрмәви (Јаҳуд әл-Үрмәви) XIII әсрдә јашамыш исте'дадлы Азәрбајҹан фило-софларындан биридир. Зәнкин вә гијметли јарадычылыг ирсинә малик олан бу бәјүк мұтәффәккىриң һәјаты барәсиндә әдәбијатымызда, демәк олар ки, индијәдәк һеч бир мә'лumat верилмәшишdir.

Сирачәддин Үрмәви 1198 (594 һич.)-чи илдә Үрмијә шәһәриндә анадан олмушшур. О, Мосулда дөврүнүң эң көркәмли тәбиэтшүнас философларындан Кәмаләддин Муса бин Йунусун (1156—1242)¹ Яанында тәһисл алмышдыр.

Сирабчеддин сонралар Коня шәһәринә кедәрәк орада газиләр газиси (قاضي القضاة) кими мәшһүрлашыр. О, 1283 (682 һич.)²-чү илдә ёзғат етмиш вә Конянын Мүсәллә рајонунда дәфн олунмушшур.

вэфат ётмиш вэ Конъяның Мұссоліе ражында. Алимләр Сирачәддин Үрмәвийин ашағыдақы әсәрләриնин адыйы чәкирләр: „Мәтали'ул-Энвар“—مطالع الأنوار—нурларын дөгушлары), „Бәյән-ул-һағг“—بيان الحق—һағгын айынлашдырылмасы), „Рисалә фи әмсиләт әт-Тә’аруз фил-үсул“—رسالة في أمثلة التعارض في) (—аль-اصل—الأصول—гајда-ғануилар һағгында зиддијәтиң мисалларына даир трактат)³, „Мәнаһич“—مناهج—методлар), „Латаиф-ул-һикмәт“—لاتهيف الھكمه—(—аль-رسائىل)—ھикмәт инчәликләри), „Әр-Рәсаил фи елм әл-Чәдәл“—رسائل في علم العدل—диалектика даир трактатлар)⁴, „Тәһзіб ән-Нүкәт

¹ Кәмаләддин Муса бин Йунус Багдадын Низами¹ мәктәбини битириб. Мосулда Эмир² Зейнүлләх мәсчиди нәздиндәки мәдрәсәдә дәрс демештир. Соңラлар о философияның "Көмәләддин" алдаңырылышыбы.

шәрәфийә „Кәмалијә“ адәндирылышында.

Диалектика дедикдэ мүэллиф софистиканы, мүбәнисэ (الجدل) сәнэтини зарда тутур.

التحصيل) ـ تهذيب النكت (ناكمانة سؤلارин тә'лими), „Эт-Тәһисил“ ـ مختصر من محصل (Myħəssil), „Мұхтәсәр мин Мүхәссәл“ ـ مختصر من وجيزة (Bəciz) (Bəciz ин хұласәси) вә „Мұхтәсәр мин Вәчиز“ (Bəciz ин хұласәси). Бунларын ичәрисинде даға кениш мигјасда шеһірет тапан „Мәтали'-ул-Әнвар“ әсәридир. Онун мұхтәлиф илләрдә көчүрүл, мүш нұсхәләри дүйнән сир чох шәһірләриндә⁵, о чүмләдән Даշ-кәндә⁶ сахланылырып.

„Мәтали'-ул-Әнвар“ а онларла шәрһ җазылмышдыр⁷. Бунлардан ән башлычасы вә һәмишә философларын диггәт мәркәзинде дајанан Гүтб әд-Дин Мәһәммәд Разинин (1291—1365) „Ләвами'-ул-Әсрар“ (لوامع الأسرار) ـ сирләри ишигландырмалар) адлы әсәридир. Бу шәрһ „Мәтали'-ул-Әнвар“ла бирлікдә 1877 (1294 һич.)-чи илдә Тәбриздә вә 1886 (1303 һич.)-чы илдә Истамбулда чап едилмишdir.

Мәһәммәд Эли Тәрбијәт Сирачәддин Үрмәвинин жарадычылығындан бәһс едәркән „Мәтали'-ул-Әнвар“ла Жанаши, „Мәнаиич“ вә „Бәյан-ул-һаг“ әсәрләrinи даға йүксәк гијмәтләндирir. Бунунда бәрабәр о көстәрир ки, Үрмәви „Ләтаиф-ул-һикмәт“ мәгаләсини 1257 (655 һич.)-чи илдә фарсча Кејкавус бин Кејхосровун⁸ адына җазмышдыр. Онун бир нұсхәси Иранда һәэрәт Рза китабханасында мөвчуддур. „Әр-Рәсаил фи елм әл-Чәдәл“ вә „Тәһзиб ән-Нукәт“ трактатларының һәр икиси диалектикадан бәһс едир⁹.

„Эт-Тәһисил“ вә „Мұхтәсәр мин Мүхәссәл“ әсәrlәri исә Фәхрәддин Разинин (1149—1209), „Әл-мәһисул“ илә „Мүхәссәл фи үсул әл-Фигһ“ адлы мәнтиг китабларының хұласәсисин вә „Мұхтәсәр мин Вәчиز“¹⁰ әкәлдикдә о, Әбу Һәмид әл-Гәзалинин (1059—1111) „Вәчиз фиъл-Фүру“ трактатының ихтиарла ишләнмәсідір¹⁰.

Сирачәддин Үрмәвинин бүтүн әсәrlәrinde диггәti чәлб едән үмуми сәчиijә бундан ibarәtdir ки, онларын һамысы әсасен мәнтигә һәср олунмушdur. Jери кәлмишкәn геjd етмәk лазымдыr ки, бу азәри философу гәdim шәрг мүтәфәkkirләrinи sadәchә olaraq тәkrarla madan Aristoteli xәttini rәhiбәr тутараг өзүнәmexsus jaрадычылыg юлу keчmiшdir. һәmin чәhәt „Мәтали'-ул-Әнвар“ kitabыnda daғa бариз вә gabaryg шәkildә nәzәrә چарпыр. Ibn Сина (980—1037), Bәh-mәniјar (...—1067), Shihabeddin Сүhrәverdi (1155—1191), Nәsiрәdдин Tusi (1201—1274), Gүtб әд-Дин Shиrazi (1236—1311) kими filosoflar мәnтиg тә'rif верәrkәn onu „елм“, Jaxud „сәnәt“ adlaindyrylgylar haлda, Siraчәdдин Үрмәви Aristotelini tә'birinе Jaxыnilashaраг мәnтиgi. „ганун“ ـ аләt¹¹ heсab еdир. O Jazyr:

فاتیح الی قانون یفید معرفة طرق الانتقال من المعلومات الى

⁵ Бах: C. Brockelmann. Geschichte der Arabischen Literatur, Leiden, 1937, cəh. 848—849.

⁶ Бах: Әзәрбайжан Шәргшүйаслыг Институтуның әлжазмалары фонду, инв. № 547, 1899, 2441, 3057, 4680, 4884, 5075, 7400.

⁷ C. Brockelmann. GAL, cəh. 848—849 вә — قاموس المنجد، بيروت

٥٠١، ص ١٩٧٠

⁸ XIII әсрдә Kичик Асија сөлчугларының башчыларындан Кејхосровун оғлу.

⁹ محمد على تربیب، دانشمندان، طهران—1935، ص ۱۷۵،

حاجی خلیفه، کشف الظنون، جلد ۱ ص ۸۱، ج ۲ ص ۳۹۳

و ٦٢٩

المحولات و شرائطها بحيث لا يعرض البطل في الفكر إلا نادراً و هو المتطلق

(Мә'лүм шејләрдән мәчһүллара кечмәк јолларын вә онларын шәртләrinни өјрәdәn bir гануна ehtiјac dujulur. Belә oлдугда fikirde jaлныз nadir hallarda сәhв bаш verә bilәr. Bu, mәnтиgdir.)¹²

Сирачәддин Үрмәвинин әrәb diliндә Jaзmysh bә'zi alimlәrdәn фәргләndirәn bir хүсусijәt dә ондан ibarәtdir ки, o, jygчam vә dol-fun ifadә tәrzinә malik olub өз fikirләrinи daғa ajdn vә daғa tez anlaşyylan formada сejlәjә bilmiшdir. Bu mәzijjәt „anlajышlar“, „hәkmләr“ vә habelә „sillokizmlәr“ bәhсinidә өз parlaglyры ilә dig-gәti chәlb eDIR. Үrмәvi тәrkiбинdeki мүгәddimәlәrә ujfуn olaraq sillokizmi gәti (sharṭi) sajylan иki grupa aýryryr: و ينقسم القياس بحسب ما يتراكب عنه إلى حملٍ و هو المركب من الحملين الساذجه و إلى شرطٍ و هو المركب من الشرطيات الساذجه.

(Силлокизм тәrkiбchә sadә gәti hәkmләrdәn ibarәt oлdugda gәti sadә шәrti hәkmләrdәn ibarәt oлdugda исә шәrti sillokizmә bәlү-nүр.)¹³

Сонра filosof gәti sillokizmin tәrkibinи aراшдырыr: و لا بد في القياس الحملي من المقد متين تشتت كان في حد يسمى الأوسط لتوسيطه بين طرف المطلوب و تفرد أحدهما بحد يسمى الأصغر و هو موضوع المطلوب و تسمى لذلك بالصغرى و الثانية بحد يسمى الأكبر و هو محمول المطلوب و لذلك تسمى بالكبيرى

(Гәti sillokizmdә orta dejlәn терminlә mүштәrәk иki mүgәddimәnin олmasы labudur. Bu orta терmin verilmis иki tәrәf aراسыnda vasitәchiliк eDIR. Mүgәddimәlәrдәn biri субъект olan кичик терminlә хүсусiләshdiñinе kera kichik, dikәri исә predikat olan бөjүк терminе kera bөjүk mүgәddimә adlanыr)¹⁴.

Maddi аләmin тәdgig vә idrakyna baxыш nәgteji-nәzәrinde Үrмәvinin tә'rif haggynadaky фикрини dә buрадa xatyrлатmag марагlydyr: معرف الشى لوجوب تقديم معرفته عليه و هو غيره و غير معرف به و مساوله في العموم و اجل منه.

(Шеjин tә'rifи onun dәrk оlummasыndan irәli kәliр. Tә'rif dәvr etmәmәlidir, bашга ailajышlarla verilmәlidir, hәczi e'tibarilә mүtәnasib vә tә'rif verilәndәn ajdn olmalыdyr.)¹⁵

Bir сөзлә, Siraчәdдин Үrмәvi мәnтиgi anlajышlarын, ганун vә mәkatogorijalaryn изaһыны verәrkәn onlara әsas e'tibarilә elmi mәkatogorijalaryn изaһыны, өз fikirләrinи inanдырычы surәtde dәrin muhәmmәlәrlә ifadә etmis vә субутa Jetirmejә chalышmyshdyr.

Bu kәrkәmli Azәrbaijan aliminin jaрадычылығының aراшдырыlyb iшигландырыlmасы orga эsр фәлсәfi ирсимизин өjәniilmәsi ишинde шүbһәsiz bөjүk hәmijetә malikdir.

Alымнышдыр 27. III 66

Fәлсәfә сектору

¹¹ Siraчәdдин Үrмәvi. Mәtali'-ul-Әnvar (нашиjәe), Истамбул, 1303 (hich-ri), cəh. 15.

¹² Jenә orada, cəh. 254.

¹³ Jenә orada.

¹⁴ Jenә orada, cəh. 93.

Сираджеддин Урмави

РЕЗЮМЕ

Сираджеддин Абусена Махмуд бин Абубекр бин Ахмёд Урмави — один из талантливых азербайджанских философов XIII в.

Сираджеддин родился в 1198 г. (504 г. х.) в г. Урми, получил образование у ученого-естественника Камаледдина Муса бин Юнуса (1156—1242) в Мосуле. Затем он переехал в г. Конья, где скончался в 1283 г. (682 г. х.).

Данная статья знакомит читателей с произведениями Урмави по логике.

МУНДЭРИЧАТ

Ријазијјат

- В. А. Колушев. Гаус өлчүлүк-өлчүлүк фәзада векторлар анализи вә онун
соназуэлчүлүк үмумиләшмәсі 3

Физика

- Ж. Н. Насиров, А. Э. Зеиналов, В. Э. Нағыјев. GeTe—Cu(As, Sb,
Bi)Te₂ бәрк мәһлүлларының термоелектрик хассасләриниң тәдгиги 7
Н. Б. Абдуллаев, К. П. Маммадов, А. И. Одобеску, З. Д. Нуриев. Електростатик саңынин аморф селенин кристаллашмасына тәсирі 10

Физики кимја

- Р. Н. Исмаилов, Шамхал Маммадов, Д. Н. Хыдыров, А. Н. Кеворкян, В. М. Кутов. Алкил-γ-хлор-γ-(п-тиофенил) пропилен еифирләриниң синтези 14

Аналитик кимја

- И. Л. Бағбайлы, Б. З. Рајев. Палладиумун Рейнеке дузу илә амперометрик методда тә'жини 19

Гејри-үзви кимја

- Н. А. Ејубова, Л. Г. Берг, П. Ф. Розадә. Боратларда термик парчалама 23

- Г. А. Бабалай, В. П. Митрофанов, А. А. Саркисов. Башгырыстын нефт раюнларының карбонатлы сүхурларының сәттіндән нефт тәбәгесинин јујулмасы нағында илк мәлumatлар 29

Стратиграфия

- Б. К. Вәкилов, Р. А. Һачыјев. Хәзәр дәннинин гәрб саһилинин антропокен терраслары нағында 33

Нефт қеолокијасы

- Б. К. Вәкилов, Д. М. Даилевскаја. Ашагы Құрјаны нефтли-газлы вилајетинин антропокен дәврүндә қеоложи инкишаф тарихинә даир 37

- З. Зеинарова. Биңәгоди нефт жатагы мәңсулдар гатының кирмәкиалты, Кирмәки вә Кирмәкиусту лај дәстәләринде нефтин әмәлә қәлмәси механизми нағында 42

Кеокимја

- Ф. И. Далашов, Э. М. Маммадов. Гарадағ жатагының карбоидрокен газларының қеокимјәви хүсусијәттә 47

Кеолокија

Э. Т. Бајрамәлибәјли. Азәрбајчанда кизли ендекен јатагларының тәс-	52
нифаты нағында	

Агрокимја

Ч. И. Зүлфүгәрлы, Ч. М. Һүсейнов, А. М. Абдуллаев. Никел, манганин вә мис, нафтенатларының биологиялық активилийин тәдгиги	57
---	----

Биткиләрин систематикасы

Ә. Х. Хәлилов. Азәрбајчанда тапылмыш жени чәмәнжончасы нөвү (Trifolium torosissimum Schlecht.) барада	60
--	----

Биткиләрин физиолокијасы

М. Н. Абуталыбов, С. Э. Рәхманова, Ч. Э. Элиев. Минерал элементләrin бадымчан биткисинде фотосинтезин интенсивлийин тә'сири	63
---	----

Физиолокија

Ә. И. Чәфәров, К. П. Алејохин, І. Г. Черишов. Бејин төрәмәсин- дә температурлар тәрэддүдүнүн вә ЕЕГ-нин тә'јин өдилмәси методикасы	67
---	----

Тибб

Н. А. Мүтәллибов. Галханвары бәзин артеријаларының дахили көкс гәфеси артеријасы илә апарылан ангиографијасы	70
---	----

Фәлсәфә

Закир Мәммәдов. Сирачәддин Үрмәви	73
-----------------------------------	----

СОДЕРЖАНИЕ

Математика

В. А. Колушева. Векторный анализ в n -мерном пространстве с гаус- совской мерой и его бесконечномерное обобщение	3
---	---

Физика

Я. Н. Насиров, А. А. Зейналов, В. А. Нагиев. Исследование тер- моэлектрических свойств некоторых твердых растворов	7
---	---

Г. Б. Абдуллаев, К. П. Мамедов, А. С. Одабеску, З. Д. Нуриева. О влиянии электростатического поля на кристаллизацию аморфного селена	10
---	----

Физическая химия

Р. Г. Исмайлов, Шамхал Мамедов, Д. Н. Хыдыров, А. Н. Ге- воркян, В. М. Кутов. Синтез алкил-, γ -хлор- γ (<i>p</i> -этилфенил) пропиловых эфиров	14
--	----

Аналитическая химия

И. Л. Багбайлы, Б. З. Раев. Амперометрическое титрование палладия солью Рейнеке	19
--	----

Неорганическая химия

Н. А. Эюбова, Л. Г. Берг, П. Ф. Рязаде. Термическое разложение боратов	23
---	----

Физика пласта

Г. А. Бабаев, В. П. Митрофанов, А. А. Саркисов. Отмы- вание нефти с поверхности карбонатных пород нефтяных районов Башкирии	29
--	----

Стратиграфия

Б. Г. Векилов, Р. А. Гаджиев. Об антропогенных террасах западного побережья Каспийского моря	33
---	----

Геология нефти

Б. Г. Векилов, Д. М. Данилевская. К истории развития Нижне- куринской нефтегазоносной области в антропогене	37
--	----

З. Г. Зейналова. О механизме формирования залежей нефти в подкир- макинской, кирмакинской и надкирмакинской песчаной свитах продуктивной толщи Бинагадинского месторождения	42
---	----

Геохимия

Ф. Г. Дадашев, М. А. Мамедов. Геохимическая характеристика углеводородных газов месторождений Карадаг	47
--	----

Геология

- Э. Т. Байрамалибейли. К классификации скрытых эндогенных рудных месторождений Азербайджана 52

Агрономия

- Д. И. Зульфугарлы, Д. М. Гусейнов, А. М. Абдуллаев
Изучение биологической активности нафтенатов никеля, марганца и меди 57

Систематика растений

- Э. Х. Халилов. О новом виде клевера (*Trifolium topczibaschovii* Chal.
Sp. nova) из Азербайджана 60

Физиология растений

- М. Г. Абуталыбов, С. А. Рахманова, Д. А. Алиева. Влияние минеральных элементов на интенсивность фотосинтеза у баклажана 63

Физиология

- А. М. Джадаров, К. П. Алексин, Е. Г. Чернышов. К методике одновременной регистрации температурных колебаний структуры мозга и ЭЭГ 67

Медицина

- Н. А. Муталибов. Ангиография сосудов щитовидной железы через внутреннюю грудную артерию 70

Философия

- З. Дж. Мамедов. Сираджеддин Урмави 73

Сдано в набор 1/IX 1967 г. Подписано к печати 19/XII 1967 г. Формат бумаги 70×108¹⁶.
Бум. лист. 2,50. Печ. лист. 6,85. Уч.-изд. лист. 6,24. ФГ 21087. Заказ 786. Тираж 830.
Цена 40 коп.

Типография «Наука» Комитета по печати при Совете Министров Азербайджанской ССР.
Баку, Рабочий проспект, 96.